



Norsk institutt for luftforskning
Norwegian Institute for Air Research

Grenseområdene Norge-Russland

Luft- og nedbørkvalitet, vedlegg til årsrapport
2018



Innhold

1 Innledning	3
2 Utslipp, målinger og grenseverdier.....	4
2.1 Utslipp	4
2.2 Måleprogram i 2018.....	6
2.2.1 Andre stasjoner og måleprogrammer i grenseområdene.....	11
3 Måleresultater meteorologi 2018.....	14
3.1 Vindmålinger	16
3.2 Temperatur.....	17
3.3 Nedbørsmålinger	17
4 Måleresultater svoveldioksid (SO₂) og uorganiske komponenter	23
4.1 SO ₂ kalenderåret 2018	23
Viksjøfjell	33
Konsentrasjonsvindrosor.....	35
4.2 Trender av SO ₂ 1974 – 2018.....	35
4.2.1 Timemiddelverdier - grenseverdi 350 µg/m ³	38
4.2.2 Døgnmiddelverdier – grenseverdi 125 µg/m ³	41
4.2.3 Døgnmiddelverdier - øvre og nedre vurderingstreshold	41
4.2.4 Sesongmidler sommer	42
4.2.5 Årsmiddelverdi	43
4.3 Uorganiske komponenter i nedbør	44
5 Måleresultater tungmetaller i svevestøv og nedbør	48
5.1 Tungmetaller i svevestøv.....	48
5.2 Tungmetaller i nedbør - konsentrasjon.....	58
5.3 Tungmetaller i nedbør - våtavsetning	60
6 Referanser og relevant stoff om forurensning i grenseområdene Norge - Russland	64
6.1 Internettsider	64
6.2 Litteratur.....	66
6.3 Eldre NILU-rapporter fra prosjektet	72

1 Innledning

Tidligere rapporter fra dette måleprosjektet har vært meget detaljerte med mye resultater og data. Fra og med årsrapporten for kalenderåret 2017 ble dette endret. Nå lages det en hovedrapport og et vedlegg. Hovedrapporten er kortfattet (35-40 sider) med de viktigste resultatene, mens mer detaljerte data er gjengitt i dette vedlegget. Tanken er at de fleste leser den korte hovedrapporten, mens de som er interesserte i detaljer og mer data lett kan finne dette i vedlegget. Slik sett håper vi å gjøre resultatene fra prosjektet lettere tilgjengelige for alle uansett bakgrunn og interesse. Kapittelinndeling i vedlegget følger i store trekk inndelingen i hovedrapporten.

NILU har gjort målinger i grenseområdene mot Russland siden 1974. Første rapport dekket tidsrommet 1974-1977 (Hagen, 1977). Fra 1980-tallet ble det utgitt to rapporter i året, en for sommer- (april – september) og en for vintersesongen (oktober – mars, se referanseliste i kap. 6). Siden ble to halvårsrapporter slått sammen og det ble utgitt en årsrapport for april – mars påfølgende år (første dekket perioden april 1997-mars 1998). Fra 2016 ble rapportert for kalenderår (januar – desember). Dette ble gjort fordi grenseverdier og målsettingsverdier gjelder for kalenderår (eneste unntak er SO₂ halvårsmiddel for vinter) og det er da naturlig at rapporteringen følger samme intervall.

Alle data og måleresultater fra prosjektet legges åpent tilgjengelig for alle på <http://ebas.nilu.no> [besøkt 1. juni 2019].

2 Utslipp, målinger og grenseverdier

2.1 Utslipp

Utslippene fra briketteringsanlegget i Zapoljarnij og smelteverket i Nikel utgjør til sammen i underkant av 100 000 tonn SO₂ pr år. Anlegget i Zapoljarnij er modernisert de senere årene og siste produksjonslinje ble satt i drift i desember 2015. Dette medførte to viktige endringer; det lages nå nevestore briketter, ikke pellets som tidligere og malmen tørkes, ikke røstes¹. Denne ombyggingen medførte at utslippene fra Zapoljarnij ble redusert betraktelig, men det ble også forventet at utslippene ville øke i Nikel på kort sikt. I dag slippes mesteparten av SO₂ ut i Nikel. Nikel ligger nærmere Norge enn Zapoljarnij og skorsteinene i Nikel sees godt fra Svanvik i Pasvikdalen.



Figur 1: Røyken fra smelteverket i Nikel sett fra torget foran rådhuset 18. april 2015. Bildene er tatt med kun få minutters mellomrom. Den gule bygningen er rådhuset i Nikel. Bildene viser hvordan utslippene kan skifte raskt, både med tanke på mengde og farge (gul røyk på venstre bilde og svart røyk på høyre). Merk dog at røyken her kommer fra to ulike skorsteiner. Foto: Benjamin Flatlandsmo Berglen.

Figur 1 og Figur 2 er gode eksempler på utslipp fra smelteverket i Nikel slik de sees lokalt. SO₂ er en usynlig gass og synes derfor ikke på bildene. Røyken som sees er hovedsakelig vanndamp og partikler. Fargen på røyken kan variere fra tilnærmet hvit, gulaktig, ulike sjatteringer i grått og over mot svart (se spesielt bilde av røyken fra Nikel i Figur 1). Årsaken til variasjonen er ukjent. En stor andel av utslippene er såkalte diffuse utslipp som slippes ut direkte fra selve smeltehallen og bygningene, ikke fra skorsteinene. Dette er røyk og avgasser som slippes ut nær bakken og som forblir i bakkenivå ved stabile forhold. Diffuse utslipp bidrar til høye bakkekonsentrasjoner i smelteverkets nærområde, og utslippene driver innover Nikel by ved vind fra nordlig kant (byen ligger like sørvest for verket). På mange måter fungerer ikke skorsteinene etter hensikten. Formålet med en skorstein er å slippe ut forurensningen høyt opp slik at utslippet fortynnes og konsentrasjonen er lavere når røykfanen når bakken. Ved utslipp i bakkenivå blir konsentrasjonen meget høy nær utslipspunktet. Andelen

¹ Røsting er den prosessen som utføres når malm varmes opp over lang tid for å fjerne forurensning/uønskede komponenter fra malmen.

diffuse utslipp virker å ha økt de senere årene. I smeltehallen er det hull i taket og store åpninger i gavlveggene slik at røyk unnslipper direkte ut i friluft.



Figur 2: Røyken fra smelteverket i Nikel sett fra isen på Pasvikelva ved Utnes. Bildene er tatt 18. april 2016 om kvelden. Øverst vises nærbilde av utslippene, mens nederste bilde viser hvordan den svarte røyken stiger opp til et visst nivå og bringes så horisontalt sørover. Røykfanen kunne sees som en svart stripe på himmelen flere mil av gårde. Legg også merke til de diffuse utslippene, samt røyken fra skorsteinen til varmekraftverket i Nikel (til høyre nedenfor verket).

Foto: Benjamin Flatlandsmo Berglen.

Vedrørende utslipp av tungmetaller er det installert rensetiltak i skorsteinene (filtre), slik at skorsteinsutslipp inneholder en forholdsvis stor andel av utslippene kommer direkte fra bygningene. Da får utslippene intet løft og det er liten fortynning. Resultatet er høye målte bakkekonsentrasjoner i nærområdet (jfr Murmansk UGMS sitt måleprogram).

Figur 2 er en god illustrasjon av utslippene og forurensningen i Nikel. Her driver utslippene sørover inn over Nikel by. En forholdsvis stor andel av utslippene kommer direkte fra bygningene. Da får utslippene intet løft og det er liten fortynning. Resultatet er høye målte bakkekonsentrasjoner i nærområdet (jfr Murmansk UGMS sitt måleprogram).

Mengden utslipp/røykgass fra smelteverket i Nikel er sterkt varierende på kort tidsskala. Med kun minutters mellomrom kan det variere fra tilnærmet intet utslipp til så å velte røyk ut av skorsteinene/bygningene. Dette skyldes produksjonsmønsteret. Eksempelvis er det plutselig økte utslipp når smelteglene tømmes i smeltehallen.

Ellers ga norske myndigheter i 1991 tilslagn om støtte på 300 millioner kroner til modernisering og innføring av rensetiltak i Nikel. NorNickel-konsernet meldte i desember 2009 at tiltakene ikke blir gjennomført og støtten ble derved trukket tilbake (se eks. Hønneland og Rowe, 2008 eller Rowe, 2013 for bakgrunnshistorikk).

Utslippene fra smelteverkene bidrar til forhøyede konsentrasjoner av svoveldioksid og tungmetaller i Pechenga og Sør-Varanger og luftforurensningen i grenseområdene mellom Russland og Norge er betydelig. Smelteverket i byen Nikel ligger 7 km fra den norske grensen. Når vinden kommer fra øst vil røyken fra smelteverket komme inn over Pasvikdalen og gi høye, kortvarige konsentrasjoner, såkalte "episoder". Ved vind fra sør vil utslippene fra Nikel bringes inn over Karpdalen og Jarfjordfjellet. Dette er

særlig fremtredende om vinteren da hyppigst forekommende vindretning er fra sør. Utslipp fra Zapoljarnij blåser inn over Jarfjordområdet ved østlig og sørlig vind.

Fra 2004 og framover har man observert en økning i konsentrasjonene og avsetning av tungmetaller i nedbør (se Tabell 20, Tabell 21, samt Figur 12). Denne økningen ble også observert i andre, uavhengige måleprogrammer i grenseområdene (eks. Garmo og Skancke, 2018).

Utslippene fra smelteverket i Nikel kommer som tidligere nevnt både fra skorsteinene og fra selve bygningene (diffuse utslipp). Om vinteren er det dårlige spredningsforhold, dvs. svak vind og inversjon. Inversjon er et værfenomen der temperaturen øker opp til et visst høydenivå hvorpå temperaturen igjen avtar med høyden. Dette skyldes igjen avkjøling fra bakken og opptrer typisk om vinteren og om natten. Temperaturmaksimumet virker som et lokk og hindrer vertikal spredning ifra bakken. Utslipp under dette nivået (diffuse utslipp fra bygningene) vil ikke slippe igjennom lokket. Dette sees ved at utslippet fra bygningene ved smelteverket driver langs bakken med meget langsom vertikal fortynning opp til et visst nivå. Utslippet fra skorsteinene er ofte over dette lokket og blandes raskt i den frie atmosfære, dog ikke nedover. Inversjon opptrer som nevnt ofte om vinteren. Da er hyppigst forekommende vindretning fra sør (se vindrosa i Hovedrapporten), og utslippene driver da (heldigvis) nordover og vekk fra selve Nikel by.

Om sommeren og på dagtid er lufta mer ustabil pga. oppvarming fra sola. Da er det relativt god vertikal blanding, og utslippene fra bygningene blandes oppover og utslipp fra skorsteinene blandes nedover. Imidlertid ligger Nikel by såpass nær smelteverket at utslippene fra bygningene uansett vil drive langs bakken innover byen ved vind fra nord, avstanden/tiden er for kort slik at utslippene ikke rekker å blandes mye vertikalt. Figur 2 viser spredning fra smelteverket. Røykfanene fra bygningene og skorsteinene er adskilt nær smelteverket, men så blandes de og former en gråhvitt fane som driver inn over Nikel by.

2.2 Måleprogram i 2018

I 2018 ble det foretatt målinger og prøvetaking ved i alt fire norske stasjoner i grenseområdene Norge-Russland (kart som viser plasseringen av stasjonene er vist i Figur 1);

- Svanvik: SO₂ kontinuerlig (monitor), tungmetaller² i luft og nedbør, meteorologi
- Karpalen: SO₂ kontinuerlig (monitor), tungmetaller i luft og nedbør, meteorologi

² Pb: bly, Cd: kadmium, Zn: sink, Ni: nikkel, As: arsen (strengt tatt et halvmetall/metalloid), Cu: kobber, Co: kobolt, Cr: krom, V: vanadium, Al: aluminium. Alle 10 målt i luft/svevestøv (PM₁₀).

² Vindhastighet, vindretning, temperatur og relativ fuktighet, lufttrykk, samt nedbørsindikator.

² Nedbørsmengde, ledningsevne, pH og de uorganiske komponentene SO₄²⁻, NH₄⁺, NO₃⁻, Na⁺, Mg²⁺, Cl⁻, Ca²⁺, K⁺ (gitt som ioner).

- Karpbukt: uorganiske komponenter i nedbør
- Viksjøfjell: SO₂ langtidsmidler (gjennomsnitt over 14 dager)



Figur 3: Norske målestasjoner for luftkvalitet, nedbørkvalitet og meteorologiske forhold i grenseområdene mellom Norge og Russland i kalenderåret 2018. Data fra de norske stasjonene rapporteres og analyseres i denne studien.

Målestasjon Svanvik

NILU har målt luftkvaliteten på Svanvik siden 1974. Opprinnelig lå stasjonen i utkanten av jordet på daværende Statens forsøksgård. I forbindelse med at Svanhovd Miljøsenter ble bygget i 1991-93 (åpnet juni 1993) ble stasjonen flyttet om lag 100 m bort på jordet der den ligger i dag. Flyttingen ble gjort 18.-23. august 1991. I september 2012 ble det installert ny målebod ved siden av den gamle og målepunktet ble da flyttet ca fire meter mot øst. Nåværende målestasjon er vist i Figur 4. Svanvik er en viktig målestasjon, ikke bare for dette måleprogrammet, men også for Strålevernet, NIBIO/LMT, NVE³ m.fl. Dette gjenspeiles av alle de ulike instrumentene som er

³ Strålevernet, nå DSA, Direktoratet for Strålevern og Atomsikkerhet. LMT: Landbruksmeteorologisk tjeneste (NIBIO AgroMetBase). NVE: Norges Vassdrags- og Energidirektorat.

utplassert. Svanvik ligger 8 km vest for Nikel og skorsteinene ved smelteverket og røyken kan sees fra Svanvik.



Figur 4: NILUs målestasjon på Svanvik. Den ligger ute på jordet ved Svanhovd miljøsenter (NIBIO). Merk inntak for støvmålinger på taket til venstre og inntak for SO₂-målinger på taket til høyre (svanehals). Masten har meteorologiinstrumenter i 10 m høyde. To nedbørprøvetakere til høyre tar prøver for tungmetaller og uorganiske komponenter. Instrumentet helt til høyre tilhører NVE. Stativet med metallplater i bakgrunnen er en del av et europeisk korrosjonsprosjekt (Grøntoft og Ferm, 2014). Strålevernets instrumenter er skjult bak måleboden.

Målestasjon Karpdalen

Det har vært to stasjoner i Karpdalen. Opprinnelig var det en stasjon på gården Nyjord fra 1986-1988 som målte døgnprøver av SO₂. Så ble stasjonen flyttet i oktober 1988 samtidig som det ble installert monitor som ga timemiddelverdier (se omfanget av basisundersøkelsen 1988-1991 i Tabell 7). Monitoren var i drift til 1991, men det ble gjort døgnprøver til 1994. Så var stasjonen ute av drift i 14 år før den ble gjenåpnet 16. oktober 2008. Motivasjonen for å reetablere målingene i Karpdalen var å få en bedre oversikt over eksponeringen på befolkningen også nord for smelteverkene. Som nevnt er hyppigst forekommende vindretning fra sør vinterstid og utsippene bringes nordover mot Jarfjordfjellet og Karpdalen. Målingene gjort under basisundersøkelsen 1988-1991 viste at Viksjøfjell hadde de høyeste konsentrasjonene i vintermånedene (Sivertsen m.fl., 1991). Men på Jarfjordfjellet bor det ingen mennesker og det er noen utfordringer knyttet til infrastruktur (værhardt og uten vei store deler av året). Karpdalen ble derfor vurdert som best egnet for å tallfeste eksponering på befolkning. Stasjonen er vist i Figur 5.



Figur 5: Målestasjonen i Karpdalen sett fra sør-øst. Stasjonen er plassert ute på et myrete jorde, samme sted som i 1988-94. Det er ikke høytvoksende vegetasjon rundt stasjonen. Like vest for stasjonen er det en liten kolle. Måleboden har trakt og svanehals på taket til venstre som er inntak for SO₂, mast til høyre er til meteorologi-instrumenter. Legg også merke til barduneringen, det er værhardt i Karpdalen om vinteren. Til venstre for måleboden står prøvetaker for tungmetaller i luft. Den hvite nedbørsamleren for tungmetaller i nedbør er plassert midt mellom måleboden og veien. Merk også nærhet til vei og strøm, infrastruktur er viktig kriterium for valg av plassering av målestasjon.

Instrumentering på Svanvik og i Karpdalen

På Svanvik og i Karpdalen måles SO₂ med kontinuerlig registrerende instrumenter. Data fra stasjonene overføres trådløst til NILU med GSM eller GPRS senest 2 timer etter at målingene er utført. Etter en enkel automatisk kvalitetskontroll for å luke ut åpenbare feil legges dataene ut på internett tilgjengelig for publikum (www.luftkvalitet.info). Disse dataene er ikke endelig kvalitetskontrollerte. Ved hvert månedsskifte gjennomgår dataene en grundig kvalitetssjekk (SO₂ og meteorologi) og de skaleres for å kompensere for drift i instrumentet (SO₂). Deretter legges de over i NILUs databaser. SO₂-instrumentene på Svanvik og i Karpdalen kalibreres av lokal stasjonsholder omlag en gang pr. uke. Alle instrumenter gjennomgår kvartalsvis ettersyn av ingeniør fra NILU.

På Svanvik og i Karpdalen tas det også filterprøver av tungmetaller i luft/svevestøv (PM₁₀) for de ti metallene Pb, Cd, Zn, Ni, As, Cu, Co, Cr, V og Al⁴ (dog er As strengt tatt et halvmetall/metalloid). Tungmetaller vil aldri opptre i gassform ved normal trykk og temperatur. Tungmetaller som måles her er festet til partikler/svevestøv. Uttrykkene "tungmetaller i luft" og "tungmetaller i svevestøv" beskriver samme fenomen og brukes ofte om hverandre. Filtrene skiftes av lokale stasjonsholdere og sendes NILU for analyse. Siden grenseverdiene for tungmetaller i luft er satt for årsmiddel i PM₁₀, er det

⁴ Pb: bly, Cd: kadmium, Zn: sink, Ni: nikkel, As: arsen, Cu: kobber, Co: kobolt, Cr: krom, V: vanadium, Al: aluminium.

mest relevant og anvendelig å ta ukeprøver som i sum utgjør kontinuerlige målinger. Denne metoden gir middelkonsentrasjon, men ikke maksimumskonsentrasjon/maksimal belastning.

Både på Svanvik og i Karpdalen måles vindhastighet, vindretning, temperatur og relativ fuktighet, lufttrykk, samt om det har regnet (nedbørsindikator) ved hjelp av Vaisala WTX-520. Instrumentene på Svanvik er plassert i 10 m høyde over bakken for å få målinger som er upåvirket av bygninger (målebua) og eksempelvis trær (se Figur 4). I Karpdalen er instrumentet plassert 4 m over bakken (se Figur 5).

Viksjøfjell

På Viksjøfjell måles SO₂ med passive prøvetakere. Dette er små «brikker» som eksponeres og som så sendes til NILU for analyse. Prøvetakerne eksponeres i 14 dager av gangen og analysen gir gjennomsnittlig konsentrasjon for denne perioden.

Karibukt

I Karibukt, på Svanvik og i Karpdalen tas det ukesprøver av nedbør. Prøvene fra Karibukt analyseres med hensyn på nedbørmengde, ledningsevne, pH og de uorganiske komponentene SO₄²⁻, NH₄⁺, NO₃⁻, Na⁺, Mg²⁺, Cl⁻, Ca²⁺, K⁺ (gitt som ioner), mens prøvene fra Svanvik og Karpdalen analyseres med hensyn på de samme 10 komponentene som i luft (Pb, Cd, Zn, Ni, As, Cu, Co, Cr, V og Al), samt nedbørmengde.



Figur 6: Stasjonen i Karibukt, nedbørsamleren som brukes om sommeren (venstre) og snøsamleren som brukes om vinteren. Plasttrakt fanger sommernedbøren som samles i en plastflaske. Om vinteren samles snø i prøvetaker som så må smeltes og fylles på flasker før forsendelse. Legg også merke til ringen øverst. Den er plassert slik for at fugler skal sette seg på ringen framfor kanten av samleren. Dette for å unngå fugleskit i prøven. Høyre foto: Leif Magnus Eriksen.

Data fra dette prosjektet publiseres også i NILUs oversiktsrapporter som presenterer resultater fra overvåkingen av luft- og nedbørkjemi i Norge i 2018 (Bohlin-Nizzetto m.fl., 2019, Aas m.fl., 2019).

EU-direktivet 2008/50/EC krever måledata minst 90% av tiden hvert år for de stasjonene som skal innrapportere SO₂ måledata til EU. Dette kravet er oppfylt på de norske stasjonene (Svanvik og Karpdalens).

2.2.1 Andre stasjoner og måleprogrammer i grenseområdene

Landbruksmeteorologisk datatjeneste (NIBIO) har også to værstasjoner på Svanvik som måler vind og temperatur i 2 og 10 m høyde. Meteorologisk institutt har værstasjon ved Kirkenes lufthavn (Høybuktmoen) som måler vindretning, vindhastighet, temperatur, nedbør og luftfuktighet. I oktober 2012 ble det også opprettet en målestasjon ved Nyrud som måler nedbør, temperatur og snødybde (Figur 7). Stasjonen på Nyrud var erstatning for en tidligere stasjon på Noatun. Resultater fra alle disse tre stasjonene brukes til å kvalitetssikre dataene fra NILUs program og de legges løpende ut på www.yr.no.



Figur 7: Målestasjonen på Nyrud øverst i Pasvikdalen, om lag 65 km sør for Svanvik og 4 km sør for Noatun. Nedbørsamler til venstre, masten til høyre har temperaturmåler og måler for snødybde. Stasjonen driftes av Meteorologisk institutt. Bak sees Nyrud gård som nå er politistasjon, Pasvikelva skimtes bak bjørketrærne og også øya Vaarlamasari på russisk side. Bildet er tatt 27. mai 2017. Foto: Benjamin Flatlandsmo Berglen.

Svanvik er også en av 33 stasjoner som er med i et landsdekkende varslingsnettverk som kontinuerlig måler radioaktivitet i omgivelsene, radnett⁵. Dette nettverket driftes av Statens strålevern og ble etablert etter Tsjernobyl-ulykken i 1986. Stasjonen overfører data via GPRS, og det varsles automatisk hvis strålingen går over fastsatte grenser (Møller m.fl., 2018). I tillegg har Svanvik og Viksjøfjell to av seks

⁵ For mer informasjon, se <http://radnett.dsa.no> [besøkt 8. mai 2019].

luftfilterstasjoner som er en del av Statens stråleverns nettverk for overvåknings- og varslingssystem for radioaktivitet i luft (de fire andre er Skibotn, Ørland, Østerås og Sola, se Møller m.fl., 2018). Filtrene herfra byttes ukentlig.

Skogfoss og Neiden

I tillegg til målingene i dette overvåningsprogrammet er det to stasjoner i grenseområdene som kun måler nedbør. Pasvik Kraft har en nedbørstasjon ved Skogfoss kraftstasjon om lag 20 km sør for Svanvik, her måles også snødybde (se bilde av stasjonen i Figur 8). Den måler døgnprøver og dataene legges ut på eKlima⁶. Likeledes er det en målestasjon i Øvre Neiden (om lag 4 mil fra Svanvik i luftlinje) som også måler nedbør der dataene vises på yr.no (også nedlastbare fra eKlima).



Figur 8: Pasvik kraft sin målestasjon på Skogfoss. Stasjonen måler nedbør og snødybde på døgnbasis og data er tilgjengelige fra databasen eKlima. Bildet er tatt 25. mai 2017. Ellers kan nevnes at det dagen etter ble målt 2 cm snø på stasjonen (ingen snø da bildet ble tatt, mørk stolpe gir litt varmere mikroklima akkurat rundt målebåndet).
Fotograf: Benjamin Flatlandsmo Berglen.

Russland

I 2010 installerte Murmansk Avdeling for hydrometeorologi og miljøovervåking (heretter benevnt Murmansk UGMS) monitorer som måler SO₂ i Nikel og Zapoljarnij (Optec C-105). Resultatene fra disse målingene er offentlig tilgjengelige⁷. Dette gjør at både Russland og Norge måler luftkvalitet (SO₂) i grenseområdene ved hjelp av monitor med høy tidsoppløsning og dataene er av likeverdig og høy vitenskapelig

⁶ http://sharki.oslo.dnmi.no/portal/page?_pageid=73,39035,73_39049&_dad=portal&_schema=PORTAL [besøkt 8. mai 2019].

⁷ http://www.kolgimet.ru/monitoring-zagrjaznenija-okruzhajushchei-sredy/sostojanie-i-zagrjaznenie-atmosfernogo-vozdukh/?no_cache=1 [besøkt 8. mai 2019].

kvalitet. Samarbeidet mellom Russland og Norge om miljøovervåkingen fungerer godt og den norsk-russiske ekspertgruppen for luft møtes jevnlig for å utveksle data og informasjon. Det russiske ministeriet for naturressurser og økologi i Murmansk fylke gir ut kvartalsvise og årlege rapporter om miljøtilstanden i Murmansk oblast/fylke, disse er også åpent tilgjengelige, dog på russisk⁸.

Resultater fra måleprogrammet er også presentert i felles rapporter om luftkvaliteten i grenseområdene utarbeidet av den norsk-russiske ekspertgruppen for luft. Første rapport ble publisert i mars 2015 (Mokrotovarova m.fl., 2015⁹), mens oppdatert rapport (med resultater t.o.m. 2015) ble overlevert den felles norsk-russisk miljøkommisjon i mai 2017 (Pettersen m.fl., 2017¹⁰). Rapportene gir en god oversikt over norske og russiske grenseverdier for luftkvalitet, måle- og analysemetoder, samt måleprogram og -resultater på norsk og russisk side. Norsk og russisk riksrevisjon har gjennomgått miljøsamarbeidet mellom de to land og resultatene ble lagt fram i mars 2019¹¹.

Finland

Finland har også egne målestasjoner som mäter konsentrasjoner av SO₂. I finsk Lappland er det nå tre stasjoner med SO₂-målinger, Utsjoki Kevo, Inari Raja-Jooseppi og Muonio Sammaltunturi¹². Måleresultatene legges fortløpende ut på internett på samme måte som i Norge (se også referanseliste kap. 6 for utfyllende adresser).

⁸ <https://mpr.gov-murman.ru/activities/okhrana-okruzhayushchey-sredy/01.monitoring/index.php> og <https://mpr.gov-murman.ru/activities/okhrana-okruzhayushchey-sredy/00.condition/index.php> [begge besøkt 1. juni 2019].

⁹ Nedlastbar fra: <https://www.miljodirektoratet.no/globalassets/publikasjoner/m322/m322.pdf> [besøkt 9. mai 2019].

¹⁰ Nedlastbar fra: <https://www.miljodirektoratet.no/globalassets/publikasjoner/m761/m761.pdf> [besøkt 9. mai 2019].

¹¹ <https://www.riksrevisjonen.no/rapporter-mappe/no-2018-2019/undersokelse-av-norsk-russisk-miljosamarbeid/> [besøkt 9. mai 2019].

¹² <https://sv.ilmatieteenlaitos.fi/luftkvalitet> [besøkt 9. mai 2019]

3 Måleresultater meteorologi 2018

Bakgrunn

Meteorologiske målinger, spesielt vindretning og –hastighet, er grunnleggende for å bestemme spredning, transport og avsetning av luftforurensning. I et måleprogram hvor det gjøres kontinuerlige målinger (monitorer) er det derfor svært viktig å samtidig måle meteorologiske parametere. NILU gjør målinger av meteorologiske parametere både på Svanvik og i Karpdalen.

Smelteverket i Nikel er den største enkeltkilden for forurensning i området, men det finnes ingen meteorologiske målinger fra Nikel som er åpent tilgjengelige. Svanvik ligger cirka 8 km vest for Nikel by, og er den norske stasjonen som ligger nærmest smelteverket. Karpdalen ligger ved Jarfjordfjellet om lag 30 km nord for Nikel. Stasjonsplasseringene er vist i Figur 3. Stasjonen på Svanvik ligger fritt og målingene herfra regnes for å være representative for forholdene i området og analyseres i dette kapitlet. De meteorologiske måleresultatene lagres som timemiddelverdier.

Målemetode

Både Svanvik og Karpdalen er utstyrt med Vaisala WTX-520 instrument. Det er ingen bevegelige deler, dvs. vindretning og –styrke bestemmes ved hjelp av en sonisk metode (høyttalere og mikrofoner). Tidligere var det et Aanderaa-instrument på Svanvik, men dette ble byttet i 2013.

Manglende vinddata i perioder om vinteren skyldes som regel problemer med snø eller is på instrumentet. Dette oppdages som oftest ved at målingene viser konstant vindhastighet og/eller –retning over en lengre periode. Det er tegn på at noe er galt og resultatene strykes. Disse periodene sammenfaller som regel også med lav temperatur.

Tabell 1: Datadekning i prosent av tiden for de meteorologiske målingene på Svanvik og i Karpdalen i 2018.

Stasjon	Måned	Vind-hastighet	Vind-retning	Tempe-ratur	Rel. fuktighet	Trykk	Nedbør ¹⁾
Svanvik	Januar	100	100	100	100	100	100
	Februar	100	100	100	100	100	100
	Mars	100	100	100	100	100	100
	April	99,3	99,3	99,3	99,3	99,3	99,3
	Mai	100	100	100	100	100	100
	Juni	100	100	100	100	100	100
	Juli	100	100	100	100	100	100
	August	99,9	99,9	99,9	99,9	99,9	99,9
	September	99,2	99,2	99,2	99,2	99,2	100
	Oktober	100	100	100	100	100	100
	November	99,9	99,9	99,7	99,9	99,9	99,9
	Desember	100	100	100	100	100	100
	2018	99,9	99,9	99,8	99,9	99,9	99,9
Stasjon							
Karpdalen	Januar	100	100	100	100	100	100
	Februar	100	100	100	100	100	100
	Mars	100	100	100	100	100	100
	April	86,3	86,3	86,3	86,1	100	100
	Mai	93,8	93,8	93,4	93,8	99,9	99,9
	Juni	99,9	99,9	88,6	99,9	99,9	99,9
	Juli	56,6	56,6	49,5	61,8	98,7	98,7
	August	90,6	90,6	90,6	100	100	100
	September	99,7	99,7	90,4	99,7	99,7	99,7
	Oktober	100	100	89,3	100	100	100
	November	100	100	87,6	100	100	100
	Desember	100	100	85,5	100	100	100
	2018	93,8	93,8	88,3	95,1	99,8	99,8

1) Nedbør denne tabellen henviser til «precipitation indicator», dvs om det har vært nedbør.

Det er tidvis store problemer med meteorologiinstrumentet i Karpdalen, først og fremst med sensoren for vindretning og –hastighet, samt temperatur. Dette gjenspeiles klart i den lave datadekningen visse måneder i Tabell 1. Problemene forsøkes løst ved å bytte enkelte sensorer og også bytte hele instrumentet, men problemene kommer tilbake. Data fra dette programmet (Svanvik og Karpdalen) sammenlignes med data fra andre stasjoner som en kvalitetssikring.

3.1 Vindmålinger

Vindrosjer for Svanvik og Karpdalen for kalenderåret 2018 er vist i hovedrapporten. De viser at fremherskende vindretning om vinteren er fra sør mot nord og da bringes utslippene nordover bort fra selve Nikel by og inn over Jarfjordfjellet og Karpdalen. Om sommeren er vindretningen varierende. Da «blåser det fra alle kanter» på Svanvik.

Tabell 2: Statistikk over vindhastighet på Svanvik og i Karpdalen kalenderåret 2018 (av gyldige data). Enhet: % og m/s.

Stasjon	Måned	Andel vindstille (%)	Midlere vindhastighet (m/s)	Andel > 6 m/s (%)	Maks. timemiddel (m/s)	Tid for maks.
Svanvik	Januar	17,7	1,53	3,6	6,8	07. kl. 10
	Februar	11,2	1,53	0,0	6,2	09. kl. 22
	Mars	14,0	1,35	0,8	5,3	23. kl. 09
	April	11,5	1,84	0,6	5,5	24. kl 05 og 06
	Mai	5,2	2,22	1,3	6,2	22. kl. 17
	Juni	1,8	2,59	0,1	6,1	30. kl 05 og 09
	Juli	5,8	1,91	0,0	4,2	13. kl. 12
	August	6,7	1,96	0,1	5,9	25. kl. 11
	September	5,3	2,18	1,5	7,9	23. kl. 03
	Oktober	6,7	1,75	0,0	7	01. kl. 10
	November	7,5	2,13	0,6	10,2	22. kl 02 og 03
	Desember	13,7	2	0,4	7,2	29. kl. 21
Kalenderår 2018		8,9	1,92	0,8	10,2	22. nov kl 02 og 03
Karpdalen	Januar	2,2	1,80	1,9	7,6	15. kl 08 og 09
	Februar	5,7	1,68	0,3	5,8	09. kl 15
	Mars	1,7	1,6	0,0	6,8	29. kl 12
	April	1,8	1,98	0,0	7	12. kl 10
	Mai	1,3	2,11	0,1	8,6	26. kl 10
	Juni	1,8	2,66	0,3	6,4	15. kl 09
	Juli	1,0	1,84	0,0	4,4	20. kl 10 og 25. kl 12
	August	3,1	1,96	0,0	6,2	30. kl 12
	September	1,9	2,31	1,1	6,6	23. kl 10
	Oktober	2,8	1,87	0,7	5,5	08. kl 22
	November	6,4	2,41	4,3	7,9	20. kl 03
	Desember	1,3	2,07	0,8	6,8	02. kl 03
Kalenderår 2018		2,6	2,03	0,8	8,6	26. mai kl 10

Smelteverket ligger øst-sørøst for Svanvik og vind fra østlig til sørøstlig kant vil bringe utslippene fra Nikel mot Svanvik. Anlegget i Zapoljarnij ligger nærmest ett øst for Svanvik og øst-nordøst kan bringe utslipp fra Zapoljarnij inn mot Svanvik.

Vinden i Karpdalen er preget av topografiske effekter. I Karpdalen er hyppigst forekommende vindretning om sommeren fra sør og sørøst og nord og nordvest hvor vinden følger dalføret ut/inn dalen. Om vinteren er hyppigst forekommende vindretning klart fra sør og sør-sørøst hvor vinden kommer fra sørlig retning i typisk 2/3 av tiden. Vind fra vest forekommer sjeldent, det er en kolle like vest for stasjonen (Figur 5).

3.2 Temperatur

Tabell 3: Temperaturer på Svanvik (NILUs instrument 10 m over bakken) og i Karpdalen (NILUs instrument 4 m over bakken). Enhet °C.

Stasjon		Januar 2018	Februar 2018	Mars 2018	April 2018	Mai 2018	Juni 2018
Svanvik	Middel	-11,9	-12,1	-10,4	-0,3	7,8	9,8
NILU	Maks.	-0,8	0,4	-0,3	8,8	20,1	23,3
	Min.	-35,1	-28,8	-31,5	-20,1	-6,1	1,7
Karpdalen	Middel	-11,2	-11,7	-9,7	-0,6	6,8	8,9
	Maks.	-0,7	0,9	-0,9	8,2	18,1	21,6
	Min.	-31,7	-26,5	-28,0	-18,0	-7,5	1,0
		Juli 2018	August 2018	September 2018	Oktober 2018	November 2018	Desember 2018
Svanvik	Middel	18,0	12,6	8,7	1,4	0,1	-6,5
NILU	Maks.	32,0	30,0	22,2	13,4	6,1	4,2
	Min.	5,8	0,7	-2,4	-6,6	-12,3	-17,0
Karpdalen	Middel	17,6	12,0	8,1	1,1	0,2	-6,8
	Maks.	30,1	29,5	21,9	13,0	6,0	3,7
	Min.	6,5	1,6	-4,6	-8,9	-12,0	-17,7

Det er lokale forskjeller i temperatur og nattefrost på bakken kan forekomme selv om sommeren. Snøfall er observert i alle årets 12 måneder i Pasvik. Karpdalen og Kirkenes lufthavn ligger nærmere kysten enn Svanvik og Nyrud og har generelt lavere maksimumstemperatur og høyere minimumstemperatur. Se Figur 9 for data fra de andre målestasjonene.

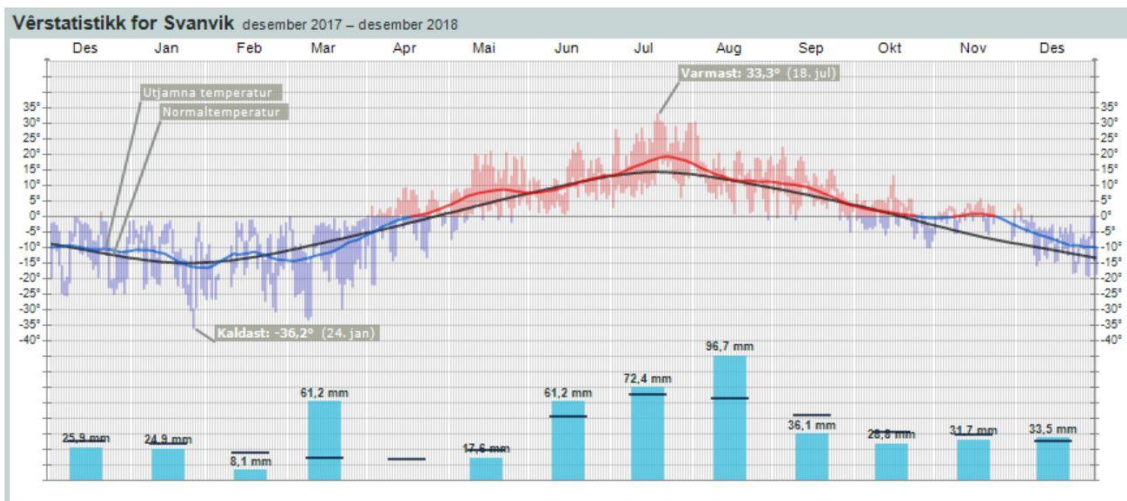
3.3 Nedbørsmålinger

Vaisala-instrumentene på Svanvik og i Karpdalen måler også nedbør ved hjelp av en «tromme» som registrerer nedbør som faller. Erfaringsmessig vil denne metoden underrapportere mengde nedbør, spesielt om vinteren. På denne bakgrunnen kalles nedbørsmålingene for «precipitation indicator» som angir når det har vært nedbør, men ikke mengde.

I måleprogrammet foretas det prøvetaking for målinger av uorganiske komponenter¹³ og tungmetaller i nedbør ved tre stasjoner: Svanvik, Karpdalen (begge tungmetaller) og Karpbukt (uorganiske komponenter), se Figur 3 for stasjonslassering. Formålet med målingene er å tallfeste tilførsel av elementer i nedbør, men målingene gir også mengde. Se hovedrapport for data.

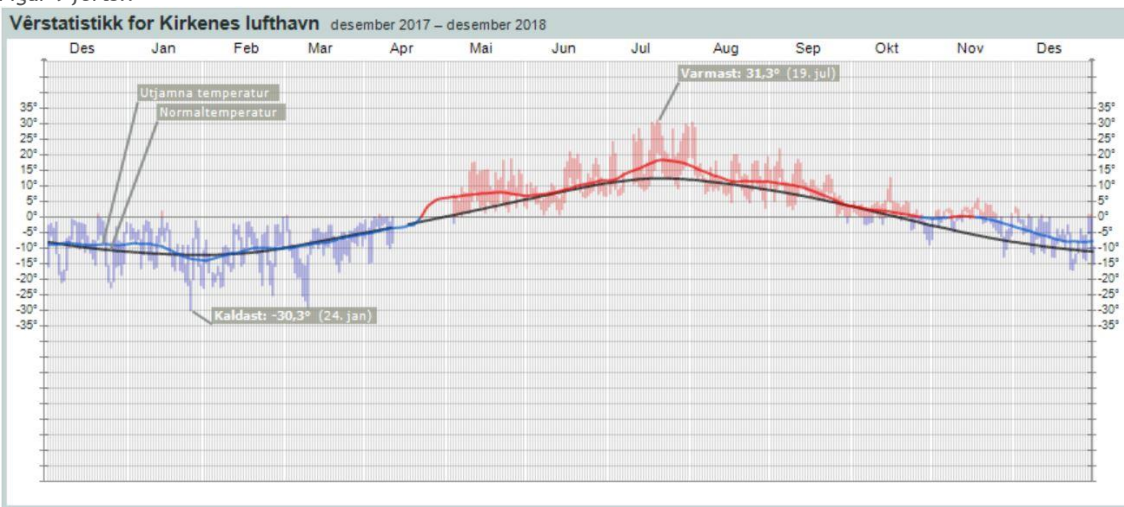
Av de tre stasjonene er Svanvik preget av innlandsklima og har minst nedbør. Karpdalen ligger noen kilometer inn i landet og er preget av luft sørfra (innlandsluft) og luft nordfra (sjøluft) og ligger mellom de to mtp. mengde nedbør. Karpbukt ute ved kysten har mest nedbør.

¹³ Igjen; som uorganiske komponenter regnes SO_4^{2-} , NH_4^+ , NO_3^- , Na^+ , Mg^{2+} , Cl^- , Ca^{2+} , K^+ gitt som ioner.



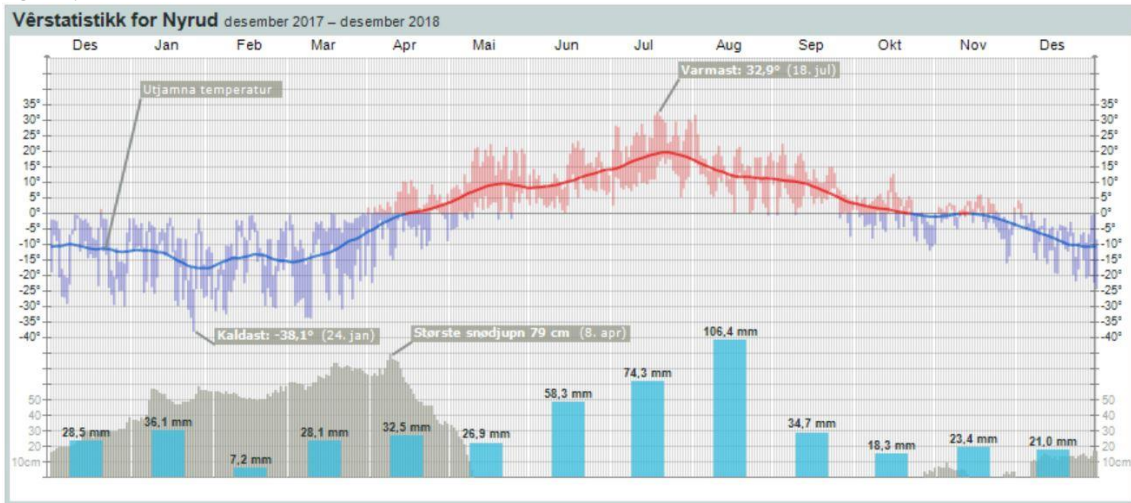
Figur 9: Temperaturer på Svanvik (LMTs instrument 2 m over bakken), Kirkenes lufthavn Høybuktmoen (inkl. normalen for 1961 – 1990) og Nyrud i 2018. Kilder: LMT og eKlima/Meteorologisk institutt. Enhet °C.

Figur 9 forts.:



Månader	Temperatur				Vind	
	Gjennomsnitt	Normal	Varmast	Kaldast	Gjennomsnitt	Sterkast vind
des 2018	-6,6°		3,4° 1. des	-17,2° 23. des	5,0 m/s	13,0 m/s 2. des
nov 2018	-0,4°		6,2° 17. nov	-13,0° 27. nov	5,3 m/s	16,2 m/s 20. nov
okt 2018	1,0°		12,9° 15. okt	-9,1° 30. okt	4,6 m/s	12,2 m/s 21. okt
sep 2018	8,3°		22,1° 3. sep	-2,0° 29. sep	4,4 m/s	14,2 m/s 23. sep
aug 2018	12,2°		30,7° 1. aug	2,7° 29. aug	4,2 m/s	12,9 m/s 30. aug
jul 2018	17,1°		31,3° 19. jul	6,7° 4. jul	3,6 m/s	10,1 m/s 22. jul
jun 2018	8,9°		21,2° 16. jun	0,6° 6. jun	5,1 m/s	14,4 m/s 27. jun
mai 2018	7,4°		18,9° 25. mai	-2,1° 3. mai	4,5 m/s	15,7 m/s 26. mai
apr 2018	-3,3°		1,1° 5. apr	-15,0° 1. apr	4,0 m/s	12,2 m/s 3. apr
mar 2018	-8,0°		0,8° 1. mar	-30,0° 9. mar	4,3 m/s	13,4 m/s 29. mar
feb 2018	-11,0°		0,1° 28. feb	-25,4° 24. feb	4,7 m/s	13,9 m/s 10. feb
jan 2018	-10,4°		2,1° 13. jan	-30,3° 24. jan	4,3 m/s	15,3 m/s 15. jan
des 2017	-9,2°		1,3° 20. des	-22,9° 25. des	4,5 m/s	14,2 m/s 19. des

Figur 9 forts.:



Månader	Temperatur				Nedbør		
	Gjennomsnitt	Normal	Varmast	Kaldast	Totalt	Normal	Mest på eitt døger
des 2018	-8,0°		4,3° 1. des	-24,3° 31. des	21,0 mm		8,7 mm 6. des
nov 2018	-0,6°		6,2° 17. nov	-16,1° 27. nov	23,4 mm		4,4 mm 1. nov
okt 2018	0,2°		12,0° 15. okt	-11,0° 29. okt	18,3 mm		3,5 mm 16. okt
sep 2018	8,3°		22,5° 3. sep	-7,5° 29. sep	34,7 mm		4,8 mm 16. sep
aug 2018	12,7°		31,8° 1. aug	-0,7° 29. aug	106,4 mm		23,3 mm 10. aug
jul 2018	18,7°		32,9° 18. jul	2,6° 1. jul	74,3 mm		27,2 mm 23. jul
jun 2018	10,2°		23,4° 18. jun	0,3° 13. jun	58,3 mm		11,8 mm 12. jun
mai 2018	8,5°		22,4° 16. mai	-5,3° 1. mai	26,9 mm		6,7 mm 17. mai
apr 2018	-0,1°		10,8° 16. apr	-22,3° 1. apr	32,5 mm		9,9 mm 29. apr
mar 2018	-12,4°		2,0° 31. mar	-33,8° 9. mar	28,1 mm		5,1 mm 17. mar
feb 2018	-14,3°		-0,5° 15. feb	-32,4° 5. feb	7,2 mm		2,0 mm 22. feb
jan 2018	-13,8°		-1,3° 15. jan	-38,1° 24. jan	36,1 mm		9,9 mm 7. jan
des 2017	-11,7°		1,5° 20. des	-29,9° 29. des	28,5 mm		6,1 mm 13. des

Tabell 4: Nedbørstasjoner fra stasjonene Skogfoss og Øvre Neiden i 2018. Enhet: mm.

Måned	Øvre Neiden mm	Skogfoss mm
Januar	20	30
Februar	6	8
Mars	36	50
April	22	27
Mai	10	20
Juni	73	75
Juli	65	75
August	79	108
September	52	43
Oktober	28	29
November	27	27
Desember	21	24
2018	441	515

4 Måleresultater svoveldioksid (SO_2) og uorganiske komponenter

Beskrivelse av målingene og måleinstrumentene

Svanvik og Karpdalen har kontinuerlig registrerende instrumenter som måler SO_2 -konsentrasjonen hvert 10. sekund. Dataloggeren på instrumentet regner ut gjennomsnitt for 10 minutter og 1 time, som så overføres til NILU. Høy tidsoppløsning er nødvendig for å måle maksimalkonsentrasjoner i episoder. Dette gir informasjon om hvor lenge episodene varer og hvor ofte de forekommer. Timemiddelverdiene kan også knyttes direkte til målte vindretninger for å bestemme kilde(r) eller kildeområde(r). Øyeblikkskonsentrasjonene lagres i loggerens minne noen dager før de overskrives. Om ønskelig kan rådata for hvert 10. sekund tas ut fra loggeren ved spesielle forurensningsepisoder, som eksempelvis 20. oktober 2014 (Bergen m.fl., 2015). Disse dataene gir et meget detaljert bilde av tidsforløpet under episodene.

De kontinuerlig registrerende instrumentene (API100-monitorene) måler blandingsforhold (antall molekyler SO_2 pr antall molekyler luft) og har en usikkerhet avhengig av måleområdet; 5 ppb^{fotnote 14} for blandingsforhold mellom 0 og 40 ppb, 12,5% for måleverdier over 40 ppb. Faktoren som brukes til å beregne konsentrasjonene er fastsatt av EU og antar en fast lufttemperatur lik 20°C og et fast atmosfærisk trykk lik 1013 hPa (mbar). Faktoren er da 2,66 (1 ppb SO_2 tilsvarer 2,66 $\mu\text{g}/\text{m}^3$). Dette vil si at de målte konsentrasjonene er beregnet i forhold til en referanse temperatur 20°C.

Samtidige målinger av vindretning og -hastighet og SO_2 -konsentrasjon viser at røykfanene fra verkene i Nikel og Zapoljarnij er ganske smale, som oftest med bare noen få kilometers utstrekning. Konsentrasjonen blir derfor høy når røykfanen sveiper over målestasjonen, mens bare noen grader endring i vindretningen kan føre til at målestasjonen ikke blir eksponert. Den brå endringen i konsentrasjonsnivået vises klart i plottene av timemiddelkonsentrasjonene. I lange perioder er stasjonen ikke eksponert og mottar «ren» bakgrunnsluft.

4.1 SO_2 kalenderåret 2018

Når det gjelder miljøbelastningen på Svanvik og i Karpdalen så er et typisk mønster at Svanvik har de høyeste konsentrasjonene på kort tidsskala (10-minutter, time). Dette skyldes nærheten til Nikelverket. Men de høyeste konsentrasjonene for lengre tidsskala (måned, sesong) er høyest i Karpdalen. Karpdalen er typisk også mest utsatt vinterstid pga. hyppigst forekommende vindretning fra sør.

Datadekning i 2018

Datadekningen på Svanvik og Karpdalen i 2018, dvs. hvor stor andel av tiden instrumentene fungerte tilfredsstillende, var stort sett meget god. Eneste unntak var juli på Svanvik (32% datadekning) der det var problemer med instrumentet og det tok tid å ordne dette pga ferieavvikling. For 2018 sett under et var det 92,1% datadekning på Svanvik og 97,8% i Karpdalen. Det er ikke praktisk mulig å oppnå 100% datadekning.

¹⁴ ppb: parts per billion, dvs. milliard'tedele, 1 / 1 000 000 000.

Årsaken til det er at instrumentet kalibreres jevnlig, som regel gjøres dette en gang pr uke. Det blir altså ikke gjort målinger mens kalibrering pågår.

Detaljerte 10-minuttersverdier over 500 µg/m³

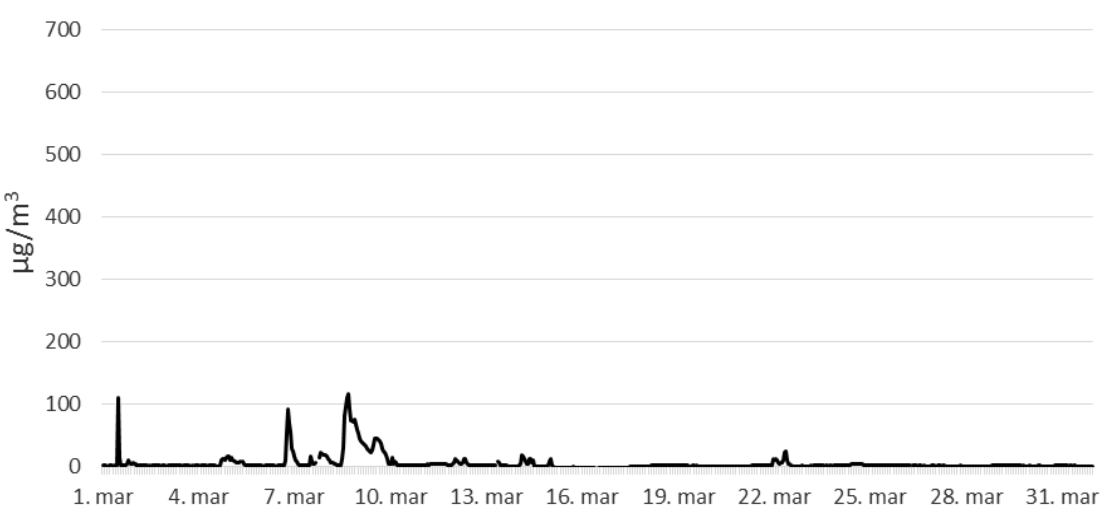
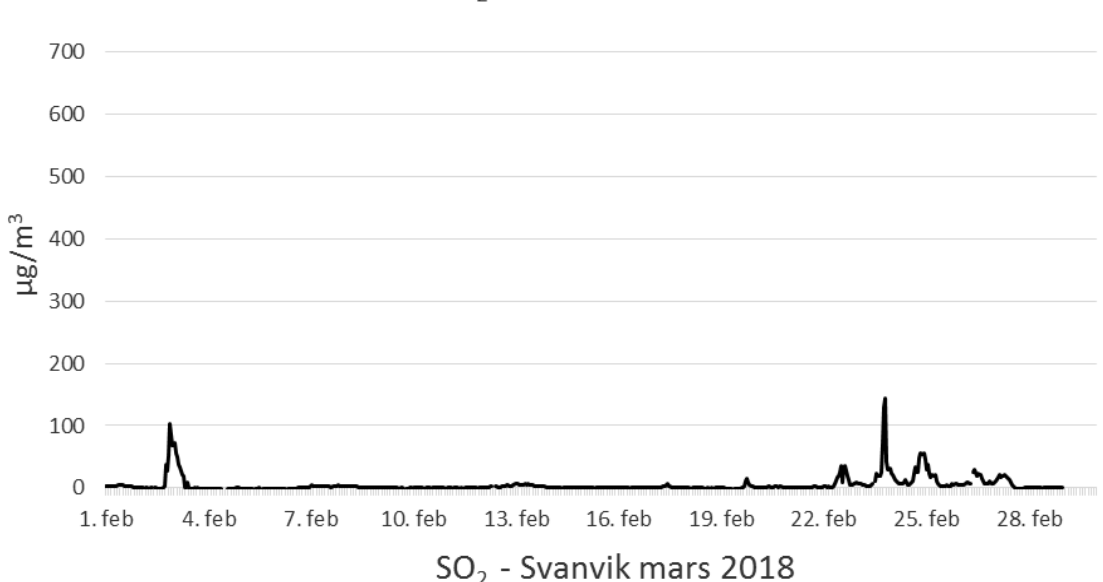
Tabell 5: Episoder med 10-minuttersverdier av SO₂ over 500 µg/m³ på Svanvik og i Karpdalen i kalenderåret 2018.

Stasjon	Dato	Fra kl. *	Til kl. *	10-min. verdi (µg/m ³)	Timeverdi (µg/m ³)
Svanvik	16.05.2018	12:00	12:10	556	480
	16.05.2018	12:10	12:20	731	480
	16.05.2018	12:20	12:30	625	480
	18.06.2018	12:00	12:10	761	289
	18.06.2018	12:10	12:20	686	289
	18.06.2018	16:10	16:20	536	241
Karpdalen	01.01.2018	8:50	9:00	701	358
	01.01.2018	9:00	9:10	631	225
	07.02.2018	8:50	9:00	589	184
	07.02.2018	9:50	10:00	501	406

* Klokkeslettene er justert for sommertid (gjelder 25. mars - 28. oktober).

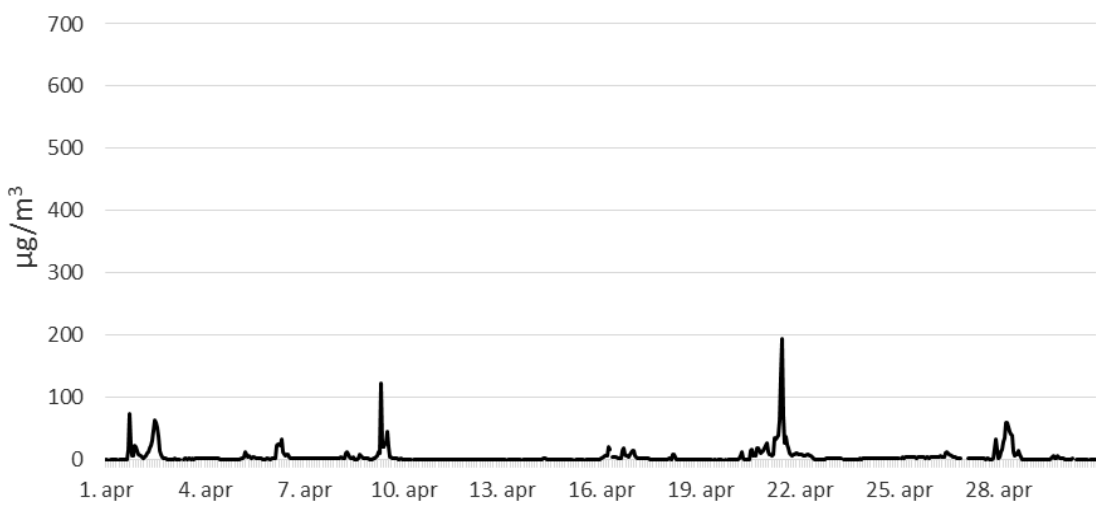
Timemiddelverdier av SO₂ på Svanvik januar - mars 2018.

SO₂ - Svanvik januar 2018

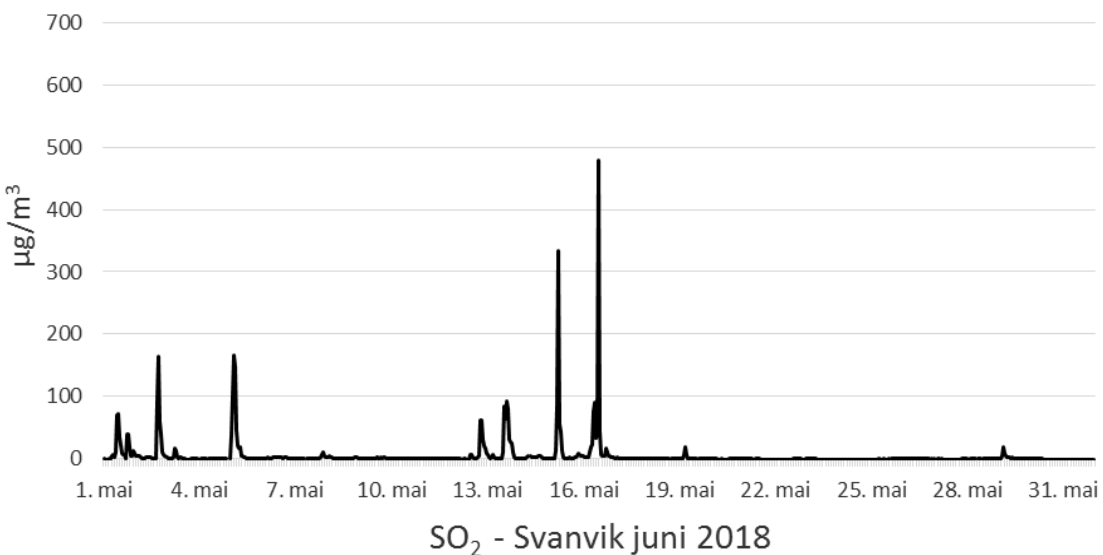


Timemiddelverdier av SO₂ på Svanvik april - juni 2018.

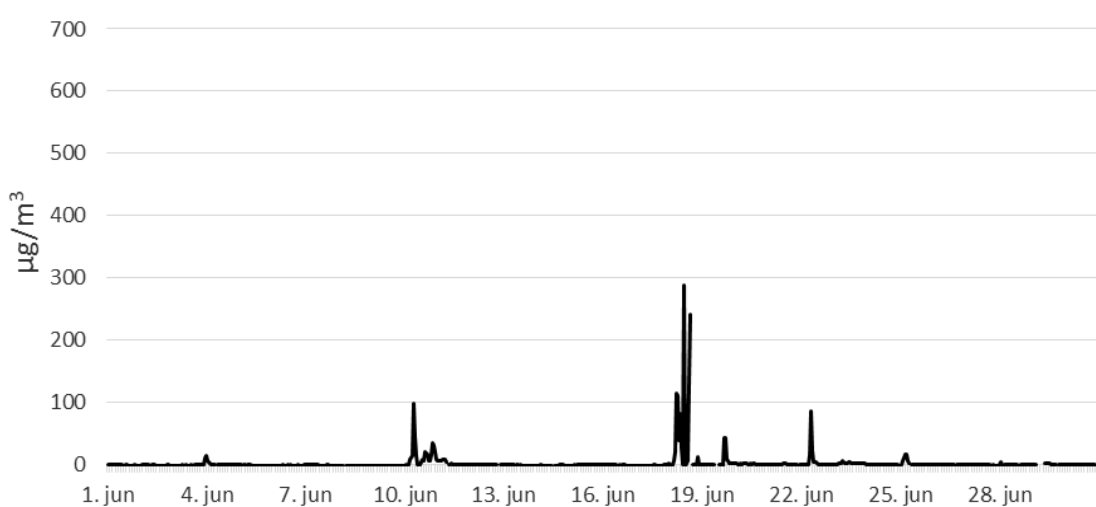
SO₂ - Svanvik april 2018



SO₂ - Svanvik mai 2018

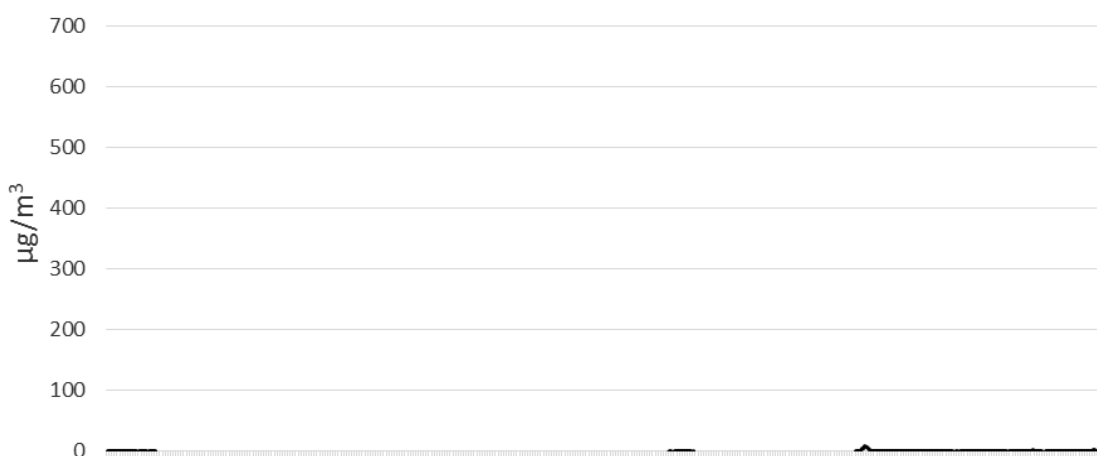


SO₂ - Svanvik juni 2018

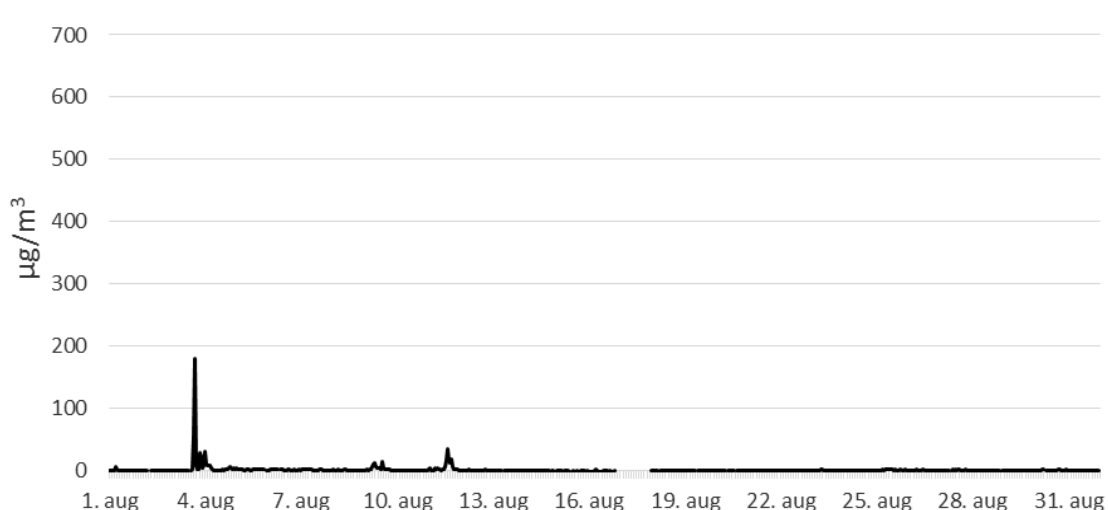


Timemiddelverdier av SO₂ på Svanvik juli - september 2018.

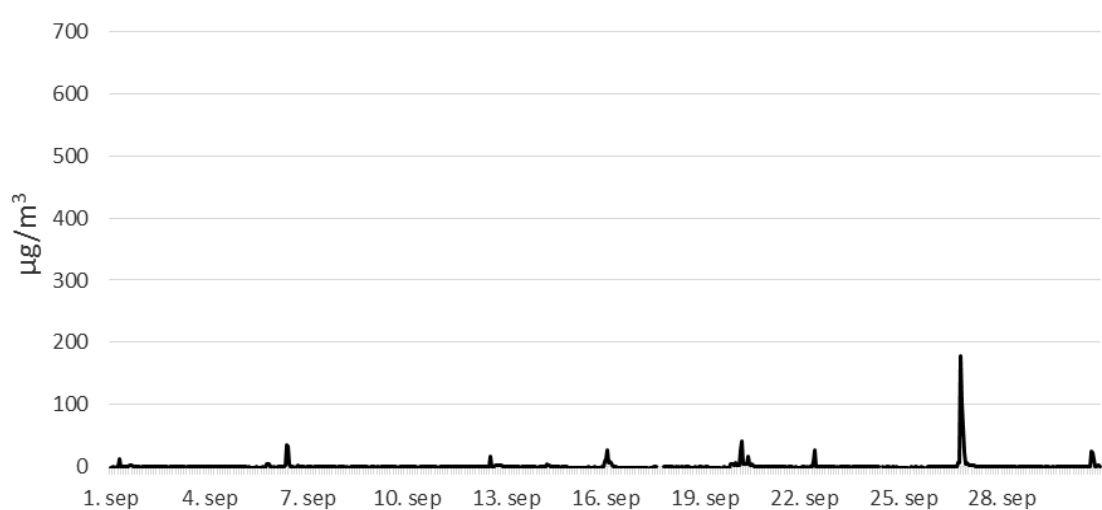
SO₂ - Svanvik juli 2018



SO₂ - Svanvik august 2018

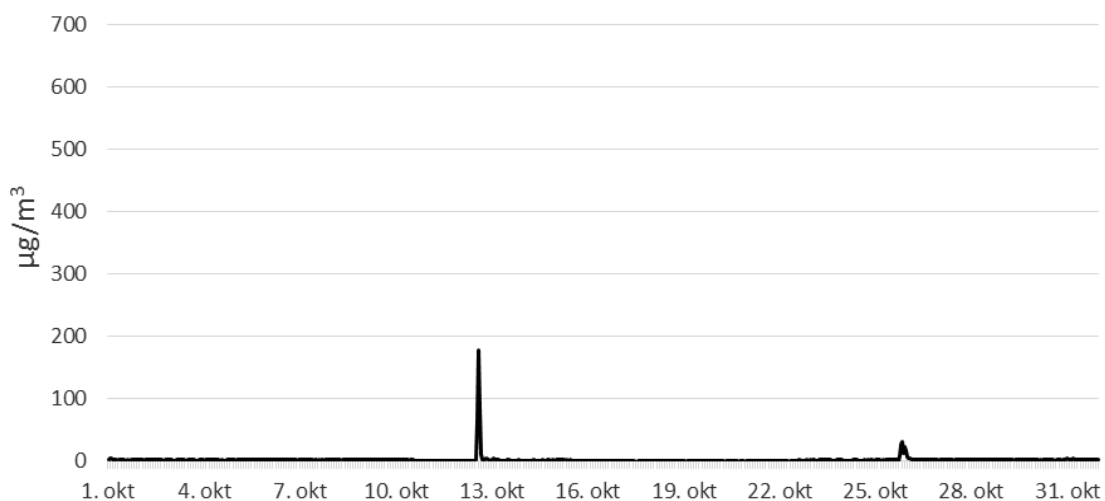


SO₂ - Svanvik september 2018

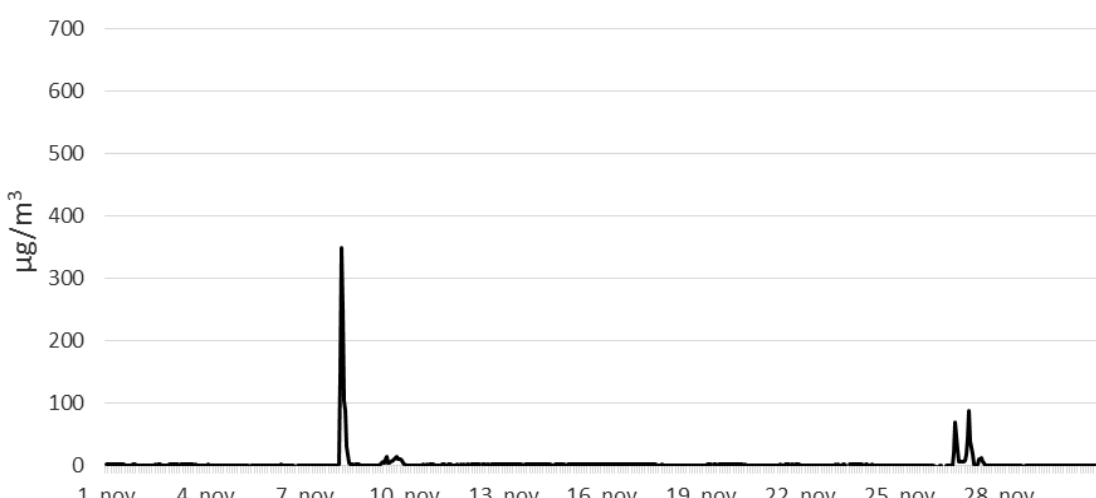


Timemiddelverdier av SO₂ på Svanvik oktober - desember 2018.

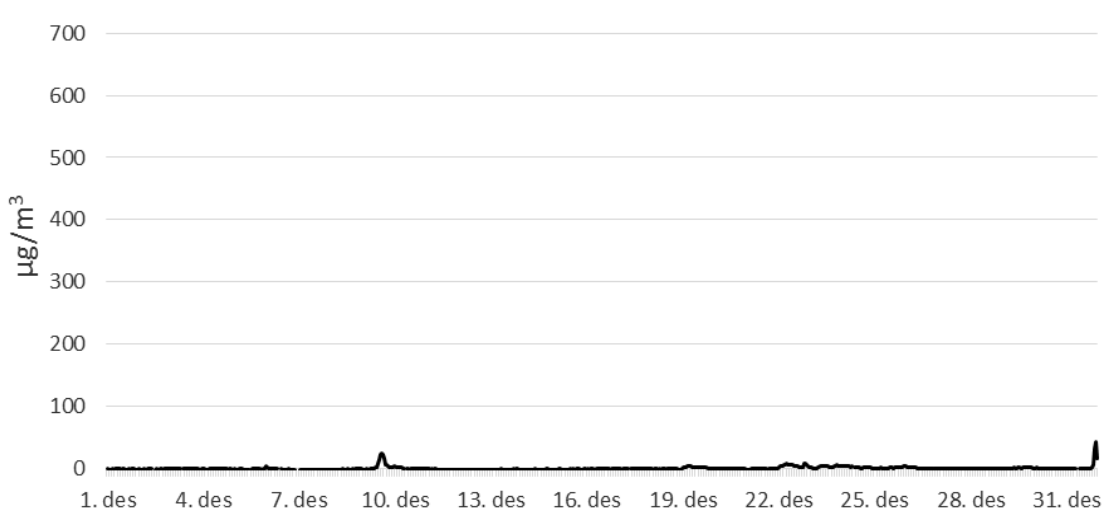
SO₂ - Svanvik oktober 2018



SO₂ - Svanvik november 2018

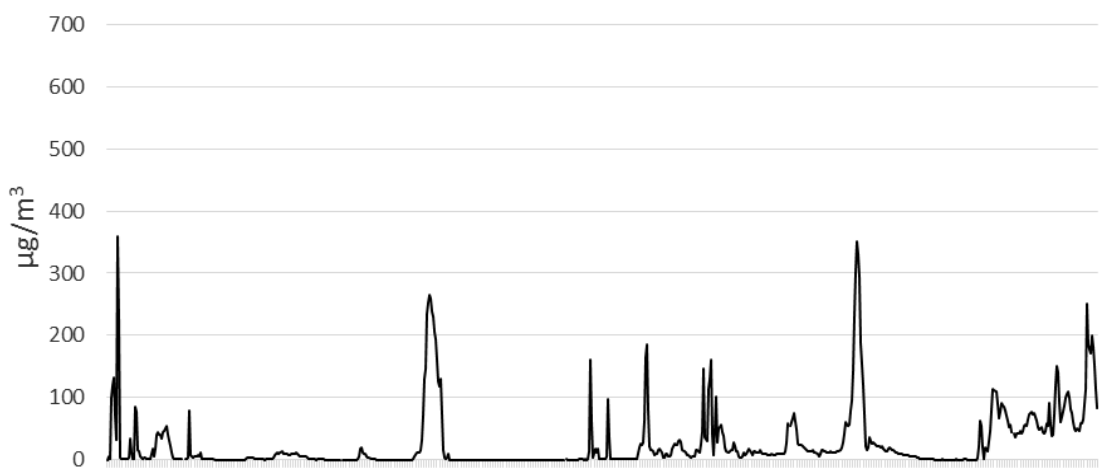


SO₂ - Svanvik desember 2018

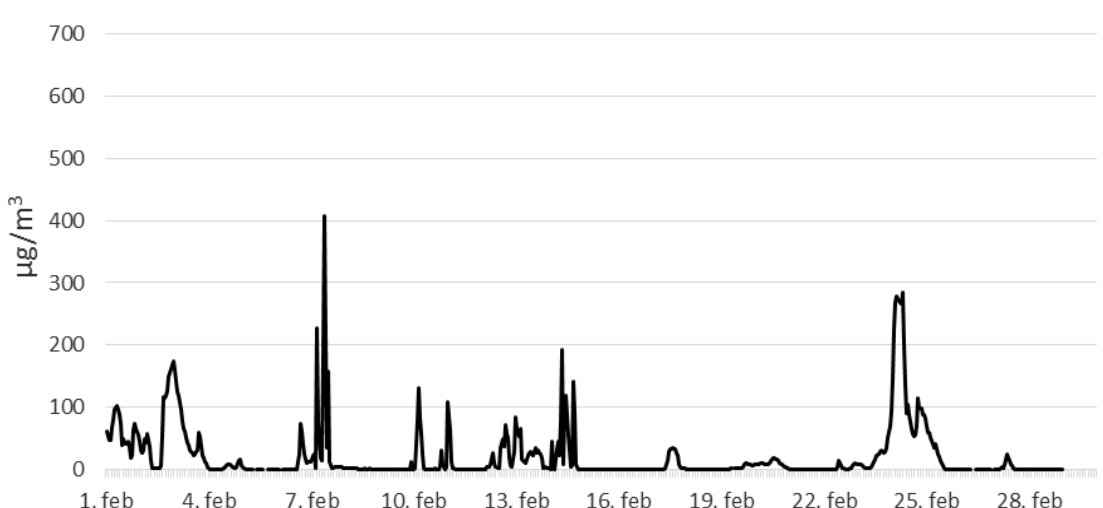


Timemiddelverdier av SO₂ i Karpdalen januar - mars 2018.

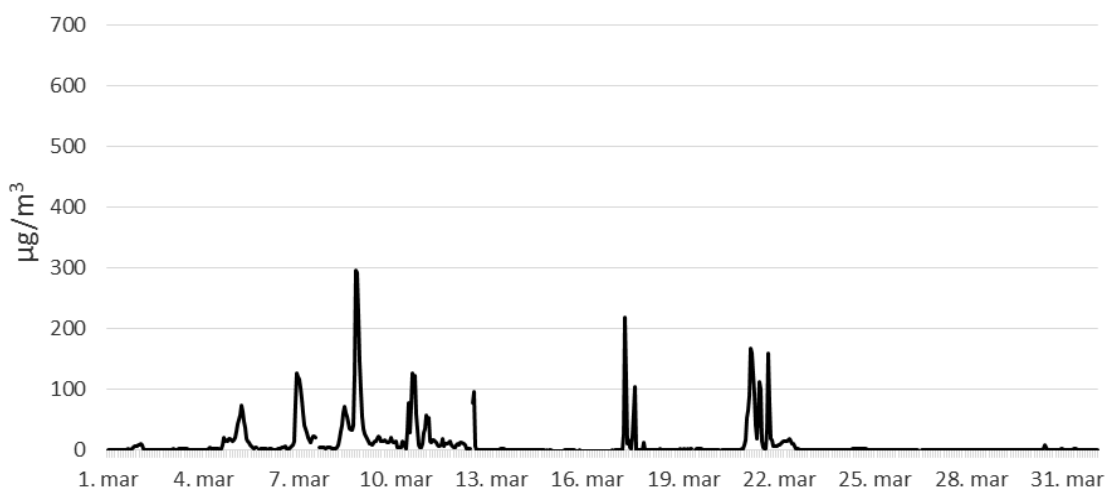
SO₂ - Karpdalen januar 2018



SO₂ - Karpdalen februar 2018

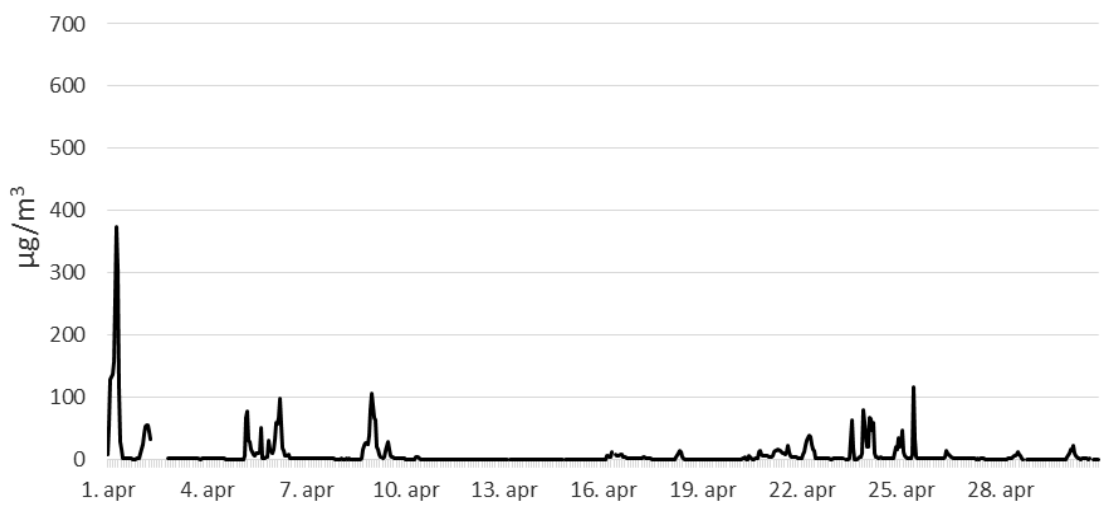


SO₂ - Karpdalen mars 2018

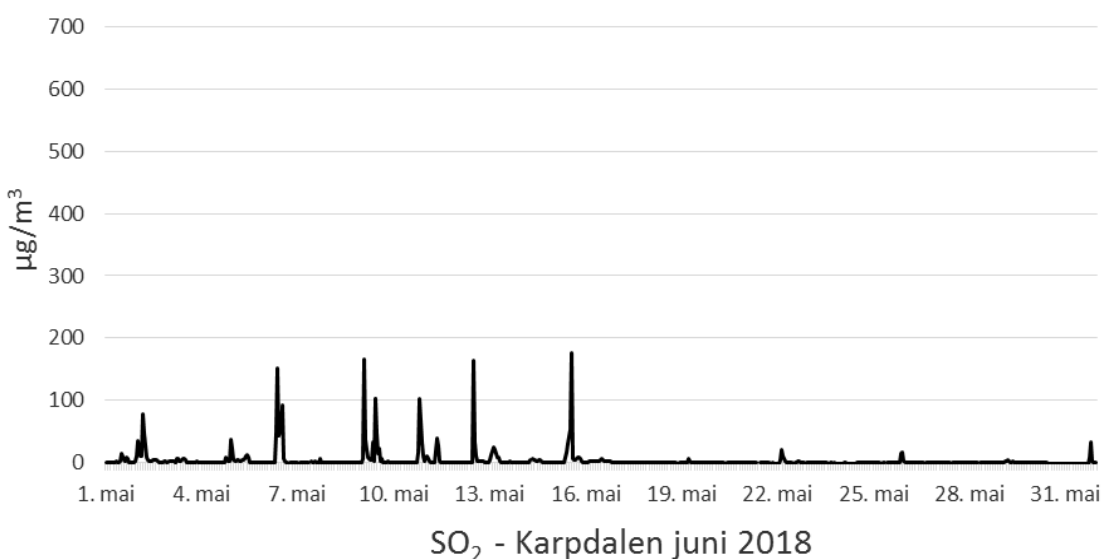


Timemiddelverdier av SO₂ i Karpdalen april - juni 2018.

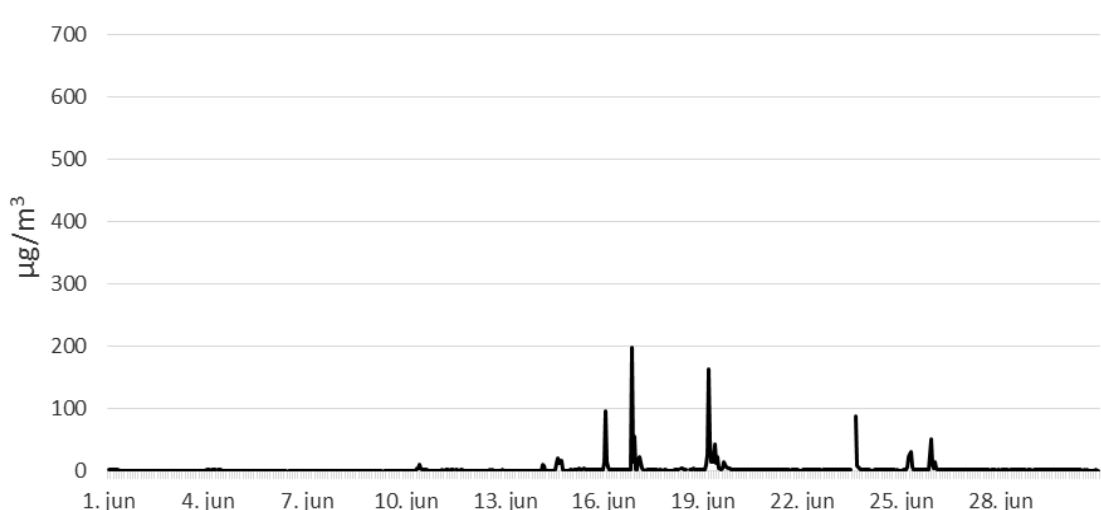
SO₂ - Karpdalen april 2018



SO₂ - Karpdalen mai 2018

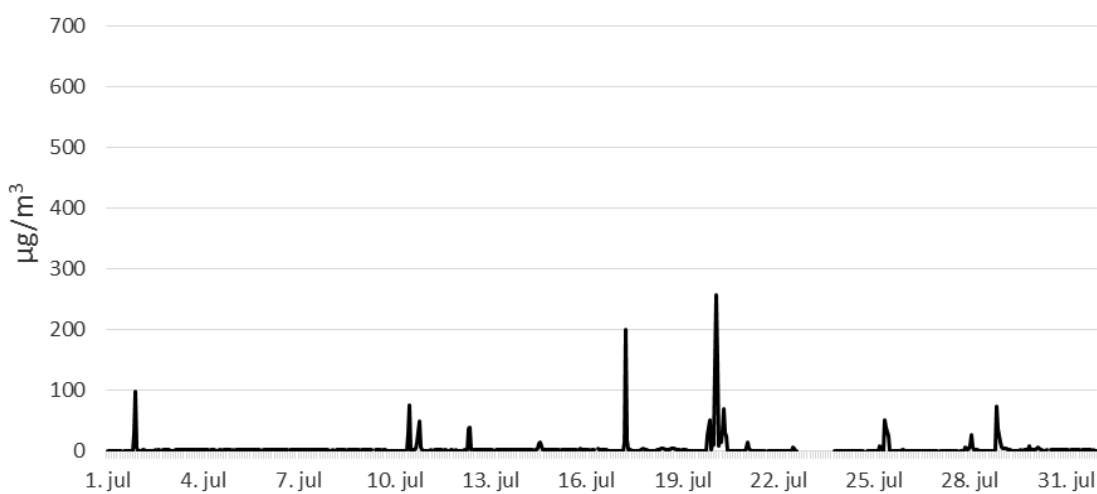


SO₂ - Karpdalen juni 2018

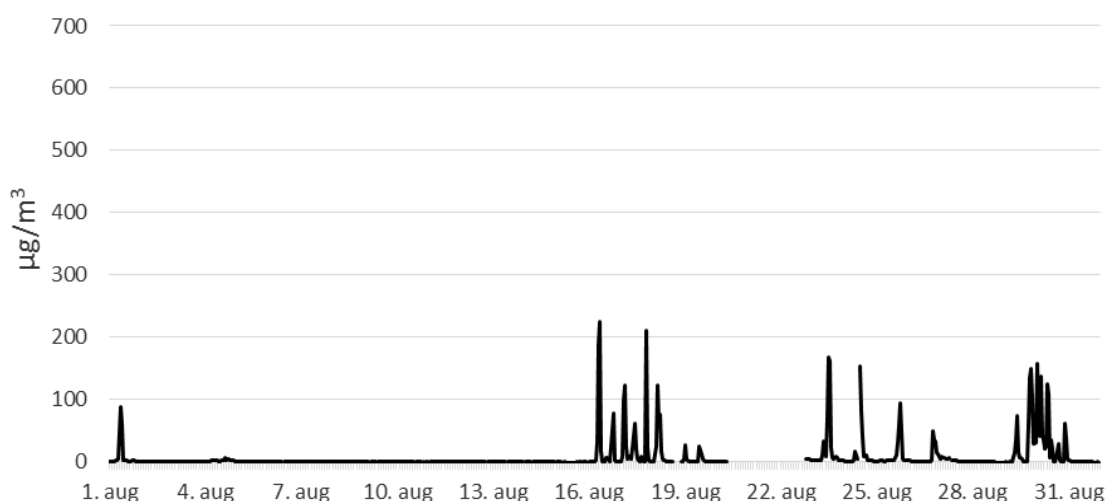


Timemiddelverdier av SO₂ i Karpdalen juli - september 2018.

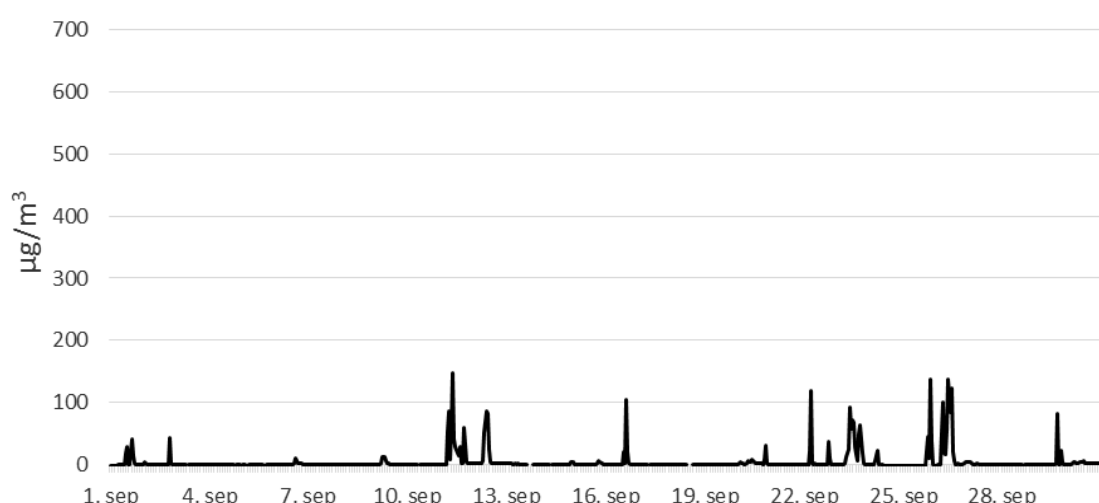
SO₂ - Karpdalen juli 2018



SO₂ - Karpdalen august 2018

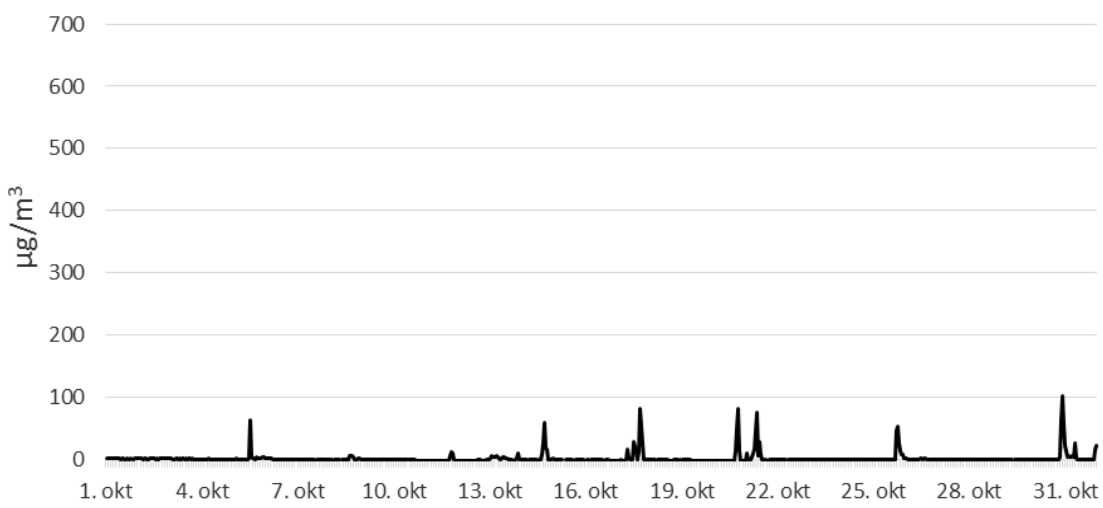


SO₂ - Karpdalen september 2018

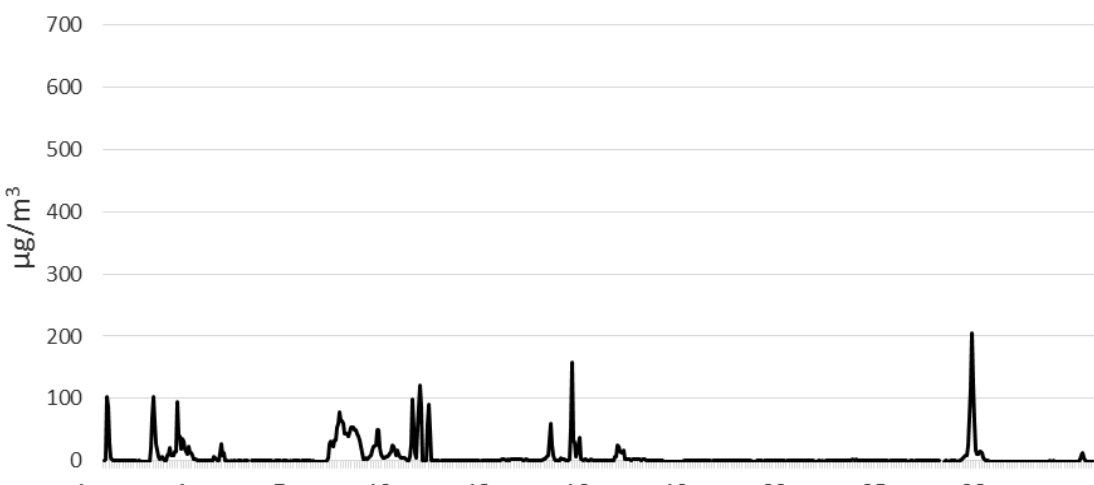


Timemiddelverdier av SO₂ i Karpdalen oktober - desember 2018.

SO₂ - Karpdalen oktober 2018



SO₂ - Karpdalen november 2018



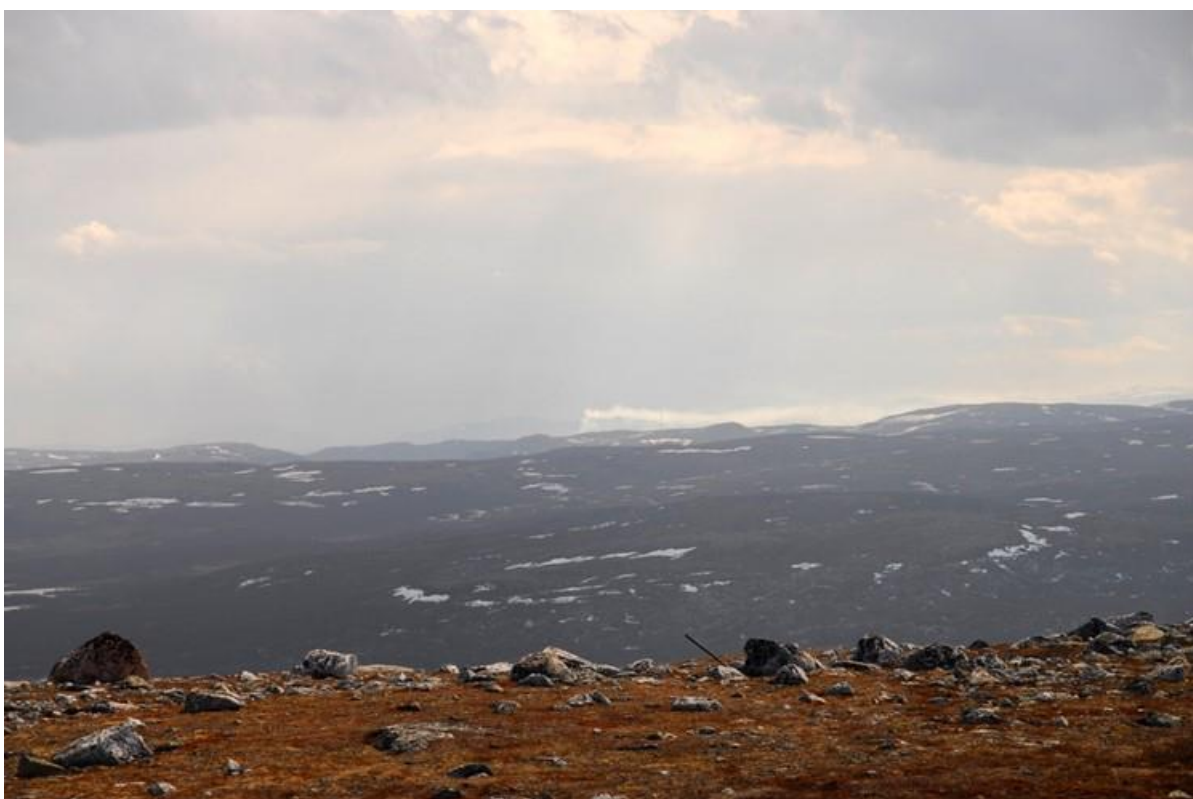
SO₂ - Karpdalen desember 2018



Viksjøfjell

Det har pågått målinger av SO₂ på Viksjøfjell siden sommeren 2009. Dette er en stasjon hvor det ble gjort målinger tidligere, men som ble nedlagt i 1996. Viksjøfjell ligger på Jarfjordfjellet og er over tregrensen (391 m.o.h.). Zapoljarnij ligger sør for Viksjøfjell og man kan se røyk-fanen fra anlegget i Zapoljarnij i godvær, se Figur 10.

Målingene av SO₂ gjøres her ved hjelp av passive prøvetakere (gule eller røde brikker med impregnert filter) som henges opp på en sydvendt vegg. Prøvetakerne blir eksponert i 14 dager og så sendt tilbake til NILU for analyse. To prøvetakere eksponeres samtidig. Målingene gjøres i samarbeid med Forsvaret.



*Figur 10: Utsikt fra Viksjøfjell sørover. Røykfanen fra anlegget i Zapoljarnij sees i det fjerne.
Foto: Christoffer Aalerud, Fylkesmannen i Finnmark.*

Detaljerte måleresultater for SO₂ på Viksjøfjell er vist i Tabell 6. Det er værhardt på Viksjøfjell og en del av prøvetakerne blir våte av horisontalt regn eller tåke. Dette er forsøkt utbedret med tak over prøvetakeren. I Tabell 6 er det tidvis stor forskjell mellom de to prøvetakerne som ble eksponert samtidig. Dette skyldes som regel fuktighet i en av prøvetakerne. Våte på prøvetakerne gir usikre målinger. Merk dog at analyseresultatene heller blir for lave enn for høye. Målingene viser at miljøbelastningen nord for smelteverkene er størst vinterstid pga. fremherskende vindretning fra sør. Det har i perioder vært problemer med forsendelsene til Viksjøfjell (eks. forsvinner i postgangen) og derved er det noen huller i måleserien.

Den siste produksjonslinjen i Zapoljarnij ble satt i drift i desember 2015. Dette er ment å redusere utsippene fra anlegget i Zapoljarnij til 8000 tonn SO₂ pr år. Det er et poeng at svovelet som tidligere ble sluppet ut i Zapoljarnij nå forblir i brikettene og slippes ut i Nikel i stedet for. Og modellkjøringer og analyser av utsipp og spredning har vist at røykfanen fra Nikel treffer Viksjøfjell ved vind fra sørlig og sørvestlig kant.

Tabell 6: Måleresultater for SO₂ på Viksjøfjell i 2018. Enhet: µg/m³.

Fra dato	Til dato	Antall døgn	SO ₂ prøvetaker 1	SO ₂ prøvetaker 2
18.01.2018	04.02.2018	17	24	16
04.02.2018	18.02.2018	14	56	43
18.02.2018	04.03.2018	14	2	4
04.03.2018	18.03.2018	14	21	48
18.03.2018	01.04.2018	14	15	14
01.04.2018	15.04.2018	14	65	9
15.04.2018	29.04.2018	14	12	16
29.04.2018	06.05.2018	7	22	10
06.05.2018	20.05.2018	14	13	14
20.05.2018	03.06.2018	14	2	4
03.06.2018	17.06.2018	14	5	4
17.06.2018	01.07.2018	14	5	4
01.07.2018	15.07.2018	14	4	4
15.07.2018	29.07.2018	14	14	23
12.08.2018	26.08.2018	14	3	2
26.08.2018	09.09.2018	14	12	24
09.09.2018	23.09.2018	14	44	-
23.09.2018	07.10.2018	14	-	3
07.10.2018	21.10.2018	14	26	21
21.10.2018	04.11.2018	14	47	32
04.11.2018	18.11.2018	14	82	68
18.11.2018	02.12.2018	14	19	87
02.12.2018	16.12.2018	14	4	-
16.12.2018	30.12.2018	14	55	15
30.12.2018	13.01.2019	14	32	37

Konsentrasjonsvindroser

Konsentrasjonsvindroser er måte å vise sammenhengen mellom vindretning og konsentrasjon. Sagt med andre ord, konsentrasjonsvindroser viser middelkonsentrasjonen når vinden blåser **fra** en bestemt vindretning. Konsentrasjonsvindroser for Svanvik og Karpdalen (ikke vist her) viser klart at konsentrasjonene er høyest når vinden står fra smelteverkene mot målestasjonene på Svanvik og i Karpdalen. På Svanvik er konsentrasjonen høyest ved vind fra sektor 120°, som tilsvarer øst-sørøst ($20 \mu\text{g}/\text{m}^3$), mens i Karpdalen er høyeste konsentrasjon observert ved vind fra sektor 180° (rett sør, $14 \mu\text{g}/\text{m}^3$), som også er retning Nikel. Merk også at Karpdalen viser høye konsentrasjoner både ved vind fra Nikel og Zapoljarnij. Dvs. at konsentrasjonsvindrosene viser klart at utslipp fra Nikel og Zapoljarnij er opphavet til de høye konsentrasjonene av SO₂ som måles i grenseområdene.

4.2 Trender av SO₂ 1974 – 2018

Bakgrunnshistorikk

Smelteverket i Nikel ble anlagt på 1930-tallet, og det har vært utslipp av SO₂ og tungmetaller siden den gang. De norske SO₂-målingene startet i Kirkenes-området og på Svanvik i 1974 (Hagen, 1977). I 1978 ble målingene utvidet med to nye stasjoner, Holmfoss og Jarfjordbotn (se kart i Figur 3 side 7). I 1986 ble stasjonen i Jarfjordbotn flyttet til Karpdalen. Da den såkalte Basisundersøkelsen startet i 1988 ble nye stasjoner opprettet på Viksjøfjell, på Noatun og på Kobbfoss. I 1990 og 1991 startet også målinger på russisk side med norsk måleutstyr på SOV 1, SOV 2 (Maajärvi¹⁵), SOV 3 og i Nikel (se kart i Figur 3). Utover 1990-årene ble de fleste stasjonene nedlagt pga. reduserte bevilgninger. Stasjonen i Karpdalen ble gjenåpnet i oktober 2008.

De første årene ble målingene utført ved hjelp av en prøvetaker kalt "kommunekasse" der SO₂ ble absorbert i en løsning og analysert i laboratoriet etterpå. Nå gjøres målinger med kontinuerlige monitorer hvor resultatene etter en enkel kvalitetssikring legges ut på internett i nær sanntid (www.luftkvalitet.info).

Tabell 7 gir en oversikt over måleperiodene på de ulike norskfinansierede stasjonene i grenseområdene fra starten i 1974. I tabellen er det skilt mellom døgnprøvetakere (som bare gir døgnmiddeleverdier) og kontinuerlig registrerende instrumenter (monitorer) hvor verdiene måles kontinuerlig og midles til timemiddel-verdier. Noen stasjoner har i perioder hatt begge typer prøvetakere. På Svanvik er det lagret middelverdier over 10 minutter fra 1.7.2001, i Karpdalen fra gjenåpning i oktober 2008. I Nikel ble middelverdier over 10 minutter logget fra 1.12.2004 (og fram til 31. august 2008).

¹⁵ "järvi" er finsk og betyr innsjø, den tilsvarende samiske betegnelsen er "jav'ri". Järvi og jav'ri brukes tidvis om hverandre i stedsnavn i grenseområdene.

Merk at denne oversikten kun viser de norske/norskfinansierte stasjonene. De siste årene har Russland (Murmansk UGMS) bygd ut sitt målenettverk og gjør egne målinger i Zapoljarnij og Nikel. Resultatene er åpent tilgjengelige på internett, samt i årsrapporter fra Murmansk fylkes miljøverndepartement om miljøtilstanden i Murmansk oblast (på russisk).

Se ellers oversikt i referanselisten (kap. 6) for informasjon om Russlands og Finlands målestasjoner. Resultater og trender 2010 – 2015 er også behandlet i den oppdaterte fellesrapporten fra ekspertgruppen for luft (Pettersen m.fl., 2017).

Tabell 7: Oversikt over SO₂-målinger i grenseområdene med døgnprøvetakere (døgnmidde-lverdier) og med kontinuerlig registrerende monitorer (timemiddelverdier) i perioden 1974-2018. Merk det omfattende programmet under basisundersøkelsen 1988-1991.

Målestedsnavn	Prøvetakings-tid	'74-'77	'78-'85	'86	'87	'88	'89	'90	'91	'92	'93	'94	'95	'96	'97
Kirkenes	Døgn														
Svanvik	Døgn														
Svanvik	Time														
Holmfoss	Døgn														
Jarfjordbotn	Døgn														
Karpdalen	Døgn														
Karpdalen	Time														
Viksjøfjell	Time														
Noatun	Døgn														
Noatun	Time														
Kobbfoss	Døgn														
SOV 1	Time														
Maajärvi	Time														
SOV 3	Time														
Nikel	Time														

Målestedsnavn	Prøvetakings-tid	'98	'99	'00	'01	'02	'03	'04	'05	'06	'07	'08	'09	'10-'18
Kirkenes	Døgn													
Svanvik	Døgn													
Svanvik	Time													
Holmfoss	Døgn													
Jarfjordbotn	Døgn													
Karpdalen	Døgn													
Karpdalen	Time													
Viksjøfjell	Time													
Noatun	Døgn													
Noatun	Time													
Kobbfoss	Døgn													
SOV 1	Time													
Maajärvi	Time													
SOV 3	Time													
Nikel	Time													

Formålet med å vise de lange tidsseriene er å anskueliggjøre utviklingen i luftkvaliteten i grenseområdene de siste 45 år. Tabellene og figurene nedenfor er utarbeidet for å vise hvordan luftkvaliteten har vært og er i forhold til (nåværende) grenseverdier og vurderingstverskler i forurensningsforskriften og luftkvalitetskriteriene. Likeledes er middelverdier for sommersesong gjengitt for å vise forskjellene mellom sommer og vinter.

Utviklingen i de målte konsentrasjoner følger i stor grad utviklingen i utslipps. På 1970/80-tallet ble det sluppet ut over 400 000 tonn SO₂ årlig pga. bruk av svovelholdig malm fra Sibir, mens det nå slippes ut i underkant av 100 000 tonn SO₂ årlig, dvs. utsippene er redusert med mer enn 75%.

4.2.1 Timemiddelverdier - grenseverdi 350 µg/m³

Timemiddelverdier av SO₂ er målt siden 1989 på Svanvik¹⁶ og i 1988-1991 og fra 2008 i Karpalen. Som vist i Tabell 8 (Svanvik) og Tabell 9 (Karpalen) var miljøbelastningen og de målte verdiene høyere på 1970-, 80- og 90-tallet enn i dag. Det gjelder både for antall time-middelverdier over 350 µg/m³ (grenseverdi fra 1.1.2005), men også for høyeste timemiddelkonsentrasjon (tallverdi).

Tabell 8 viser meget høye målte konsentrasjoner av SO₂ rundt 1989-90. På den tiden vokste det fram et sterkt fokus på miljøvern og folkelig engasjement i grenseområdene. Mest kjent er folkeaksjonen Stopp Dødsskyene fra Sovjet som var aktiv 1990-1995¹⁷. Miljøødeleggelsene i grenseområdene var også bakgrunn for etableringen av Svanhovd Miljøsenter i 1991-92 (nå NIBIO Svanhovd). NRK lagde flere dokumentarprogrammer som viser utsippene og miljøødeleggelsene på den tiden¹⁸. Rundt 1990 var utsippene 250-300 000 tonn SO₂, dvs. tre ganger høyere enn i dag.

Fra 1992 er antall overskridelser på Svanvik under nåværende grenseverdier, gitt at det er tillatt med 24 overskridelser i året. Målingene av timemiddelverdier av SO₂ på Svanvik fra høsten 1988 til i dag har vist at mer enn halvparten av verdiene har vært under 1 µg/m³. Målingene for årene før 1989 viser til dels langt høyere års- og døgnmiddelkonsentrasjoner enn målinger for årene etter 1989. Det er derfor sannsynlig at timeverdier over 350 µg/m³ har forekommet hyppigere på 1970- og 1980-tallet enn i dag. Den aller høyeste timemiddelverdien målt på Svanvik noensinne av NILU (fra det ble installert monitor som måler timemiddel i 1989 til i dag) var 2458 µg/m³ i 1990.

¹⁶ Stasjonen på Svanvik lå opprinnelig i utkanten av jordet på daværende Statens forsøksgård. I forbindelse med at Svanhovd Miljøsenter ble bygget i 1991-93 (åpnet juni 1993) ble stasjonen flyttet om lag 100 m bort på jordet der den ligger i dag. Flyttingen ble gjort 18.-23. august 1991.

¹⁷ Se «Historien om Stopp Dødsskyene fra Sovjet», Thorbjørn Bjørkli (red.), Beallječohkka Innovation, 2016.

¹⁸ Se eks <https://tv.nrk.no/serie/studio-nord/FTRO30002091/25-04-1991> og <https://tv.nrk.no/program/FFMR00001493/miljøvern-i-grenseland> [besøkt 1.6.2019].

Tabell 8: Målestasjon for SO₂ fra Svanvik i perioden 1974-2018. Dataene logges som døgnmiddelverdier 1974-1988 og som timemiddelverdier fra 1989. 10-minuttersverdier er tilgjengelige fra 1.7.2001.

År	Års middel-verdi (µg/m ³)	Antall døgn > 125 µg/m ³	Høyeste døgnmiddel- konsentrasjon µg/m ³	Antall timer > 350 µg/m ³	Høyeste timemiddel- konsentrasjon µg/m ³	Antall 10-min > 500 µg/m ³	Høyeste 10-min konsentrasjon µg/m ³
1974	30,8	13	306				
1975	17,6	5	192				
1976	23,7	7	239				
1977	27,0	14	208				
1978	25,4	10	313				
1979	17,8	6	172				
1980	26,9	15	287				
1981	24,6	5	192				
1982	19,6	3	163				
1983	29,6	6	237				
1984	23,9	3	170				
1985	24,8	8	154				
1986	21,1	3	189				
1987	26,3	8	208				
1988	20,4	4	363				
1989	12,2	3	610	31	2305		
1990	13,9	3	514	38	2458		
1991	12,2	4	412	38	1578		
1992	7,5	4	244	18	671		
1993	9,3	2	172	16	795		
1994	8,1	4	215	7	1264		
1995	11,0	3	264	21	1906		
1996	7,7	2	138	8	744		
1997	10,6	5	187	23	732		
1998	14,5	6	168	14	2177		
1999	7,9	1	145	3	440		
2000	7,7	4	198	10	653		
2001	9,0	2	236	5	480		
2002	8,9	1	128	10	503	18	877
2003	5,9	1	127	5	595	9	1416
2004	5,7	0	95	2	416	2	638
2005	6,2	1	160	4	511	11	600
2006	6,2	0	101	2	504	4	933
2007	6,0	2	230	3	454	8	618
2008	8,0	1	238	10	787	24	1195
2009	6,8	0	98	3	585	14	1216
2010	8,0	1	156	6	433	13	620
2011	7,3	0	93	6	858	25	1099
2012	7,1	1	137	7	582	14	1026
2013	7,6	2	142	15	410	17	1064
2014	8,8	2	396	24	1417	82	3541
2015	7,5	0	90	8	434	19	1119
2016	5,7	1	155	4	578	11	1112
2017	5,6	1	332	11	582	27	1425
2018	2,8	0	47	1	480	6	761

Tabell 9: Målestasjonsteknikk for SO₂ fra Karpdalen i perioden 1986-1994, samt 2009-2018. Dataene logges som døgnmiddeleverdier 1986-1994 og som timemiddelleverdier 1988-1991 (under basisundersøkelsen), samt fra gjenåpningen 16.10.2008. 10-minuttersverdier er også tilgjengelige fra oktober 2008.

År	Årsmiddel-verdi (µg/m ³)	Antall døgn > 125 µg/m ³	Høyeste døgnmiddel-konsentrasjon µg/m ³	Antall timer > 350 µg/m ³	Høyeste timemiddel-konsentrasjon µg/m ³	Antall 10-min > 500 µg/m ³	Høyeste 10-min konsentrasjon µg/m ³
1986	30,8	2	266 ¹				
1987	28,3	14	600 ¹				
1988	23,1	5	266 ¹	36 ²	939 ²		
1989	32,7	7	432	89	968		
1990	22,9	7	523	90	940		
1991	35,3	5	338	34 ²	756 ²		
1992	17,0	6	208				
1993	6,8	0	89				
1994	8,8	0	117				
2009	13,8	3	263	12	561	20	695
2010	20,4	13	507	73	793	179	681
2011	19,8	7	449	51	854	159	1732
2012	16,6	6	206	15	573	36	848
2013	15,6	2	162	15	724	52	862
2014	13,2	3	207	15	616	40	871
2015	11,8	2	366	27	613	52	781
2016	17,9	7	429	43	600	85	721
2017	7,8	0	100	1	432	1	522
2018	8,4	1	146	4	406	4	701

¹⁾ Stasjonen lå opprinnelig på gården Ny Jord 1986 – 1988 og tok døgnprøver.

²⁾ Ny stasjon med monitor (timemiddel) ble åpnet 1. oktober 1988 der den nåværende stasjonen ligger. Observasjoner av timemidler opphørte 15. mars 1991.

Selv om utslippene og miljøbelastningen er lavere i dag enn for noen tiår siden forekommer det fortsatt episoder med meget høye konsentrasjoner både på Svanvik og i Karpdalen. Eksempelvis var det i 2014 24 timemiddelverdier over 350 µg/m³ på Svanvik og maksimalt timemiddel var 1418 µg/m³. Dette høye antallet skyldes hovedsakelig to episoder 28. mai og 20. oktober 2014 med hhv. to og 11 timeverdier over 350 µg/m³. 1418 µg/m³ målt 20. oktober 2014 er høyeste verdi målt de senere år.

24 overskridelser i 2014 var da det høyeste antall timeverdier over $350 \mu\text{g}/\text{m}^3$ som er registrert siden 1991 (Tabell 8).

I Karpdalen har det vært overskridelse av grenseverdi for timemiddel i 2010, 2011, 2015 og 2016. Spesielt utpeker vinteren 2010/11 seg med meget høye verdier og stort antall timemiddelverdier over $350 \mu\text{g}/\text{m}^3$, 73 i 2010, 51 i 2011. Høyeste målte timemiddelverdi i Karpdalen siden målingene ble gjenopptatt høsten 2008 er $854 \mu\text{g}/\text{m}^3$ (målt 13. februar 2011 kl. 8-9). Merk også at antallet timemidler over $350 \mu\text{g}/\text{m}^3$ var over dagens grense i alle årene 1988-1991, selv med begrenset måleperiode i 1988 (tre mnd) og 1991 (2,5 mnd).

For å sette de norske målingene i perspektiv kan det nevnes at de russiske målingene som Murmansk UGMS gjør i Nikel viser maksimale verdier over $4000 - 7000 \mu\text{g}/\text{m}^3$ (se referanseliste kap. 6.1 for nettadresse).

4.2.2 DøgnmidDELVERDIER – grenseverdi $125 \mu\text{g}/\text{m}^3$

Den norske grenseverdien for døgnmiddel av SO_2 på $125 \mu\text{g}/\text{m}^3$ tillates overskredet tre ganger i året og ble gjort gjeldende fra 1.1.2005. Tabell 8 viser at antall overskridelser av $125 \mu\text{g}/\text{m}^3$ på Svanvik har variert mye fra år til år, men at det generelt har vært færre overskridelser etter 2000 enn tidligere. I løpet av de 18 siste årene har det ikke vært mer enn tre over-skridelser av $125 \mu\text{g}/\text{m}^3$ pr år, dvs. siste år med overskridelse av nåværende grenseverdi var år 2000 med fire overskridelser. Gjennomsnittet de 10 siste årene er 0,8 overskridelser pr år (0,24 %), lavest i 2009, 2011, 2015 og 2018 med ingen overskridelser.

I Karpdalen har det vært overskridelse av grenseverdi for døgnmiddel i 2010, 2011, 2012 og 2016. Igjen utpeker vinteren 2010/11 seg med meget høye verdier og stort antall døgnmiddel-verdier over $125 \mu\text{g}/\text{m}^3$, 13 i 2010, 7 i 2011. Merk også at antallet døgnmidler over $125 \mu\text{g}/\text{m}^3$ var over dagens grense i alle årene 1987-1992. Generelt måles de høyeste konsentrasjonene i Karpdalen om vinteren pga. hyppigst forekommende vindretning fra sør.

Ved de andre stasjonene i måleprogrammet som nå er stengt (eksempelvis Viksjøfjell, Maajärvi og Nikel, ikke vist) var det atskillig flere overskridelser av $125 \mu\text{g}/\text{m}^3$. Dette gjaldt særlig på de russiske stasjonene, hvor det hyppig forekom døgnmidDELVERDIER høyere enn $125 \mu\text{g}/\text{m}^3$, typisk i 10-20 % av tiden. Det kan også nevnes at høyeste målte døgnmidDELVERDI i Nikel i 2008 (1. januar-31. august) var $1092 \mu\text{g}/\text{m}^3$ (12. juni). Under sommerekspedisjonen i 2007 var maksimal målt døgnmidDELVERDI på $2390 \mu\text{g}/\text{m}^3$ (i juli). Da Viksjøfjell var operativ med kontinuerlige målinger (monitor) var det overskridelser i mellom 2,5 % (1993) og 8,8 % (1989) av målingene.

4.2.3 DøgnmidDELVERDIER - øvre og nedre vurderingstverskel

Luftkvalitet sammenlignes også mot øvre og nedre vurderingstverskel gitt i forurensnings-forskriften og luftkvalitetsdirektivet. Vurderingstverskelen definerer bl.a. krav om målinger og tiltaksutredninger. For SO_2 er øvre vurderingstverskel $75 \mu\text{g}/\text{m}^3$ og nedre vurderingstverskel $50 \mu\text{g}/\text{m}^3$ gitt som døgnmidler med tre tillatte overskridelser pr. kalenderår. Tverskelverdiene regnes som overskredet hvis konsentrasjonene har vært over terskelen minimum tre år av de siste fem.

Antallet overskridelser av visse terskelverdier gitt som døgnmiddel er vist i Tabell 10. 2018 var første år siden målingene begynte i 1974 at det ikke var døgnmiddelverdi over $50 \mu\text{g}/\text{m}^3$. Ellers har døgnverdier over $75 \mu\text{g}/\text{m}^3$ forekommet på Svanvik og i Karpalen i alle år med målinger. På Svanvik var det som sagt ingen døgn over $50 \mu\text{g}/\text{m}^3$ (og derved ingen over de andre tersklene også), de fire foregående årene var antall døgn over $75 \mu\text{g}/\text{m}^3$ mellom tre og seks, mens antall døgn over $50 \mu\text{g}/\text{m}^3$ er mellom fem og 18. I Karpalen var det i 2018 fem døgn over $75 \mu\text{g}/\text{m}^3$ (mellan fire og 20 siste fem år) og 15 døgn over $50 \mu\text{g}/\text{m}^3$ (mellan 11 og 30 siste fem år). Vurderingstersklene er derved overskredet både på Svanvik og i Karpalen de siste fem årene sett under ett.

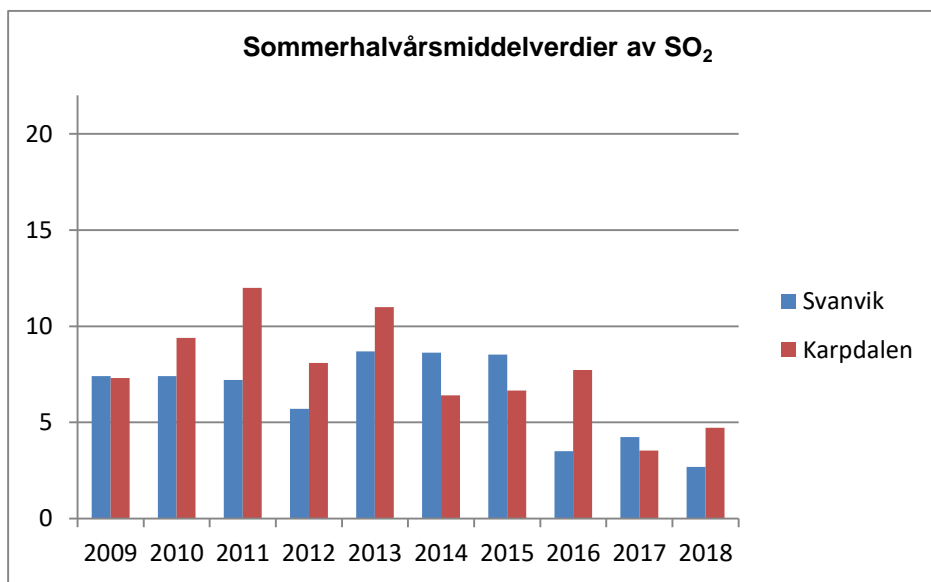
Tabell 10: Antallet overskridelser av visse terskelverdier, norsk grenseverdi ($125 \mu\text{g}/\text{m}^3$), tidligere Nasjonalt mål ($90 \mu\text{g}/\text{m}^3$), samt øvre og nedre vurderingsterskel ($75 \mu\text{g}/\text{m}^3$ og $50 \mu\text{g}/\text{m}^3$), alt gitt som døgnmiddel for Svanvik og Karpalen de siste fem år.

Stasjon	År	Antall døgn $>125 \mu\text{g}/\text{m}^3$	Antall døgn $>90 \mu\text{g}/\text{m}^3$	Antall døgn $>75 \mu\text{g}/\text{m}^3$	Antall døgn $>50 \mu\text{g}/\text{m}^3$
Svanvik	2014	2	4	4	18
	2015	0	0	6	13
	2016	1	2	4	7
	2017	1	3	3	5
	2018	0	0	0	0
Karpalen	2014	3	7	11	24
	2015	2	5	7	20
	2016	7	14	20	30
	2017	0	2	4	11
	2018	1	5	5	15

4.2.4 Sesongmidler sommer

Grenseverdien for beskyttelse av økosystem er $20 \mu\text{g}/\text{m}^3$ både for kalenderår og vinterhalvår (oktober-mars), gjeldende fra 4. oktober 2002. Halvårsmiddelverdier for sommer er vist i Figur 11, halvårsmiddelverdier for vinter og årsmidler er vist i årsrapporten.

Det er ingen grenseverdi for sommersesongen, men halvårsmidler for Svanvik og Karpalen vises for å illustrere hvordan belastningen er mindre sommerstid enn vinterstid. Dette skyldes først og fremst at det er kraftigere vind og bedre vertikal blanding og derved bedre spredning og fortynning av utslippene/røykfanen sommerstid.



Figur 11: Middelverdier av SO_2 på Svanvik og i Karpalen for sommerhalvårene 2009-2018.

Det er ingen grenseverdi for beskyttelse av økosystem for sommerhalvåret. Enhet: $\mu\text{g}/\text{m}^3$.

4.2.5 Årsmiddelverdi

Årsmiddelverdien på Svanvik var $2,8 \mu\text{g}/\text{m}^3$ i 2018, dette er laveste verdi som er registrert siden målingene tok til i 1974. Ellers har årsmiddel på Svanvik de siste 20 årene ligget mellom $5,6 \mu\text{g}/\text{m}^3$ (2017) og $9,0 \mu\text{g}/\text{m}^3$ (2001). I perioden før 1989 ble verdien på $20 \mu\text{g}/\text{m}^3$ overskredet de fleste årene på Svanvik, mens årsmiddelverdiene ligger under $20 \mu\text{g}/\text{m}^3$ fra 1989¹⁹. Maksimal årsmiddelverdi i Karpalen siden gjenåpningen i 2008 er $20,4 \mu\text{g}/\text{m}^3$ i 2010. Grenseverdien for årsmiddel er derved overholdt alle årene siden den gang²⁰.

Historisk sett ble verdien på $20 \mu\text{g}/\text{m}^3$ som årsmiddel overskredet i alle år hvor det ble utført målinger, dette gjaldt både norske (Viksøyfjell 1988-1995) og russiske stasjoner (Nikel, SOV1, SOV2 og SOV3, se kart i Figur 3). Særlig store overskridelser var det på de russiske stasjonene, da spesielt Nickel (operativ til 31. august 2008). Målingene utført av Murmansk UGMS siden 2010 viser typiske årsmiddelkonsentrasjoner i Nickel mellom $69 \mu\text{g}/\text{m}^3$ (2009) og $110 \mu\text{g}/\text{m}^3$ (2011) og mellom $78 \mu\text{g}/\text{m}^3$ (2015) og $97 \mu\text{g}/\text{m}^3$ (2013) i Zapoljarnij, se oppdatert fellesrapport fra ekspertgruppen for luft (Pettersen m.fl., 2017).

Merk også at konsentrasjonene som måles med passive prøvetakere på Viksøyfjell nå, $10-30 \mu\text{g}/\text{m}^3$ som langtidsmiddel er like høye som konsentrasjonene som ble målt på 1990-tallet.

¹⁹ Man kan strengt tatt ikke snakke om overskridelse av grenseverdien på Svanvik før oktober 2002 siden grenseverdien da ikke hadde trådt i kraft. Dog sammenligner vi alle årsmidler med $20 \mu\text{g}/\text{m}^3$ siden dette er gjeldende grense.

²⁰ Årsmiddelverdi i Karpalen i 2010 var $20,4 \mu\text{g}/\text{m}^3$. Grenseverdien er $20 \mu\text{g}/\text{m}^3$, ikke $20,0 \mu\text{g}/\text{m}^3$ og $20,4$ avrundes nedover til 20 og medfører derved en overholdelse av grenseverdien.

SO₂-målingene gjenspeiler et betydelig lavere SO₂-utslipp i Nikel de 25 siste årene enn på 1970- og 1980-tallet. Som tidligere nevnt er samlede utslipp fra Pechenga-Nikel kombinatet (Nikel og Zapoljarnij) nå i underkant av 100 000 tonn SO₂ pr. år. Målet er å komme ned til 79 900 tonn SO₂ pr. år (opplysninger gitt under møter i norsk-russisk ekspertgruppe).

4.3 Uorganiske komponenter i nedbør

Bakgrunn

Prøvetaking for målinger av uorganiske komponenter²¹ i nedbør foretas ved en stasjon, Karpbukt, for stasjonsplassering se Figur 3 side 7.

Uorganiske komponenter som måles i Karpbukt er stoffer som mer eller mindre naturlig finnes i nedbør. Men det er en viss andel antropogent (menneskeskapt) bidrag, slik at dette også regnes som forurensning. Merk at konsentrasjonene av uorganiske komponenter er på mg-nivå (milligram, 1/1 000 gram), mens tungmetaller (kap. 5) er på µg-nivå (mikrogram, 1/1 000 000 gram). pH i nedbør i Karpbukt er rundt og noe under 5. Ledningsevne er et mål på et stoffs evne til å lede elektrisitet og gir samtidig et mål for vannets renhet, ledningsevnen øker jo mer salter og karbondioksid som er løst i vannet. Nivået (konsentrasjonen) av sulfat er tilnærmet uforandret fra denne rapporteringsperioden (2018) sammenlignet med forrige (2017), og høyere enn norske bakgrunnsstasjoner (Aas m.fl., 2019). Ellers er det endel Na og Cl i nedbøren, også kalt bordsalt når det kombineres. Dette skyldes selvfølgelig at Karpbukt ligger ved sjøen hvor det forekommer aerosoler og sjøsprøyt som inneholder salt. For utdypende sammenligning med måleresultater fra andre stasjoner i Norge og historikk henvises det til Bohlin-Nizzetto m.fl., 2019 og Aas m.fl., 2019.

Historikk

På Svanvik ble det gjort nedbørmålinger av uorganiske komponenter fra høsten 1988 t.o.m. 2003. I 1990 ble det opprettet en stasjon i Karpdalen som ble nedlagt 1.4.1998. Som erstatning for Karpdalen ble det opprettet ny stasjon i Karpbukt 15.9.1998. Karpbukt ligger ved Jarfjorden der Karpdalen munner ut. Det er ca. 4 km mellom de to stasjonsplasseringene.

Målemetode

Prøvetaking skjer ved hjelp av NILUs standard prøvetaker i plast, flasker med trakt om sommeren, åpen prøvetaker om vinteren (se Figur 6). Kanten av prøvetakeren er plassert om lag 2 m over bakken. Prøvene av nedbør tas vanligvis over en uke med skifte hver mandag. Dessuten skiftes det på første dato i hver måned hvis denne ikke faller på en mandag.

I tillegg til utvasking med nedbør må en også regne med at noe kommer ned i prøvetakerne ved tørravsetning, dvs. at støvpartikler daler ned i trakten/flasken.

Detaljerte resultater 2018

²¹ Igjen; som uorganiske komponenter regnes SO₄²⁻, NH₄⁺, NO₃⁻, Na⁺, Mg²⁺, Cl⁻, Ca²⁺, K⁺.

Detaljerte månedsmiddelverdier og årsmiddel av nedbørmengde, ledningsevne, pH og uorganiske komponenter i nedbør i Karpbukt i 2018 er vist i Tabell 11.

Tabell 11: Månedsmiddelverdier og årsmiddel av nedbørmengde, ledningsevne, pH og uorganiske komponenter SO_4^{2-} , NH_4^+ , NO_3^- , Na^+ , Mg^{2+} , Cl^- , Ca^{2+} , K^+ i nedbør i Karpbukt i 2018.

Måned	Nedbør-mengde mm	Lednings-evne $\mu S/cm$	pH	SO_4^{2-} mg S/l	SO_4^{2-} _corr mg S/l	NH_4^+ mg N/l	NO_3^- mg N/l	Na^+ mg/l	Mg^{2+} mg/l	Cl^- mg/l	Ca^{2+} mg/l	K^+ mg/l
Januar	31	18,6	5,1	0,3	0,1	0,1	0,2	1,9	0,2	3,6	0,2	0,1
Februar	25	17,5	5,3	0,3	0,1	0,2	0,1	1,9	0,2	3,4	0,2	0,1
Mars	66	21,2	5,6	0,4	0,2	0,4	0,1	2,1	0,3	4,0	0,1	0,1
April	25	17,9	4,9	0,4	0,3	0,2	0,1	1,5	0,2	2,5	0,1	0,1
Mai	21	16,2	5,3	0,5	0,4	0,3	0,2	1,2	0,2	1,9	0,4	0,2
Juni	61	16,6	5,2	0,5	0,5	0,8	0,1	0,9	0,1	1,2	0,1	0,3
Juli	76	14,4	4,6	0,5	0,5	0,0	0,1	0,4	0,1	0,6	0,2	0,1
August	98	12,4	4,7	0,4	0,4	0,1	0,1	0,3	0,1	0,4	0,1	0,1
September	56	10,6	4,9	0,3	0,3	0,1	0,1	0,4	0,1	0,7	0,2	0,2
Oktober	45	20,5	5,0	0,4	0,3	0,1	0,1	2,0	0,3	3,9	0,2	0,1
November	36	23,2	4,9	0,4	0,2	0,0	0,1	2,5	0,3	4,5	0,2	0,1
Desember	28	8,4	5,0	0,1	0,1	0,0	0,1	0,4	0,1	0,7	0,1	0,1
2018	567	16,0	4,9	0,4	0,3	0,2	0,1	1,1	0,1	2,0	0,2	0,1

Avsetning og trender

Det er også beregnet avsetning med nedbør av de forskjellige elementene både for sommerhalvåret 2018 og vinterhalvåret 2017/18. Avsetningstallene (enhet: mg/m^2) regnes ut ved at konsentrasjonen i nedbøren (enhet: $\mu g/liter$ eller $mg/liter$ ²²) multipliseres med nedbøren (1 mm nedbør tilsvarer 1 liter/ m^2) for hver uke og summeres over sommerhalvåret 2018 og vinterhalvåret 2017/18. Resultatene er vist i Tabell 12 og

Tabell 13 sammen med avsetningstall for tidligere år.

²² 1 000 $\mu g = 1 mg$, likeledes 1 000 000 $\mu g = 1 000 mg = 1 g$.

Tabell 12: Avsetning av uorganiske komponenter med nedbør i sommerhalvårene fra 1989 til 2018. H⁺ angis i µekv/m², konsentrasjoner av ulike forurende stoffer sammenveies ofte til syre-ekvivalenter ved hjelp av stoffenes forurende effekt, SjSa korr betegner sulfat korrigert for sjøsalt, avsetning er gitt i mg/m².

Stasjon	Sommer- halvår	H ⁺ µekv/ m ²	Total SO ₄ ²⁻ -S	SjSa korr SO ₄ ²⁻ -S	NH ₄ ⁺ -N	NO ₃ ⁻ - N	Na ⁺	Mg ²⁺	Cl ⁻	Ca ²⁺	K ⁺
Karpdalen	1991		363		54	36	440	62	730	31	38
	1992		410		132	61	440	54	760	73	83
	1993		333		64	48	759	85	1233	65	58
	1994		218	198	56	65	247	32	417	32	25
	1995	7568	177	167	47	34	124	23	192	40	12
	1996	6009	170	143	46	32	317	40	498	50	34
	1997	5320	114	106	23	18	105	15	169	21	11
Karpbukt	1999	5890	152	134	57	41	219	27	384	30	43
	2000	5993	134	118	36	27	190	26	354	26	17
	2001	6210	203	175	57	38	333	44	592	52	35
	2002	4044	150	118	41	28	382	55	684	76	46
	2003	7512	129	101	48	33	336	47	575	52	35
	2004	5808	182	158	25	35	286	41	460	61	42
	2005	5689	219	191	86	40	378	43	555	51	53
	2006	6427	162	149	34	44	159	23	274	29	24
	2007	3878	259	215	75	39	533	74	909	71	49
	2008	4597	155	158	29	33	399	57	605	48	31
	2009	5423	213	182	33	48	369	46	689	38	51
	2010	5822	154	134	32	29	234	29	268	37	27
	2011	6567	183	161	63	39	263	39	440	43	46
	2012	4873	105	79	36	23	302	41	532	38	41
	2013	2871	139	103	44	23	418	54	713	62	37
	2014	6029	207	149	44	36	534	76	916	68	76
	2015	4570	127	102	30	24	305	41	539	52	36
	2016	6266	153	123	32	29	363	50	642	39	39
	2017	6833	174	118	41	26	647	77	1128	61	54
	2018	4715	155	155	74	37	193	27	299	56	48
Svanvik	1989		315		40	48	261	48	405	74	22
	1990		145		23	39	212	31	416	30	25
	1991		160		37	21	76	15	160	<25	<25
	1992		210		61	36	110	16	180	<34	<34
	1993		198		72	33	173	30	286	44	22
	1994		213	202	119	49	107	28	162	40	42
	1995	6712	181	176	50	27	63	19	99	31	25
	1996	4649	120	112	38	22	93	23	154	43	13
	1997	3312	102	98	51	20	48	10	77	24	14
	1998	5170	137	126	50	23	131	25	248	28	16
	1999	4793	117	110	46	35	83	18	150	25	24
	2000	7337	189	181	74	43	90	17	146	31	26
	2001	3625	205	198	75	32	83	21	143	43	26
	2002	3405	164	153	90	28	129	23	192	44	34
	2003	2943	109	98	58	30	124	21	204	34	25

Tabell 13: Avsetning av uorganiske komponenter med nedbør i vinterhalvårene fra 1988/89 til 2017/18. H⁺ angis i µekv/m², konsentrasjoner av ulike forsurende stoffer sammenveies ofte til syre-ekvivalenter ved hjelp av stoffenes forsurende effekt, SjSa korrig betegner sulfat korrigert for sjøsalt, avsetning er gitt i mg/m².

Stasjon	Vinter-halvår	H ⁺ µekv/m ²	Total SO ₄ ²⁻ -S	SjSa korrig SO ₄ ²⁻ -S	NH ₄ ⁺ -N	NO ₃ -N	Na ⁺	Mg ²⁺	Cl ⁻	Ca ²⁺	K ⁺
Karpdalen	1991/92	2675	173	59	33	36	530	64	990	49	56
	1992/93		143		31	34	814	95	1370	58	81
	1993/94		96		25	40	443	53	814	30	42
	1994/95		88		18	37	321	42	578	26	25
	1995/96		148		29	35	940	120	1593	106	53
	1996/97		136		24	28	578	71	1184	35	35
	1997/98		120		19	25	535	67	968	34	33
Karibukt	1998/99	3810	75	53	13	22	268	35	495	17	14
	1999/00	5041	138	81	19	31	683	81	1231	40	29
	2000/01	4401	103	65	10	23	457	55	850	24	20
	2001/02	3600	131	65	8	19	783	94	1411	36	29
	2002/03	4430	219	79	28	18	1682	208	3276	79	67
	2003/04	3232	124	58	19	24	793	102	1393	45	29
	2004/05	2411	112	42	6	17	876	102	1473	59	32
	2005/06	3944	162	78	43	37	998	121	1867	49	43
	2006/07	2598	87	45	16	22	501	70	865	31	22
	2007/08	3505	115	58	26	32	673	87	1259	38	29
	2008/09	1841	103	49	28	18	641	84	1040	46	33
	2009/10	2159	80	48	10	18	375	47	807	19	17
	2010/11	2815	94	39	11	17	801	82	1505	29	32
	2011/12	2298	68	44	22	19	290	38	523	21	17
	2012/13	2217	109	46	52	22	745	90	1345	38	27
	2013/14	2992	150	61	33	28	1072	127	1813	56	48
	2014/15	2281	113	66	39	17	555	70	975	45	37
	2015/16	2855	100	60	36	23	477	63	870	33	32
	2016/17	7423	120	41	57	18	937	111	1683	43	43
	2017/18	3947	77	44	66	24	399	48	742	41	31
Svanvik	1988/89	2168	56	39	16	19	294	37	504	33	14
	1989/90		67		13	26	156	26	360	17	12
	1990/91		39		11	18	113	16	205	9	9
	1991/92		87		36	35	210	27	410	17	17
	1992/93		49		23	19	208	26	374	19	11
	1993/94		50		24	30	133	17	256	14	7
	1994/95		46		22	21	109	15	195	12	9
	1995/96		79		29	15	283	39	508	20	15
	1996/97		66		38	36	212	39	438	39	15
	1997/98		61		20	22	76	12	144	31	24
	1998/99		54		41	24	216	26	406	10	8
	1999/00		74		37	21	157	20	275	11	11
	2000/01		57		44	17	298	37	533	21	18
	2001/02		66		41	12	604	71	1106	37	29
	2002/03		77		29	12	218	31	350	22	14
	2003/04		34		15	12					

5 Måleresultater tungmetaller i svevestøv og nedbør

5.1 Tungmetaller i svevestøv

Målemetode

I dette prosjektet er det nå to prøvetakere for svevestøv (Kleinfiltergerät), en på Svanvik som ble satt opp i oktober 2008 og en i Karpdalen som ble satt opp høsten 2011. På Svanvik benyttes en sekvensiell prøvetaker som bytter filtre automatisk hver uke. Prøvetakeren i Karpdalen er manuell, dvs. at filtrene må byttes av lokal stasjonholder. Med svevestøv menes PM₁₀, dvs. partikler med aerodynamisk diameter mindre enn 10 µm ^{fotnote 23}. Prøvetakingen foregår ved at luft suges inn gjennom et filter der støv avsettes. Etterpå sendes filtrene til NILUs laboratorier for analyse av 10 metaller (Pb, Cd, Cu, Zn, Cr, Ni, Co, V, As og Al). Basert på målt luftvolum gjennom instrumentet og mengden (masse) tungmetaller avsatt kan middelkonsentrasjonene i eksponeringsperioden (som regel en uke) regnes ut.

T.o.m. 2015 gjorde NILU målinger av masse av svevestøv. Siden måleresultatene viste lave verdier, dvs. langt under gjeldende grenseverdier og akseptkriterier, besluttet NILU i 2016 å avslutte ekstra veiling av filtre for bestemmelse av masse støv på Svanvik og i Karpdalen (se tidligere rapporter fra prosjektet).

Airinntaket på instrumentet er tilpasset PM₁₀ siden lovverket definerer tungmetaller som andel av PM₁₀-fraksjonen. NILU måler ikke PM_{2.5} i grenseområdene. På russisk side, nærmere bestemt på stasjonene i Nikel og Zapoljarnij, gjør Murmansk UGMS prøvetaking og analyse av tungmetaller. Merk dog at i Russland måles det totalstøv, dvs. også partikler større enn 10 µm, det er ingen størrelsesfraksjonering (Pettersen m.fl., 2017). Ulike målemetoder ble også påpekt i forbindelse med Riksrevisjonens gjennomgang av norsk-russisk miljøsamarbeid²⁴.

Ni (nikkel), Cu (kobber), Co (kobolt) og As (arsen) regnes som spormetaller fra nikkelverkene på russisk side og det er disse fire elementene som vektlegges i rapporteringen. Detaljerte data for alle 10 elementene som analyseres (Ni, Cu, Co, As, samt Pb, Cd, Zn, Cr, V, Al) er også vist.

Hyppigst forekommende vindretning vinterstid er fra sør, dette bringer utsippene nordover mot Karpdalen og Jarfjordfjellet. Karpdalen viser derfor vanligvis noe høyere konsentrasjoner enn Svanvik.

Under basisundersøkelsen i 1988-1991 ble det også målt tungmetaller i svevestøv på syv forskjellige stasjoner i grenseområdene (Noatun, Kobbfoss, Svanvik, Holmfoss, Kirkenes, Karpdalen og Viksjøfjell). Maksimumsverdiene for 1990-91 på de forskjellige stasjonene lå fra 27,70 til 102,3 ng/m³ for Ni, fra 9,50 til 88,00 ng/m³ for As, fra 53,20 til 119,8 ng/m³ for Cu og 2,47 til 4,05 ng/m³ for Co (Sivertsen m.fl., 1991). Sammenlignet med målingene fra januar 1990 til mars 1991 er de målte verdiene av de fire tungmetallene Ni, As, Cu og Co i dag i samme størrelsesorden som for 30 år siden.

²³ µm betegner mikrometer, dvs. 1/1 000 000 meter ("million'te dels") meter, eller 1/1000 millimeter.

²⁴ se <https://www.riksrevisjonen.no/rapporter-mappe/no-2018-2019/undersokelse-av-norsk-russisk-miljøsamarbeid/> [besøkt 2. mai 2019].

Merk at utslippene av svoveldioksid den gang var rundt 250 000 tonn pr år fra Zapoljarnij og Nikel, rundt 2,5 ganger høyere enn i dag. Utslippene av tungmetaller var dårlig kjent. Dog er det ikke samsvar mellom offisielle russiske utslipstall og norske/finske måleprogrammer ang. økning i tungmetaller rundt 2004.

Måleresultatene som presenteres her viser forhøyede verdier av tungmetaller i svevestøv, dvs. verdiene ligger høyere enn bakgrunnskonsentrasjonene som observeres ellers i Norge. Verdiene tilsier også at det faglig sett var fornuftig å starte svevestøvmålinger på Svanvik høsten 2008 og i Karpalen høsten 2011.

Det er noen perioder uten prøvetaking og/eller gyldige verdier. Den vanligste årsaken til at resultater blir forkastet er at luftvolumet gjennom instrumentet er for lite. Dette kan igjen skyldes både problemer med blindfilteret²⁵ i instrumentet, samt at det tidvis er problemer med strømbrudd. Ved strømbrudd stopper filterinstrumentet, og det starter ikke automatisk når strømmen kommer tilbake slik tilfellet er for monitorene. Vinterstid kan det også være problemer med at luftinntaket til instrumentet går tett av is.

²⁵ Blindfilter er et filter som ikke eksponeres, men som ellers behandles på samme måte som de eksponerte filtrene. Blindfilter analyseres også og dette er en kvalitetssjekk for å finne ut om prøvene har blitt forurenset for eksempel under transport eller på annen måte.

Tabell 14: Middelverdier av elementer i luft på Svanvik i 2018 (delt pr halvår), samt årsmidde og middel for sommersesongen 2018. Enhet: ng/m³.

Fra dato	Til dato	Ni ng/m ³	Cu ng/m ³	Co ng/m ³	As ng/m ³
01.01.2018	08.01.2018	4,2	3,8	0,2	0,4
08.01.2018	15.01.2018	21,1	16,8	0,9	6,1
15.01.2018	22.01.2018	15,0	11,7	0,4	0,4
22.01.2018	29.01.2018	16,8	13,6	0,5	1,4
29.01.2018	05.02.2018	15,1	18,5	0,6	3,9
06.02.2018	12.02.2018	0,8	0,9	0,1	0,3
12.02.2018	19.02.2018	1,1	0,9	0,0	0,2
19.02.2018	26.02.2018	29,8	18,8	1,1	4,4
26.02.2018	05.03.2018	9,1	6,4	0,3	1,4
05.03.2018	12.03.2018	25,7	15,3	1,0	5,9
12.03.2018	19.03.2018	2,4	1,6	0,1	0,4
19.03.2018	26.03.2018	1,8	1,4	0,1	0,5
26.03.2018	02.04.2018	8,4	6,0	0,3	0,9
02.04.2018	09.04.2018	12,6	9,3	0,5	0,8
09.04.2018	16.04.2018	3,0	2,4	0,1	0,2
16.04.2018	23.04.2018	18,2	13,6	0,7	1,3
23.04.2018	30.04.2018	14,4	9,6	0,6	1,0
30.04.2018	07.05.2018	14,8	11,4	0,6	3,2
07.05.2018	14.05.2018	13,1	10,4	0,6	2,4
14.05.2018	21.05.2018	14,6	10,8	0,6	2,3
21.05.2018	28.05.2018	0,4	0,6	0,1	0,1
28.05.2018	04.06.2018	1,7	1,2	0,1	0,2
04.06.2018	11.06.2018	8,4	5,2	0,3	0,7
11.06.2018	18.06.2018	8,4	6,1	0,3	0,9
18.06.2018	25.06.2018	11,9	9,6	0,5	1,2
25.06.2018	02.07.2018	0,3	0,2	0,0	0,1

Tabell 14 forts.: Middelverdier av elementer i luft (Ni, Cu, Co, As) på Svanvik i 2018 (delt pr halvår), samt årsmiddel og middel for sommersesongen 2018. Enhet: ng/m³.

Fra dato	Til dato	Ni ng/m ³	Cu ng/m ³	Co ng/m ³	As ng/m ³
02.07.2018	09.07.2018	8,5	6,8	0,4	0,8
09.07.2018	16.07.2018	21,2	15,9	0,9	4,6
16.07.2018	23.07.2018	3,3	2,7	0,2	0,6
23.07.2018	30.07.2018	1,2	1,3	0,1	0,4
30.07.2018	31.07.2018	0,7	1,3	0,1	0,2
13.08.2018	31.08.2018	0,9	0,8	0,0	0,4
20.08.2018	27.08.2018	0,4	0,4	0,0	0,1
27.08.2018	03.09.2018	0,8	1,4	0,0	0,2
03.09.2018	10.09.2018	2,5	2,4	0,1	0,5
10.09.2018	17.09.2018	3,0	2,9	0,1	0,3
17.09.2018	24.09.2018	2,9	3,0	0,1	0,4
24.09.2018	01.10.2018	3,1	3,6	0,1	0,4
01.10.2018	08.10.2018	0,1	0,2	0,0	0,0
08.10.2018	15.10.2018	6,1	4,1	0,2	0,8
15.10.2018	22.10.2018	0,03 ¹⁾	0,1	0,0	0,0
22.10.2018	29.10.2018	1,5	1,4	0,1	0,2
29.10.2018	05.11.2018	0,1	0,1	0,0	0,0
05.11.2018	12.11.2018	7,4	8,0	0,3	1,9
12.11.2018	19.11.2018	0,3	1,2	0,0	0,1
06.12.2018	13.12.1918	0,9	0,9	0,1	0,1
13.12.2020	20.12.1918	5,4	5,2	0,2	0,5
20.12.2018	27.12.1918	1,8	2,7	0,1	0,1
27.12.2018	03.01.1919	0,4	0,5	0,0	0,1
Vektet middel²					
1.1.2018	1.1.2019	7,2	5,7	0,3	1,1
1.4.2018	1.10.2018	7,0	5,5	0,3	0,9

¹⁾ Målingen er utenfor akkreditert område.

²⁾ Ved utregning av vektet middel er prøver under deteksjonsgrensen satt til deteksjonsgrensen.

Tabell 15: Middelverdier av elementer i luft (Ni, Cu, Co, As) i Karpdalen i 2018 (delt pr halvår), samt årsmiddel og middel for sommersesongen 2018. Enhet: ng/m³.

Fra dato	Til dato	Ni ng/m ³	Cu ng/m ³	Co ng/m ³	As ng/m ³
03.01.2018	08.01.2018	12,62	8,77	0,49	0,27
08.01.2018	15.01.2018	3,20	5,16	0,17	2,58
15.01.2018	22.01.2018	24,77	23,20	0,87	4,00
22.01.2018	29.01.2018	17,95	20,40	0,52	5,94
29.01.2018	05.02.2018	14,89	20,40	0,60	12,02
05.02.2018	12.02.2018	11,30	9,83	0,47	3,66
12.02.2018	19.02.2018	10,13	8,38	0,36	3,62
19.02.2018	26.02.2018	14,15	10,48	0,51	7,54
26.02.2018	05.03.2018	3,63	2,43	0,11	0,91
05.03.2018	12.03.2018	33,04	23,30	1,18	6,36
08.04.2018	09.04.2018	57,45	40,01	2,24	9,61
09.04.2018	16.04.2018	3,85	3,56	0,03	0,09
16.04.2018	23.04.2018	11,09	5,44	0,28	0,44
30.04.2018	07.05.2018	9,64	6,63	0,37	1,58
07.05.2018	12.05.2018	14,86	10,95	0,59	3,29
14.05.2018	21.05.2018	1,64	1,36	0,08	0,25
21.05.2018	28.05.2018	1,92	1,22	0,11	0,20
28.05.2018	04.06.2018	1,66	1,53	0,08	0,40
04.06.2018	11.06.2018	0,55 ¹⁾	0,23	0,02	0,15
11.06.2018	18.06.2018	6,60	4,58	0,31	0,83
18.06.2018	25.06.2018	6,85	5,27	0,33	1,12

Tabell 15 forts.: Middelverdier av elementer i luft (Ni, Cu, Co, As) i Karpdalen i 2018 (delt pr halvår), samt årsmiddel og middel for sommersesongen 2018. Enhet: ng/m³.

Fra dato	Til dato	Ni ng/m ³	Cu ng/m ³	Co ng/m ³	As ng/m ³
09.07.2018	16.07.2018	4,08	3,19	0,26	0,53
13.08.2018	20.08.2018	11,31	9,38	0,50	4,98
20.08.2018	27.08.2018	9,34	8,95	0,47	2,91
27.08.2018	03.09.2018	17,34	15,19	0,82	2,55
03.09.2018	10.09.2018	3,76	3,00	0,16	0,69
10.09.2018	17.09.2018	9,24	7,59	0,41	1,64
17.09.2018	24.09.2018	5,00	5,50	0,20	0,62
24.09.2018	01.10.2018	7,70	6,07	0,29	0,86
01.10.2018	08.10.2018	1,36	1,09	0,06	0,19
08.10.2018	15.10.2018	3,98	3,59	0,16	0,52
22.10.2018	29.10.2018	0,40	0,57	0,02	0,16
29.10.2018	05.11.2018	14,48	10,29	0,57	1,47
05.11.2018	12.11.2018	9,45	9,29	0,35	2,22
12.11.2018	19.11.2018	5,83	4,42	0,23	0,60
19.11.2018	26.11.2018	0,12	0,13	0,02	0,02
26.11.2018	03.12.2018	6,19	5,87	0,24	1,45
03.12.2018	10.12.2018	20,68	17,34	0,77	5,10
10.12.2018	17.12.2018	0,72	1,04	0,02	0,13
17.12.2018	24.12.2018	3,93	4,04	0,13	0,22
Vektet middel²					
1.1.2018	1.1.2019	8,8	7,6	0,3	2,2
1.4.2018	1.10.2018	7,2	5,7	0,3	1,3

¹⁾ Målingen er utenfor akkreditert område.

²⁾ Ved utregning av vektet middel er prøver under deteksjonsgrensen satt til deteksjonsgrensen.

Tabell 16: Middelverdier av elementer i luft (Al, Cd, Cr, Fe, Pb, Mn, V, Zn) på Svanvik i 2018 (delt pr halvår), samt årsmiddel og middel for sommersesongen 2018. Enhet: ng/m³.

Fra dato	Til dato	Al ng/m ³	Cd ng/m ³	Cr ng/m ³	Fe ng/m ³	Pb ng/m ³	Mn ng/m ³	V ng/m ³	Zn ng/m ³
01.01.2018	08.01.2018	6,6	0,1	0,10 ¹⁾	20,1	0,9	0,2	2,3	4,0
08.01.2018	15.01.2018	16,1	0,6	0,5	70,3	6,0	0,8	3,0	31,1
15.01.2018	22.01.2018	60,4	0,1	0,6	89,3	2,6	1,8	12,2	14,2
22.01.2018	29.01.2018	37,9	0,2	0,7	66,4	3,4	1,4	12,0	16,1
29.01.2018	05.02.2018	19,5	0,4	0,2	56,1	3,7	0,5	4,6	21,9
06.02.2018	12.02.2018	18,4	0,1	0,4	22,7	2,0	0,9	1,2	5,8
12.02.2018	19.02.2018	16,4	0,1	0,2	25,8	1,9	0,7	1,4	5,5
19.02.2018	26.02.2018	24,1	0,3	0,5	98,9	3,2	0,7	6,8	18,2
26.02.2018	05.03.2018	11,1	0,1	0,2	28,8	2,2	0,2	1,3	7,4
05.03.2018	12.03.2018	88,4	0,3	1,4	102,8	4,1	1,5	4,7	19,4
12.03.2018	19.03.2018	10,0	0,0	0,1	18,0	0,8	0,4	0,5	2,9
19.03.2018	26.03.2018	10,7	0,0	0,2	16,5	1,0	0,4	0,5	2,7
26.03.2018	02.04.2018	10,9	0,1	0,1	33,0	1,3	0,3	1,7	4,2
02.04.2018	09.04.2018	20,0	0,1	0,2	51,1	1,5	0,5	3,1	3,8
09.04.2018	16.04.2018	42,9	0,0	0,2	42,7	0,4	0,7	1,2	1,5
16.04.2018	23.04.2018	207,9	0,1	0,7	231,2	1,8	3,1	11,9	8,1
23.04.2018	30.04.2018	57,4	0,1	0,3	88,1	1,0	0,9	2,8	4,9
30.04.2018	07.05.2018	106,0	0,2	0,4	136,5	3,1	1,7	2,2	6,6
07.05.2018	14.05.2018	94,1	0,2	0,7	129,0	2,8	1,8	1,5	12,5
14.05.2018	21.05.2018	72,6	0,2	0,4	116,3	2,9	1,3	2,4	9,5
21.05.2018	28.05.2018	64,2	0,0	0,2	65,1	0,2	1,2	0,3	0,8
28.05.2018	04.06.2018	19,8	0,0	0,1	23,9	0,3	0,4	0,2	0,8
04.06.2018	11.06.2018	20,6	0,1	0,1	38,8	0,8	0,4	0,9	2,1
11.06.2018	18.06.2018	54,5	0,1	0,4	75,6	1,6	1,0	0,5	3,2
18.06.2018	25.06.2018	158,5	0,1	0,9	68,6	1,7	1,5	0,6	4,2
25.06.2018	02.07.2018	18,0	0,0	0,1	19,1	0,2	0,4	0,1	0,5

1) Målingen er utenfor akkreditert område.

2) Data er under deteksjonsgrensen.

Tabell 16 forts.: Middelverdier av elementer i luft (Al, Cd, Cr, Fe, Pb, Mn, V, Zn) på Svanvik i 2018 (delt pr halvår), samt årsmiddel og middel for sommersesongen 2018. Enhet: ng/m³.

Fra dato	Til dato	Al ng/m ³	Cd ng/m ³	Cr ng/m ³	Fe ng/m ³	Pb ng/m ³	Mn ng/m ³	V ng/m ³	Zn ng/m ³
02.07.2018	09.07.2018	57,7	0,1	0,4	82,2	1,5	1,0	0,9	4,6
09.07.2018	16.07.2018	104,9	0,3	0,6	166,1	6,1	2,0	1,2	10,4
16.07.2018	23.07.2018	77,5	0,1	0,3	78,3	0,8	2,0	0,5	3,7
23.07.2018	30.07.2018	34,5	0,0	0,2	35,9	0,4	0,8	0,3	1,4
30.07.2018	31.07.2018	172,5	0,0	0,46 ¹⁾	160,2	0,5	3,0	0,4	2,2
13.08.2018	31.08.2018	14,9	0,0	0,6	18,2	0,9	0,5	0,2	2,0
20.08.2018	27.08.2018	8,6	0,0	0,2	10,6	0,2	0,3	0,1	1,0
27.08.2018	03.09.2018	15,9	0,0	0,1	18,4	0,4	0,5	0,3	1,1
03.09.2018	10.09.2018	28,5	0,1	0,2	35,0	0,7	0,6	0,4	3,0
10.09.2018	17.09.2018	83,4	0,1	0,4	70,2	1,4	1,8	0,7	3,6
17.09.2018	24.09.2018	20,9	0,1	0,1	24,6	0,6	0,5	0,3	2,7
24.09.2018	01.10.2018	14,7	0,1	0,1	19,9	1,2	0,3	0,5	3,0
01.10.2018	08.10.2018	25,1	0,0	0,1	22,0	0,3	0,4	0,2	0,9
08.10.2018	15.10.2018	10,8	0,1	0,4	27,3	1,5	0,3	1,3	4,4
15.10.2018	22.10.2018	4,5	0,0	0,1	6,0	0,4	0,1	0,0	4,8
22.10.2018	29.10.2018	70,1	0,0	0,2	64,7	0,5	1,0	0,8	2,4
29.10.2018	05.11.2018	3,7	0,0	0,03 ¹⁾	4,1	0,2	0,1	0,3	0,9
05.11.2018	12.11.2018	9,1	0,3	0,2	26,1	2,5	0,2	1,9	10,6
12.11.2018	19.11.2018	72,9	0,1	0,1	60,2	1,0	1,0	0,2	1,5
06.12.2018	13.12.1918	36,3	0,1	0,1	28,5	0,4	0,5	0,3	1,3
13.12.2020	20.12.1918	11,9	0,1	0,1	21,5	1,2	0,3	5,0	3,7
20.12.2018	27.12.1918	9,9	0,0	0,2	15,2	0,9	0,3	0,8	2,1
27.12.2018	03.01.1919	14,2	0,1	0,2	23,3	1,9	0,7	0,8	4,8
Vektet middel²⁾									
1.1.2018	1.1.2019	42,2	0,1	0,3	54,6	1,6	0,8	2,0	5,9
1.4.2018	1.10.2018	58,6	0,1	0,3	68,9	1,3	1,1	1,4	4,0

1) Målingen er utenfor akkreditert område.

2) Data er under deteksjonsgrensen.

3) Ved utregning av vektet middel er prøver under deteksjonsgrensen satt til deteksjonsgrensen.

Tabell 17: Middelverdier av elementer i luft (Al, Cd, Cr, Fe, Pb, Mn, V, Zn) i Karpdalen i 2018 (delt pr halvår), samt årsmiddel og middel for sommersesongen 2018. Enhet: ng/m³.

Fra dato	Til dato	Al ng/m ³	Cd ng/m ³	Cr ng/m ³	Fe ng/m ³	Pb ng/m ³	Mn ng/m ³	V ng/m ³	Zn ng/m ³
03.01.2018	08.01.2018	6,4	0,1	0,2	38,0	0,5	0,2	12,6	2,4
08.01.2018	15.01.2018	5,7	0,4	0,3	18,4	3,3	0,3	3,2	15,0
15.01.2018	22.01.2018	49,7	0,5	0,7	95,2	8,6	1,6	24,8	28,4
22.01.2018	29.01.2018	42,0	0,6	0,9	68,4	10,9	1,8	18,0	33,0
29.01.2018	05.02.2018	12,8	1,0	0,3	58,0	12,0	0,5	14,9	47,8
05.02.2018	12.02.2018	21,8	0,3	0,7	59,0	5,3	1,1	11,3	18,4
12.02.2018	19.02.2018	15,6	0,4	0,4	50,8	4,2	0,8	10,1	19,0
19.02.2018	26.02.2018	8,5	0,6	0,2	45,0	5,1	0,3	14,2	24,3
26.02.2018	05.03.2018	6,1	0,1	0,1	14,6	2,4	0,1	3,6	3,7
05.03.2018	12.03.2018	24,8	0,6	0,6	121,2	6,0	1,3	33,0	28,5
08.04.2018	09.04.2018	50,2	0,7	1,6	195,8	16,0	1,3	57,5	43,3
09.04.2018	16.04.2018	8,0	0,0	0,4 ¹⁾	9,1	0,8	0,1	3,9	1,0
16.04.2018	23.04.2018	47,0	0,1	0,5	65,0	1,2	0,8	11,1	4,8
30.04.2018	07.05.2018	30,7	0,1	0,4	55,8	1,7	0,5	9,6	4,5
07.05.2018	12.05.2018	64,8	0,3	0,6	105,8	3,6	1,3	14,9	11,2
14.05.2018	21.05.2018	20,0	0,0	0,1	26,9	0,4	0,4	1,6	1,1
21.05.2018	28.05.2018	60,1	0,0	0,2	64,4	0,4	0,9	1,9	1,0
28.05.2018	04.06.2018	18,8	0,0	0,2	18,3	0,6	0,3	1,7	1,8
04.06.2018	11.06.2018	8,3	0,0	0,2	6,6	0,2	0,1	0,6 ¹⁾	0,4
11.06.2018	18.06.2018	80,7	0,1	0,5	91,3	2,0	1,3	6,6	3,3
18.06.2018	25.06.2018	120,7	0,1	0,3	130,3	1,6	2,0	6,9	5,6

1) Målingen er utenfor akkreditert område.

2) Data er under deteksjonsgrensen.

Tabell 17 forts.: Middelverdier av elementer i luft (Al, Cd, Cr, Fe, Pb, Mn, V, Zn) i Karpdalen i 2018 (delt pr halvår), samt årsmiddel og middel for sommersesongen 2018. Enhet: ng/m³.

Fra dato	Til dato	Al ng/m ³	Cd ng/m ³	Cr ng/m ³	Fe ng/m ³	Pb ng/m ³	Mn ng/m ³	V ng/m ³	Zn ng/m ³
09.07.2018	16.07.2018	214,4	0,1	0,5	225,8	1,0	3,2	4,1	2,6
13.08.2018	20.08.2018	16,1	0,5	0,4	49,8	11,2	0,6	11,3	12,5
20.08.2018	27.08.2018	10,3	0,3	0,3	40,3	5,7	0,5	9,3	9,2
27.08.2018	03.09.2018	19,5	0,4	0,3	72,5	7,1	0,7	17,3	13,5
03.09.2018	10.09.2018	14,2	0,1	0,1	25,9	0,9	0,4	3,8	3,0
10.09.2018	17.09.2018	77,6	0,2	0,4	87,2	3,2	1,7	9,2	8,3
17.09.2018	24.09.2018	24,6	0,1	0,1 ¹⁾	23,2	1,3	0,4	5,0	4,3
24.09.2018	01.10.2018	6,8	0,1	0,14	25,7	2,6	0,2	7,7	3,9
01.10.2018	08.10.2018	7,0	0,0	0,2 ¹⁾	11,6	0,6	0,2	1,4	1,5
08.10.2018	15.10.2018	8,2	0,1	0,2 ¹⁾	20,3	1,5	0,3	4,0	4,8
22.10.2018	29.10.2018	16,1	0,0	0,1 ¹⁾	17,1	0,5	0,3	0,4	1,2
29.10.2018	05.11.2018	8,6	0,3	0,19	43,6	4,0	0,3	14,5	13,5
05.11.2018	12.11.2018	8,4	0,4	0,16	34,1	3,6	0,3	9,5	15,7
12.11.2018	19.11.2018	11,9	0,1	0,1 ¹⁾	26,6	1,0	0,2	5,8	4,8
19.11.2018	26.11.2018	28,2	0,0	0,1 ¹⁾	22,8	0,2	0,4	0,1	0,4
26.11.2018	03.12.2018	8,7	0,2	0,1 ¹⁾	32,0	2,0	0,3	6,2	8,5
03.12.2018	10.12.2018	16,6	0,5	0,4	87,4	10,7	0,7	20,7	18,2
10.12.2018	17.12.2018	2,6	0,0		5,4	0,7	0,1	0,7	1,3
17.12.2018	24.12.2018	11,2	0,1	0,2	28,8	1,8	0,6	3,9	5,1
Vektet middel²									
1.1.2018	1.1.2019	29,7	0,2	0,3	52,1	3,5	0,7	3,6	10,2
1.4.2018	1.10.2018	46,5	0,1	0,3	62,8	2,6	0,8	1,9	5,3

¹⁾ Målingen er utenfor akkreditert område.

²⁾ Data er under deteksjonsgrensen.

³⁾ Ved utregning av vektet middel er prøver under deteksjonsgrensen satt til deteksjonsgrensen.

5.2 Tungmetaller i nedbør - konsentrasjon

Bakgrunn og historikk

Prøvetaking for målinger av tungmetaller i nedbør foretas ved to stasjoner: Svanvik og Karpdalen. Prøvene av nedbørkvalitet tas vanligvis over en uke med skifte hver mandag. Dessuten skiftes det på første dato i hver måned hvis denne ikke faller på en mandag. På Svanvik har nedbørsmålingene pågått siden høsten 1988. I 1990 ble det opprettet en stasjon i Karpdalen som ble nedlagt 1.4.1998 (og gjenåpnet i august 2013).

I tillegg til utvasking med nedbør må en også regne med at noe kommer ned i prøvetakerne (flasker med trakt) ved tørravsetning, dvs. at støvpartikler inneholdende tungmetaller daler ned i trakten/flasken. Detaljerte data pr måned er vist i Tabell 18 og Tabell 19.

Nikkel (Ni), kobber (Cu), kobolt (Co) og arsen (As) regnes som spormetaller fra nikkelverkene. Det er ikke noe 1:1-forhold mellom konsentrasjonen av SO₂ og konsentrasjonene av tungmetaller, ei heller mellom de ulike spormettallene fra nikkelverkene. Dvs. at det er ulike trender i konsentrasjonene av disse (Ni, Cu, Co, As). Det er vanskelig å gi noen fullgod forklaring på denne forskjellen siden alle fire regnes som spormetaller fra smelteverkene. En mulighet er at det er brukt noe forskjellig sammensetning av malm i nikkelproduksjonen eller at produksjons-metodene varierer, men dette er kun hypoteser. Et annet poeng er at partiklene har ulike hygroskopiske egenskaper slik at det varierer hvor raskt de tas opp i skydråpene og så regnes ut. Mønsteret for konsentrasjoner av metaller i nedbør er også forskjellig fra mønsteret for konsentrasjoner av metaller i luft (kap. 5.1), uten at dette er analysert i detalj. Merk også at det er stor variasjon fra måned til måned, og fra år til år, i de målte konsentrasjoner i nedbør. Det er heller ikke kjent hvordan omleggingen av utslippsmønsteret mellom Zapoljarnij og Nikel har påvirket konsentrasjonene av de ulike elementene.

Tabell 18: Månedsmiddelverdier og årsmiddel av nedbørmengde og tungmetaller i nedbør på Svanvik i 2018. Enhet: mm nedbør og konsentrasjon µg/l.

Måned	Nedbør-mengde mm	Pb µg/l	Cd µg/l	Zn µg/l	Ni µg/l	As µg/l	Cu µg/l	Co µg/l	Cr µg/l	V µg/l	Al µg/l
Januar	21	1,2	0,2	5,7	27,9	0,8	60,3	1,0	0,1	1,7	12,2
Februar	9	0,6	0,1	17,9	22,4	0,5	46,1	0,7	0,1	0,7	11,6
Mars	36	0,4	0,0	2,1	11,0	0,3	15,4	0,3	0,1	0,4	6,1
April	23	0,7	0,1	7,3	14,5	1,2	26,6	0,4	0,1	0,7	9,4
Mai	11	1,3	0,1	8,0	32,5	1,2	57,2	1,0	0,3	0,6	31,9
Juni	49	1,0	0,1	2,5	33,9	1,5	29,3	0,9	0,4	0,2	24,2
Juli	72	0,8	0,0	3,1	25,4	0,7	27,3	0,7	0,3	0,1	22,2
August	88	0,8	0,0	3,0	20,5	0,8	19,8	0,5	0,1	0,1	11,7
September	39	1,5	0,1	7,9	63,1	2,1	60,4	1,7	0,6	0,5	32,6
Oktober	31	1,0	0,0	3,6	20,0	0,4	19,6	0,6	0,4	0,4	89,3
November	22	1,3	0,1	5,6	29,9	0,4	36,3	1,0	0,6	0,9	252,3
Desember	17	0,6	0,1	2,3	6,3	0,2	17,3	0,3	0,1	0,3	13,0
2018	418	0,9	0,1	4,3	26,5	0,9	30,5	0,7	0,3	0,4	35,5

Tabell 19: Månedsmiddelverdier og årsmiddel av nedbørmengde og tungmetaller i nedbør i Karpdalen i 2018. Enhet: mm nedbør og konsentrasjon µg/l.

Måned	Nedbør-mengde mm	Pb µg/l	Cd µg/l	Zn µg/l	Ni µg/l	As µg/l	Cu µg/l	Co µg/l	Cr µg/l	V µg/l	Al µg/l
Januar	23	0,6	0,1	8,7	16,6	0,5	23,8	0,4	0,3	0,8	9,9
Februar	23	0,5	0,1	9,1	29,6	0,4	31,4	0,6	0,2	0,6	11,2
Mars	43	0,5	0,0	3,5	15,6	0,4	17,2	0,4	0,2	0,4	15,9
April	25	0,6	0,1	11,2	28,0	0,9	22,1	0,8	0,3	0,6	31,1
Mai	11	1,1	0,1	15,8	70,3	1,4	37,7	2,2	1,2	1,3	167,3
Juni	53	1,0	0,1	15,9	16,8	0,7	20,3	0,5	0,5	0,7	90,5
Juli	90	1,0	0,0	5,2	16,2	0,8	14,2	0,5	0,5	0,5	105,4
August	41	1,4	0,1	9,4	36,9	1,8	34,0	1,1	0,7	0,6	145,6
September	51	0,7	0,1	9,4	26,6	0,8	23,3	0,8	0,4	0,3	50,6
Oktober	15	0,4	0,0	4,3	6,2	0,2	13,8	0,2	0,3	0,3	43,4
November	50	0,5	0,0	4,4	24,3	0,4	25,0	0,8	0,4	0,4	39,3
Desember	39	0,7	0,1	7,7	14,8	0,3	19,0	0,5	0,2	0,4	19,1
2018	464	0,8	0,1	8,1	22,5	0,7	21,9	0,7	0,4	0,5	66,9

5.3 Tungmetaller i nedbør - våtavsetning

Det er også beregnet avsetning med nedbør av de forskjellige elementene, både for sommerhalvåret 2018 og vinterhalvåret 2017/18. Avsetningstallene (enhet: mg/m²) regnes ut ved at konsentrasjonen i nedbøren (enhet: µg/liter eller mg/liter²⁶) multipliseres med nedbøren (1 mm nedbør tilsvarer 1 liter/m²) for hver uke og summeres over vinterhalvåret 2017/18 og sommerhalvåret 2018. Resultatene er vist i Tabell 20 og Tabell 21 sammen med avsetningstall for tidligere år (trender).

Avsetningen i nedbør av Ni, Cu og As på Svanvik for vinterhalvårene fra 1988/89 til 2017/18 og for sommerhalvårene fra 1989 til 2018 er vist i Figur 12 sammen med halvårsmiddelkonsentrasjoner av SO₂, se også tallene i Tabell 20 og Tabell 21.

Avsetningen av nikkel på Svanvik vinteren 2017/18 (3,8 mg/m²) og sommeren 2018 (8,4 mg/m²), samt i Karpdalen vinteren 2017/18 (3,2 mg/m²) og sommeren 2018 (6,7 mg/m²), er i sum over tålegrense for nikkel i nedbør beregnet til 4-6 mg/(m² år) for Øst-Finnmark. Dette gjelder med tanke på drikkevann (Reinds m.fl., 2006). For ytterligere diskusjon om vannkvalitet henvises til annen rapport under overvåningsprogrammet (Garmo og Skancke, 2018).

Avsetningen av disse elementene på Svanvik er vanligvis langt høyere om sommeren enn om vinteren (se Figur 12). Sesongvariasjonen skyldes at frekvensen av vind fra Nikel mot Svanvik er klart høyest i sommerhalvåret. Som tidligere nevnt er det nå kontinuerlige målinger av tungmetaller i svevestøv både på Svanvik og i Karpdalen (kap. 5.1). Det er prøvetaking og analyse av tungmetaller i nedbør i Karpdalen fra august 2013. Dette vil i sum gi et godt bilde av spredningen av tungmetaller fra smelteverkene og sesongvariasjonen av disse.

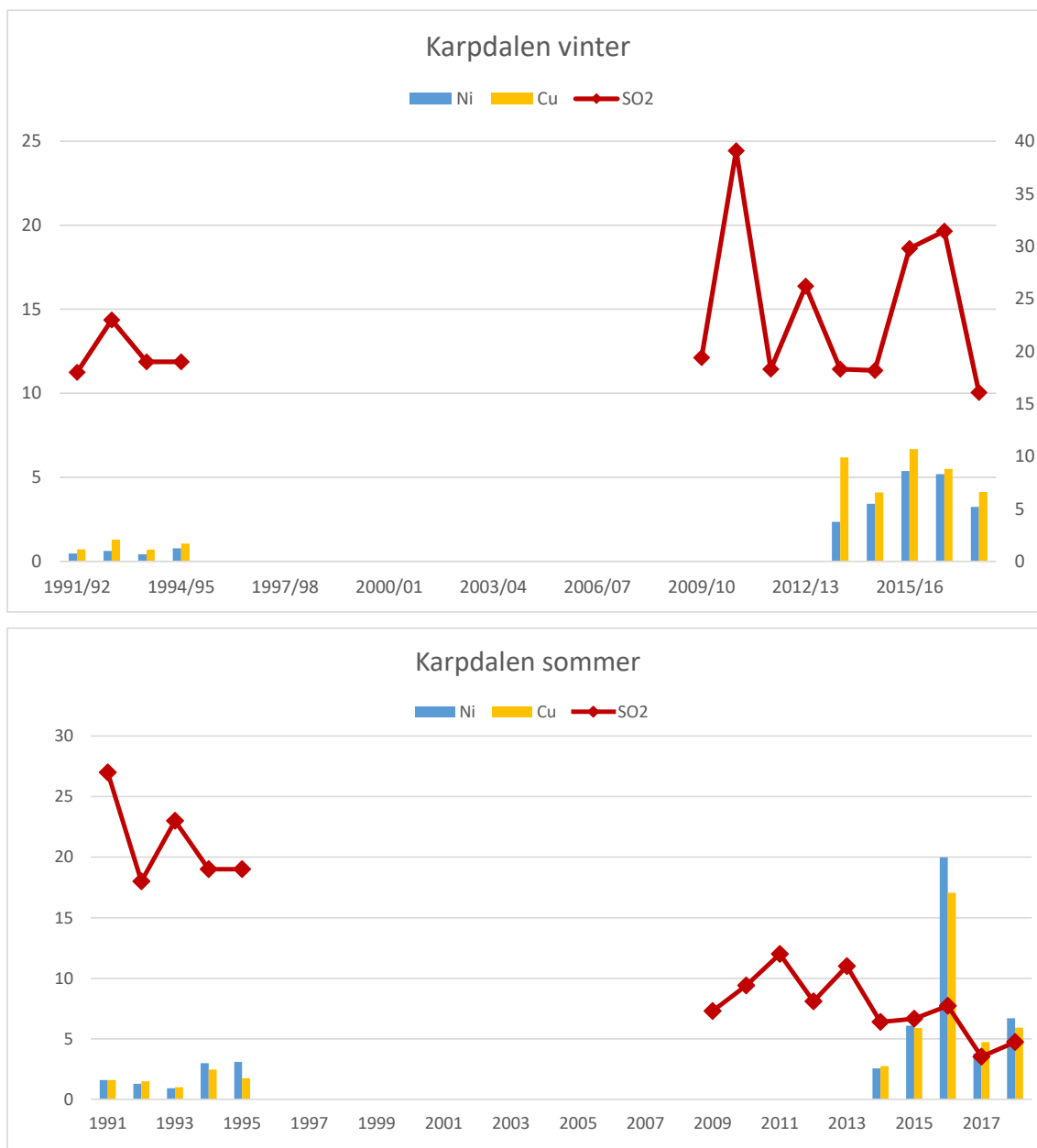
²⁶ 1 000 µg = 1 mg, likeledes 1 000 000 µg = 1 000 mg = 1 g.

Tabell 20: Avsetning av metaller med nedbør i vinterhalvårene fra 1988/89 til 2017/18. Enhet: mg/m².

Stasjon	Vinter-halvår	Pb mg/m ²	Cd mg/m ²	Zn mg/m ²	Ni mg/m ²	As mg/m ²	Cu mg/m ²	Co mg/m ²	Cr mg/m ²	V mg/m ²	Al mg/m ²
Karpdalen	1991/92	0,51	0,02	0,87	0,47	0,13	0,72	0,01	0,27		
	1992/93	0,29	0,01	1,27	0,62	0,09	1,29	0,02	0,27		
	1993/94	0,15	0,01	0,75	0,41	0,08	0,69	0,02	0,19		
	1994/95	0,19	0,01	0,66	0,78	0,08	1,06	0,03	0,04		
	2013/14	0,16	0,01	1,77	2,35	0,21	6,18	0,08	0,03	0,12	3,88
	2014/15	0,12	0,01	1,05	3,43	0,13	4,10	0,10	0,05	0,08	3,50
	2015/16	0,14	0,01	1,58	5,38	0,14	6,68	0,14	0,04	0,11	3,54
	2016/17	0,17	0,02	1,76	5,18	0,13	5,49	0,16	0,06	0,09	5,01
	2017/18	0,09	0,01	1,08	3,24	0,09	4,13	0,09	0,04	0,09	2,87
Svanvik	1988/89	0,38	0,02	1,05	1,13	0,14	1,32				
	1989/90	0,14	0,02	0,61	0,64	0,16	1,43	0,02	0,05		
	1990/91	0,18	0,02	0,62	1,02	0,18	1,67	0,04	0,02		
	1991/92	0,17	0,01	0,36	0,52	0,36	0,88	0,01	0,09		
	1992/93	0,09	0,03	0,53	0,78	0,11	1,51	0,03	0,80		
	1993/94	0,09	0,01	0,23	0,62	0,10	0,80	0,02	0,08		
	1994/95	0,14	0,01	0,32	0,80	0,10	1,21	0,02	0,02		
	1995/96	0,14	0,02	0,51	1,76	0,25	2,52	0,06	0,03		
	1996/97	0,12	0,02	0,48	1,21	0,11	1,82	0,04	0,02		
	1997/98	0,36	0,01	0,48	2,69	0,27	3,50	0,08	0,04		
	1998/99	0,12	0,02	0,72	3,33	0,30	4,45	0,10	0,07		
	1999/00	0,13	0,01	0,89	1,12	0,12	1,52	0,04	0,04		
	2000/01	0,35	0,02	0,63	3,23	0,30	3,92	0,10	0,04		
	2001/02	0,27	0,02	0,76	1,12	0,17	1,61	0,03	0,02		
	2002/03	0,57	0,01	0,66	0,28	0,05	0,44	0,01	0,02		
	2003/04	0,19	0,01	0,74	2,50	0,15	2,91	0,07	0,04		
	2004/05	0,05	0,00	0,35	0,71	0,02	0,87	0,02	0,02		
	2005/06	0,17	0,02	0,98	2,18	0,09	3,44	0,06	0,04		
	2006/07	0,15	0,02	0,54	4,53	0,16	7,40	0,17	0,04		
	2007/08	0,07	0,01	0,82	2,73	0,13	2,53	0,07	0,03		
	2008/09	0,08	0,03	0,48	1,40	0,12	2,13	0,05	0,02		
	2009/10	0,10	0,01	0,31	1,33	0,10	2,14	0,05	0,02	0,05	0,76
	2010/11	0,07	0,01	0,48	5,50	0,06	1,20	0,08	1,10	0,16	7,47
	2011/12	0,06	0,01	0,21	1,12	0,10	2,48	0,04	0,01	0,03	2,54
	2012/13	0,20	0,01	0,71	6,44	0,24	10,36	0,17	0,04	0,14	3,20
	2013/14	0,12	0,01	0,39	2,18	0,17	6,16	0,07	0,01	0,10	1,20
	2014/15	0,06	0,00	0,74	1,53	0,06	2,07	0,05	0,02	0,05	2,19
	2015/16	0,20	0,00	0,52	1,16	0,06	2,07	0,04	0,02	0,06	2,29
	2016/17	0,09	0,01	0,52	2,44	0,07	3,10	0,08	0,02	0,07	2,65
	2017/18	0,11	0,02	0,73	3,81	0,14	5,28	0,12	0,03	0,12	1,91

*Tabell 21: Avsetning av metaller med nedbør i sommerhalvårene fra 1989 - 2018. Enhet:
mg/m²*

Stasjon	Sommer- halvår	Pb mg/m ²	Cd mg/m ²	Zn mg/m ²	Ni mg/m ²	As mg/m ²	Cu mg/m ²	Co mg/m ²	Cr mg/m ²	V mg/m ²	Al mg/m ²
Karp- dalen	1991	0,31	0,12	1,30	1,60	0,13	1,60	0,06	0,19		
	1992	0,54	< 0,03	1,50	1,30	0,24	1,50	< 0,04			
	1993	0,29	0,01	0,91	0,92	0,13	1,01	0,04	0,27		
	1994	0,36	0,02	1,37	2,99	0,27	2,46	0,11	0,16		
	1995	0,37	0,01	0,78	3,10	0,22	1,75	0,12	0,11		
	2014	0,18	0,01	1,41	2,56	0,18	2,75	0,08	0,07	0,07	9,72
	2015	0,34	0,01	1,80	6,08	0,29	5,91	0,21	0,13	0,12	14,23
	2016	0,43	0,03	2,23	19,99	0,59	17,07	0,58	0,25	0,17	18,35
	2017	0,14	0,01	0,84	3,82	0,17	4,73	0,12	0,08	0,08	13,67
	2018	0,26	0,02	2,63	6,70	0,26	5,91	0,20	0,15	0,15	25,82
Svanvik	1989	0,64	0,06	1,86	6,82	0,62	6,43	0,19	0,23		
	1990	0,43	0,05	1,67	3,24	0,47	3,68	0,11	0,14		
	1991	0,29	< 0,02	0,87	2,80	0,27	2,40	0,07			
	1992	0,35	< 0,03	0,97	2,90	0,40	4,20	0,08	< 0,17		
	1993	0,27	0,02	0,60	3,10	0,32	3,70	0,12	0,14		
	1994	0,46	0,02	1,66	4,63	0,47	4,14	0,14	0,11		
	1995	0,51	0,03	1,58	4,93	0,45	4,23	0,17	0,12		
	1996	0,21	0,01	0,77	5,31	0,30	4,98	0,17	0,11		
	1997	0,20	0,02	0,65	3,34	0,36	3,89	0,11	0,05		
	1998	0,27	0,02	0,96	4,67	0,45	5,13	0,14	0,08		
	1999	0,26	0,02	2,72	3,24	0,47	4,04	0,11	0,09		
	2000	0,51	0,03	1,54	4,86	0,52	5,08	0,15	0,06		
	2001	0,61	0,04	2,20	5,14	0,57	4,58	0,16	0,10		
	2002	0,33	0,01	1,85	3,43	0,36	3,34	0,10	0,05		
	2003	0,64	0,02	1,71	2,63	0,18	2,77	0,09	0,07		
	2004	0,38	0,02	1,60	11,20	0,26	8,81	0,29	0,13		
	2005	0,63	0,05	1,33	21,36	0,64	21,59	0,62	0,16		
	2006	0,33	0,04	3,07	9,87	0,42	11,95	0,32	0,09		
	2007	0,42	0,08	0,98	15,33	0,60	13,22	0,39	0,21		
	2008	0,13	0,02	0,61	5,35	0,19	3,74	0,16	0,10		
	2009	0,44	0,04	0,93	12,27	0,63	9,19	0,33	0,25	0,14	3,73
	2010	0,23	0,02	1,16	3,23	0,17	2,89	0,11	0,11	0,12	4,57
	2011	0,25	0,06	1,25	5,43	0,31	8,97	0,18	0,12	0,09	7,33
	2012	0,19	0,02	1,13	5,08	0,25	6,94	0,16	0,05	0,11	8,01
	2013	0,19	0,01	0,73	4,73	0,26	9,10	0,14	0,04	0,11	4,98
	2014	0,27	0,01	1,01	3,97	0,31	5,23	0,11	0,05	0,10	4,54
	2015	0,53	0,03	1,13	9,62	0,50	10,54	0,29	0,11	0,12	10,72
	2016	0,50	0,03	2,48	12,80	0,66	13,73	0,39	0,13	0,12	12,04
	2017	0,22	0,02	1,07	7,59	0,34	9,16	0,23	0,07	0,09	4,83
	2018	0,27	0,02	1,17	8,43	0,31	8,73	0,23	0,08	0,07	5,65



Figur 12: Avsetning med nedbør av Ni og Cu (søyler, enhet mg/m², venstre akse) i Karpdalen i vinterhalvårene fra 1988/89 til 2017/18 (øvre panel) og i sommerhalvårene fra 1989 til 2018 (nedre panel). Halvårsmiddelkonsentrasjonene av SO₂ er også vist (rød linje, enhet µg/m³, høyre akse).

6 Referanser og relevant stoff om forurensning i grenseområdene Norge - Russland

6.1 Internetsider

Her er det listet opp enkel hjemmesider som er relevante for dette overvåkingsprosjektet (oppdatert pr. juni 2019).

Miljødirektoratet (eng Norwegian Environment Agency): www.miljodirektoratet.no

Klima- og miljødepartementet: <http://www.regjeringen.no/nb/dep/kld.html?id=668>

NILU - Norsk institutt for luftforskning: www.nilu.no

Luftkvalitet.info der SO₂ på Svanvik og i Karpalen vises i nær sanntid (vises under Sør-Varanger):

<http://www.luftkvalitet.info/home/airquality.aspx?type=1&topic=1&id=%7b9aed45c7-5cb6-4dd0-83ec-b76455a188d5%7d>

Miljøstatus. Avsetning av svovel og nitrogen:

<http://www.miljostatus.no/tema/luftforurensning/sur-nedbor/>

Miljøstatus. Miljøgifter i mose:

<http://www.miljostatus.no/tema/kjemikalier/miljogifter-i-mose/>

Fylkesmannen i Troms og Finnmark - Miljø:

<https://www.fylkesmannen.no/troms-finnmark/miljo-og-klima/forurensning/>

Nasjonalparksamarbeidet i Pasvik: <http://www.pasvik-inari.net/>

Pasvik Zapovednik (russisk nasjonalpark): <http://www.pasvik51.ru>

Pasvikprogrammet: <http://www.pasvikmonitoring.org/>

Direktoratet for strålevern og atomsikkerhet (Statens strålevern): <http://www.dsa.no/>

NIBIO Svanhovd: <http://www.svanhovd.no/>

Barentssekreteriatet: <https://www.barents.no/nb>

Barentsobserver (nettavis med mye relevant stoff om grenseområdene):

<https://thebarentsobserver.com/en>

Sett Nordfra (nettbasert nyhetsmagasin med nord-perspektiv):

<http://www.settnordfra.no/>

High North News (nyhetsmagasin drevet av High North Centre ved Universitet Nord i Bodø): <http://www.hightnorthnews.com/>

Miljøvernorganisasjoner:

<http://naturvernforbundet.no/>

<http://naturvernforbundet.no/finnmark/>

<http://www.nu.no>

<http://www.bellona.no/>

<http://www.bellona.ru/> (på russisk)

NorNickel (på russisk benevnt НОРНИКЕЛЯ, dvs. moderselskapet/kombinatet):

<https://www.nornickel.ru/> (russisk) og <https://www.nornickel.com> (engelsk)

Kola Bergverkskompani, på russisk benevnt Колъская ГМК / Kolskaya GMK, på engelsk benevnt Kola MMC / Kola Mining and Metallurgical Company, dvs det lokale selskapet:

<http://www.kolagmk.ru>

Finske meteorologiske institutt:

<http://ilmatieteenlaitos.fi/>

<http://sv.ilmatieteenlaitos.fi/> (svensk versjon)

Luftkvalitet nu (Finland):

<http://www.ilmanlaatu.fi/>

<https://sv.ilmatieteenlaitos.fi/luftkvalitet>

Russiske måleresultater:

http://www.kolgimet.ru/monitoring-zagrjaznenija-okruzhajushchei-sredy/sostojanie-i-zagrjaznenie-atmosfernogo-vozdukha/?no_cache=1

6.2 Litteratur

Mangeårig prosjektleder Leif Otto Hagen og medforfattere har skrevet tilsammen 22 halvårs- og årsrapporter for dette prosjektet fra 1991 og fram til 2006. Av disse er kun den siste tatt med i referanselisten. Likeledes er studier fra før år 2000 utelatt. For tidligere studier, konsultér tidligere rapporter fra prosjektet.

AMAP (2005) AMAP Assessment 2002: Heavy Metals in the Arctic. Oslo, Arctic Monitoring and Assessment Programme (AMAP).

Amundsen, P.-A., Kashulin, N.A., Terentjev, P. Gjelland, K.Ø., Koroleva, I.M., Dauvalter, V.A., Sandimirov, S. Kashulin, A., Knudsen, R. (2011) Heavy metal contents in whitefish (*Coregonus lavaretus*) along a pollution gradient in a subarctic watercourse. *Environ. Monit Assess.*, 182, 301-316, doi 10.1007/s10661-011-1877-1.

Berglen, T.F., Sivertsen, B., Arnesen, K. (2008) Grenseområdene Norge-Russland. Luft- og nedbørkvalitet, april 2007-mars 2008. Kjeller, NILU (Statlig program for forurensningsovervåking. Rapport 1037/2008. TA-2445/2008) (NILU OR, 68/2008).

Berglen, T.F., Andresen, E., Arnesen, K., Hansen, T., Ofstad, T., Rode, A., Sivertsen, B., Uggerud, H.T., Vadset, M. (2009) Grenseområdene Norge-Russland. Luft- og nedbørkvalitet, april 2008-mars 2009. Kjeller, NILU (Statlig program for forurensningsovervåking. Rapport 1054/2009. TA-2533/2009) (NILU OR, 27/2009).

Berglen, T.F., Andresen, E., Arnesen, K., Kalvenes, Ø., Ofstad, T., Rode, A., Tønnesen, D.A., Uggerud, H.T., Vadset, M. (2010) Grenseområdene Norge-Russland. Luft- og nedbørkvalitet, april 2009-mars 2010. Kjeller, NILU (Statlig program for forurensningsovervåking. Rapport 1082/2010. TA-2730/2010) (NILU OR, 35/2010).

Berglen, T.F., Arnesen, K., Rode, A., Tønnesen, D. (2011) Grenseområdene Norge-Russland. Luft- og nedbørkvalitet, april 2010-mars 2011. Kjeller, NILU (Statlig program for forurensningsovervåking. Rapport 1106/2011. TA 2838/2011) (NILU

Berglen, T.F., Andresen, E., Arnesen, K., Nilsson, L.O., Ofstad, T., Rode, A., Tønnesen, D., Vadset, M. (2012) Grenseområdene Norge-Russland. Luft- og nedbørkvalitet, april 2011-mars 2012. Kjeller, NILU (Statlig program for forurensningsovervåking. Rapport 1128/2012. TA 2951/2012) (NILU OR, 25/2012).

Berglen, T.F., Dauge, F., Andresen, E., Haugsbakk, I., Nilsson, L.O., Ofstad, T., Tønnesen, D., Vadset, M., Våler, R.L. (2013) Grenseområdene Norge-Russland. Luft- og nedbørkvalitet, april 2012 - mars 2013. Kjeller, NILU (Statlig program for

forurensningsovervåking. Rapport 1153/2013.) (Miljødirektoratet rapport, M-41/2013) (NILU OR, 42/2013).

Berglen, T.F., Dauge, F., Andresen, E., Haugsbakk, I., Nilsson, L.O., Ofstad, T., Tønnesen, D., Vadset, M., Våler, R.L. (2014) Grenseområdene Norge-Russland. Luft- og nedbørkvalitet, april 2013 - mars 2014. Kjeller, NILU (Miljødirektoratet rapport, M-204/2014) (NILU OR, 33/2014).

Berglen, T.F., Dauge, F., Andresen, E., Nilsson, L.O., Tønnesen, D., Vadset, M., Våler, R.L. (2015) Grenseområdene Norge-Russland. Luft- og nedbørkvalitet, april 2014 - mars 2015. Kjeller, NILU (Miljødirektoratet rapport, M-384/2015) (NILU OR, 21/2015).

Berglen, T.F., Dauge, F., Andresen, E., Nilsson, L.O., Svendby, T.M., Tønnesen, D., Vadset, M., Våler, R.L. (2016) Grenseområdene Norge-Russland. Luft- og nedbørkvalitet, april 2015 - mars 2016. Kjeller, NILU (Miljødirektoratet rapport, M-567/2016) (NILU OR, 16/2016).

Berglen, T.F., Dauge, F., Andresen, E., Svendby, T.M., Tønnesen, D., Vadset, M., Våler, R.L. (2017) Grenseområdene Norge-Russland. Luft- og nedbørkvalitet kalenderåret 2016. Kjeller, NILU (Miljødirektoratet rapport, M-808/2017) (NILU OR, 32/2017).

Berglen, T.F., Dauge, F., Andresen, E., Tønnesen, D., Vadset, M. og Våler, R.L. (2018) Grenseområdene Norge-Russland. Luft- og nedbørkvalitet, årsrapport 2017. Kjeller, NILU (Miljødirektoratet rapport, M-1069/2018) (NILU OR, 14/2018).

Bjerke, J.W., Tømmervik, H., Finne, T.E., Jensen, H., Lukina, N., Bakkestuen, V. (2006) Epiphytic lichen distribution and plant leaf heavy metal concentrations in Russian-Norwegian boreal forests influenced by air pollution from nickel-copper smelters. *Boreal Environ. Res.*, 11, 441-450.

Bohlin-Nizzetto, P., Aas, W., Halse, A.K., Nikiforov, V. (2019) Monitoring of environmental contaminants in air and precipitation. Annual report 2018. Kjeller, NILU (Norwegian Environment Agency, M-1419|2019) (NILU report, 11/2019).

Dauvalter, V., Rognerud, S. (2001) Heavy metal pollution in sediments of the Pasvik River drainage. *Chemosphere*, 42, 9-18.

Dauvalter, V.A., Kashulin, N.A., Sandimirov, S.S., Terentjev, P., Denisov, D., Amundsen, P.-A. (2011) Chemical composition of lake sediments along a pollution gradient in a subarctic watercourse. *J. Environ. Sci. and Health, Part A*, 46, 1020-1033, doi: 10.1080/10934529.2011.584503.

Engdahl, B.J., Velken, A.V.S., Berglen, T.F., Hodnebrog, Ø., Stordal, F. (2014) Utslipp, spredning og avsetning av SO₂ fra Nikel og Zapoljarnij. En WRF-Chem modellstudie. (Kjeller, NILU OR, 57/2014).

European Commission (1996) Council Directive 96/62/EC of 27 September 1996 on ambient air quality assessment and management. (Rammedirektivet). *Off. J. Eur. Communities*, L296, 21/11/1996, 0055-0063.

European Commission (1999) Council Directive 1999/30/EC of 22 April 1999 relating to limit values for sulphur dioxide, nitrogen dioxide and oxides of nitrogen, particulate

matter and lead in ambient air. *Off. J. Eur. Communities*, L163, 29/06/1999, 0041-0060.

EU (2005) Directive 2004/107/EC of the European Parliament and of the Council of 15 December 2004 relating to arsenic, cadmium, mercury, nickel and polycyclic aromatic hydrocarbons in ambient air. *Off. J. Eur. Union*, L 23, 3-16.

Garmo, Ø. og Skancke, L.B. (2018) Overvåking av langtransportert forurensset luft og nedbør. Årsrapport – vannkjemiske effekter 2017. Oslo, Norsk institutt for vannforskning. Statlig program for forurensningsovervåking. (Miljødirektoratet rapport, M-1058/2018). (NIVA-rapport 7296-2018). Nedlastbar fra: <https://niva.brage.unit.no/niva-xmlui/handle/11250/2583896> [besøkt 21. mai 2019]

Grøntoft, T., Ferm, M. (2014) International co-operative programme on effects on materials, including historic and cultural monuments. Trend exposure programme 2011 - 2012. Environmental data report October 2011 to December 2012. Kjeller, NILU (UN/ECE International co-operative programme on effects on materials, including historic and cultural monuments. Report no. 75) (NILU OR, 23/2014).

Hagen, L.O. (1977) Landsoversikt over luftforurensningstilstanden i Norge, resultater av målingene i kommunene i perioden oktober 1973 - mars 1976. Med databilag. Lillestrøm, NILU (NILU OR, 14/77).

Hagen, L.O., Henriksen, J.F., Johnsrud, M. (1989) Basisundersøkelse av luftforurensninger i Sør-Varanger 1988-1990. Framdriftsrapport nr. 1 pr. 1.7.1989. Lillestrøm, NILU (NILU OR, 46/89).

Hagen, L.O., Sivertsen, B., Arnesen, K. (2006) Grenseområdene i Norge og Russland. Luft og nedbørkvalitet, april 2005-mars 2006. Kjeller, NILU (NILU OR, 69/2006).

Harmens, H., Norris, D.A., Steinnes, E., Kubin, E., Piispanen, J., Alber, R., Aleksiayenak, Y., Blum, O., Coşkun, M., Dam, M., De Temmerman, L., Fernández, J.A., Frolova, M., Frontasyeva, M., González-Miqueo, L., Grodzińska, K., Jeran, Z., Korzekwa, S., Krmar, M., Kvietkus, K., Leblond, S., Liiv, S., Magnússon, S.H., Mankovská, B., Pesch, R., Rühling, A., Santamaría, J.M., Schröder, W., Spiric, Z., Suchara, I., Thöni, L., Urumov, V., Yurukova, L., Zechmeister, H.G. (2010) Mosses as biomonitor of atmospheric heavy metal deposition: Spatial patterns and temporal trends in Europe. *Environ. Pollut.*, 158, 3144-3156.

Harmens, H., Norris, D.A., Sharps, K., Mills, G., Alber, R., Aleksiayenak, Y., Blum, O., Cucu-Man, S.M., Dam, M., De Temmerman, L., Ene, A., Fernandez, J.A., Martinez-Abaigar, J., Frontasyeva, M., Godzik, B., Jeran, Z., Lazo, P., Leblond, S., Liiv, S., Magnusson, S.H., Mankovska, B., Karlsson, G.P., Piispanen, J., Poikolainen, J., Santamaría, J.M., Skudnik, M., Spiric, Z., Stafilov, T., Steinnes, E., Stihí, C., Suchara, I., Thoni, L., Todoran, R., Yurukova, L., Zechmeister, H.G. (2015) Heavy metal and nitrogen concentrations in mosses are declining across Europe whilst some "hotspots" remain in 2010. *Environ. Pollut.*, 200, 93-104.

Høiskar, B.A.K., Haugen, R. (2005) Nettverket for overvåking av radioaktivitet i luft i Norge. Årsrapport 2004. Kjeller, NILU (NILU OR, 17/2005).

- Hønneland, G., Rowe, L. (2008) Fra svarte skyer til helleristninger. Norsk-russisk miljøvernsamarbeid gjennom 20 år. Trondheim, Tapir akademisk forlag.
- Jacobsen, A.R. (2006) Nikkel, jern og blod. Krigen i Nord 1939-1945. Oslo, Aschehoug.
- Jensen, H.K.B., Finne, T.E., Gwynn, J., Kiel Jensen, L. (2012). Forurensningsbelastning i humusprøver fra østlige og indre Finnmark: tungmetaller, radioaktive elementer, arsen, og PAH(16) og variasjoner i perioden 1995-2011. Trondheim, Norges geologiske undersøkelse (NGU Rapport, 2012.042).
- Jæger, Ø. (2011) Landsomfattende mark- og grunnvannsnett – årsrapport 2010. Trondheim, Norges Geologiske undersøkelse (NGU Rapport, 2011.028).
- Jæger, Ø., Frengstad, B. (2015) Landsomfattende mark- og grunnvannsnett – årsrapport 2013 og 2014. Trondheim, Norges geologiske undersøkelse (NGU Rapport, 2015.004).
- Kashulin, N.A., Terentyev, P.M., Amundsen, P-A., Dauvalter, V.A., Sandimirov, S.S., Kashulin, A.N. (2011) Specific Features of Accumulation of Cu, Ni, Zn, Cd, and Hg in Two Whitefish *Coregonus lavaretus* (L.) Morphs Inhabiting the Inari–Pasvik Lacustrine–Riverine System. *Aquat. Toxicol.*, 4, 383-392.
- Lappalainen, A., Tammi, J., Puro-Tahvanainen, A. (2007) The effects of nickel smelters on water quality and littoral fish species composition in small water courses in the border area of Finland, Norway and Russia. *Boreal Environ. Res.*, 12, 455-466.
- Mc Innes, H., Sivertsen, B., Arnesen, K. (2007) Grenseområdene i Norge og Russland. Luft- og nedbørskvalitet, april 2006-mars 2007. Kjeller, NILU (NILU OR, 43/2007).
- Miljøverndepartementet (2004) Forskrift om begrensning av forurensning (forurensningsforskriften). Oslo (FOR 2004-06-01 nr 931). Nedlastbar fra: <http://www.lovdata.no/cgi-wift/ldles?doc=/sf/sf/sf-20040601-0931.html> [besøkt 9. mai 2019].
- Mokrotovarova, O., Korotkova, T.D., Pavlova, T.V., Berglen, T.F., Berteig, A., Johannessen, T. (2015) Russian-Norwegian ambient air monitoring in the border areas. Oslo, Norwegian Environment Agency (Miljødirektoratet rapport, M-322/2015).
- Myking, T., Aarrestad, P.A., Derome, J., Bakkestuen, V., Bjerke, J.W., Gytarsky, M., Isaeva, L., Karaban, R., Korotkov, V., Lindgren, M., Lindroos, A.-J., Røsberg, I., Salemaa, M., Tømmervik, H., Vassilieva, N. (2009) Effects of air pollution from a nickel-copper industrial complex on boreal forest vegetation in the joint Russian-Norwegian-Finnish border area. *Boreal Environ. Res.*, 14, 279-296.
- Møller, B., Tazmini K., Drefvelin J., Gäfvert T (2018) Overvaking av radioaktivitet i omgivnadene 2017. Resultat fra Strålevernet sine Radnett- og luftfilterstasjonar, nedbørssamlarar og frå Sivilforsvaret si radiac-måleuteneste. Østerås, Statens strålevern (StrålevernRapport, 2018:11). Nedlastbar fra : <https://www.dsa.no/publikasjon/straalevernrapport-2018-11-overvaking-av-radioaktivitet-i-omgivnade-2017.pdf> [besøkt 8. mai 2019].

Nasjonalt folkehelseinstitutt (2013). *Luftkvalitetskriterier. Virkninger av luftforurensning på helse* (Rapport 2013:9). Oslo: Nasjonalt folkehelseinstitutt. Nedlastbar fra: www.fhi.no/globalassets/dokumenterfiler/rapporter/2013/luftkvalitetskriterier--virkninger-av-luftforurensning-pa-helse-pdf.pdf [besøkt 9. mai 2019].

Odasz-Albrigtsen, A.M., Tømmervik, H., Murphy, P. (2000) Decreased photosynthetic efficiency in plant species exposed to multiple airborne pollutants along the Russian-Norwegian Border. *Can. J. Bot.*, 78, 1021-1033.

Pettersen, C. F., Berglen, T. F., Aronsen, H., Guttu, S., Chaus, O., Ustinova, A., Pavlova, T., Korotkova, T.D. (2017) Russian-Norwegian ambient air monitoring in the border areas – Updated report joint 2010-2015. Trondheim, Miljødirektoratet (Miljødirektoratet rapport, M-761/2017).

Puro-Tahvanainen, A., Zueva, M., Kashulin, N., Sandimirov, S., Christensen, G.N., Grekelä, I. (2011) Pasvik water quality report. Environmental Monitoring Programme in the Norwegian, Finnish and Russian Border Area. Rovaniemi, Centre for Economic Development, Transport and the Environment for Lapland (ELY Report 7/2011).

Rautio, P., Poikolainen, J. (2014) State of the terrestrial environment in the joint Finnish, Norwegian and Russian border area in 2011 on the basis of bioindicators - Final technical report of the Pasvik programme. In *Reports*, 21. Rovaniemi, Finland, Centre for Economic Development, Transport and the Environment for Lapland (Reports, 4/2014).

Reinds, G.J., Groenenberg, J.E., W. de Vries, W. (2006) Critical loads of copper, nickel, zinc, arsenic, chromium and selenium for terrestrial ecosystems at a European scale. A preliminary assessment. Wageningen, Alterra (Alterra-rapport, 1355).

Rognerud, S., Dauvalter, V., Fjeld, E., Skjelkvåle, B.L., Christensen, G., Kashulin, A. (2013) Spatial trends of trace-element contamination in recently deposited lake sediment around the Ni–Cu smelter at Nikel, Kola Peninsula, Russian Arctic. *Ambio*, 42, 13.

Rowe, L., Pechenganikel: Soviet Industry, Russian Pollution, and the Outside World, Doctoral dissertation, University of Oslo, 2013, 339 p

Sandanger, T.M., Anda, E., Berglen, T.F., Evenset, A., Christensen, G., Heimstad, E.S. (2013) Health and environmental impacts in the Norwegian border area related to local Russian industrial emissions. Knowledge status. Kjeller, NILU (NILU OR, 40/2013).

Schartau, A.K., Fjellheim, A., Garmo, Ø.A., Halvorsen, G.A., Hesthagen, T.H., Saksgård, R.J., Skancke, L.B., Walseng, B., (2016) Effekter av langtransporterte forurensninger i norske innsjøer – forsuringstilstand og trender. Inkludert nye overvåkingsdata fra 2012-2014. Oslo, Norsk institutt for vannforskning Statlig program for forurensningsovervåking. (Miljødirektoratet rapport, M-503/2016).

Statens forurensningstilsyn (2002) Air pollution effects in the Norwegian-Russian border area. A status report. Oslo, SFT (TA-1860/2002).

- Stebel, K., Christensen, G., Derome, J., Grekelä, I. (eds.) (2007) State of the environment in the Norwegian, Finnish, and Russian border area. Rovaniemi, Lapland Regional Environment Centre (The Finnish Environment, 6/2007).
- Steinnes, E., Berg, T., Uggerud, H.T. (2011a) Three decades of atmospheric metal deposition in Norway as evident from analysis of moss samples. *Sci. Total Environ.*, 412-413, 351-358.
- Steinnes, E., Berg, T., Uggerud, H.T., Pfaffhuber, K.A. (2011b) Atmosfærisk nedfall av tungmetaller i Norge. Landsomfattende undersøkelse i 2010 Kjeller, NILU (Statlig program for forurensningsovervåking. Rapport 1109/2011. TA-2859/2011) (NILU OR, 60/2011).
- Symon, C. (2008) Pasviksprogrammet oppsummeringsrapport. Miljøtilstanden i grenseområdene mellom Norge, Finland og Russland. Vadsø, Fylkesmannen i Finnmark (Rapport, 1-2008).
- Tømmervik, H., Høgda, K.A., Solheim, I. (2003) Monitoring vegetation changes in Pasvik (Norway) and Pechenga in Kola Peninsula (Russia) using multi-temporal Landsat MSS/TM data. *Rem. Sens. Environ.*, 85, 370-388.
- Vannregionmyndigheten Finnmark (2009) Forvaltningsplan for Finnmark, vannområdene Tana, Neiden og Pasvik for perioden 2010-2015. Vadsø, Vannregionmyndigheten i Finnmark.
- World Health Organization (2006) WHO air quality guidelines global update 2005. Report on a Working Group meeting, Bonn, Germany, 18-20 October 2005. København, WHO.
- Ylikörkkö, J., Christensen, G., Kashulin, N., Denisov, D., Andersen, H.J., Jelkänen, E. (eds.) (2015) Environmental challenges in the joint border area of Norway, Finland and Russia. Rovaniemi, Finland, Centre for Economic Development, Transport and the Environment for Lapland (Reports, 41).
- Aamlid, D., Myking, T. (2010) Forest ecosystem monitoring in the Pasvik River valley and adjoining area. In: *John Derome (1947-2010) Memorial seminar, Rovaniemi 2010*. Vantaa, Finnish Forest Research Institute (Working papers, 180). pp. 19-20. Nedlastbar fra: www.metla.fi/julkaisut/workingpapers/2010/mwp180.pdf [besøkt 9.mai 2019].
- Aamlid, D., Skogheim, I. (2001) The occurrence of Hypogymnia physodes and Melanelia olivacea lichens on birch stems in northern boreal forest influenced by local air pollution. *Nor. Geogr. Tidsskr.*, 55, 94-98.
- Aas, W., Fiebig, M., Solberg, S., Yttri, K.E. (2019) Monitoring of long-range transported air pollutants in Norway. Annual Report 2018. Kjeller, NILU (Norwegian Environment Agency, M-1395 | 2019) (NILU report 8/2019).

6.3 Eldre NILU-rapporter fra prosjektet

De eldste rapportene i programmet Norge - Russland er nå gjort tilgjengelig i fulltekst på NILUs web. [URL juli 2019]. Merk at mange av disse rapportene er scannet fra papir og teksten er derved ikke elektronisk søkbar. Ved spørsmål, vennligst send henvendelse til NILUs bibliotek (bibl@nilu.no).

Hagen, L O., Sivertsen, B., Arnesen, K., Innset, B. (1998) Overvåking av luft- og nedbørkvalitet i grenseområdene i Norge og Russland. April 1997-mars 1998.

Kjeller, NILU (Statlig program for forurensningsovervåking. Rapport 749/98. TA-1599/1998) (NILU OR, 70/98).

<https://www.nilu.no/apub/12589/>

Hagen, L O., Sivertsen, B., Arnesen, K., Innset, B. (1997) Overvåking av luft- og nedbørkvalitet i grenseområdene i Norge og Russland. Oktober 1996 - mars 1997.

Kjeller, NILU (Statlig program for forurensningsovervåking. Rapport 719/97. TA-1504/1997) (NILU OR, 58/97).

<https://www.nilu.no/apub/12509/>

Henriksen, J F., Mikhailov, A A. (1997) Atmospheric corrosion tests along the Norwegian-Russian border. Part II. Kjeller, NILU (NILU OR, 37/97).

<https://www.nilu.no/apub/12488/>

Hagen, L O., Sivertsen, B., Arnesen, K., Bekkestad, T. (1997) Overvåking av luft- og nedbørkvalitet i grenseområdene i Norge og Russland april - september 1996.

Kjeller, NILU (Statlig program for forurensningsovervåking. Rapport 702/97. TA-1457/1997) (NILU OR, 32/97).

<https://www.nilu.no/apub/12483/>

Hagen, L O., Sivertsen, B., Johnsrud, M., Bekkestad, T. (1996) Overvåking av luft- og nedbørkvalitet i grenseområdene i Norge og Russland oktober 1995 - mars 1996.

Kjeller, NILU (Statlig program for forurensningsovervåking. Rapport 683/97. TA-1401/1997) (NILU OR, 68/96).

<https://www.nilu.no/apub/12372/>

Hagen, L O., Sivertsen, B., Johnsrud, M., Bekkestad, T. (1996) Overvåking av luft- og nedbørkvalitet i grenseområdene i Norge og Russland april - september 1995.

Kjeller, NILU (Statlig program for forurensningsovervåking. Rapport 665/96. TA-1351/1996) (NILU OR, 40/96).

<https://www.nilu.no/apub/12410/>

Hagen, L O., Sivertsen, B., Johnsrud, M. (1996) Overvåking av luft- og nedbørkvalitet i grenseområdene i Norge og Russland. Tungmetaller i luft 1990-1995. Kjeller, NILU (Statlig program for forurensningsovervåking. Rapport 658/96. TA-1334/1996) (NILU OR, 28/96).

<https://www.nilu.no/apub/12372/>

Hagen, L O., Sivertsen, B., Johnsrud, M., Bekkestad, T. (1996) Overvåking av luft- og nedbørkvalitet i grenseområdene i Norge og Russland. Oktober 1994 - mars 1995.

Kjeller, NILU (Statlig program for forurensningsovervåking. Rapport 636/96. TA-1299/1996) (NILU OR, 1/96).

<https://www.nilu.no/apub/12372/>

Hagen, L O., Sivertsen, B., Johnsrud, M. (1995) Overvåking av luft- og nedbørkvalitet i grenseområdene i Norge og Russland april - september 1994. Kjeller, NILU (Statlig program for forurensningsovervåking. Rapport 617/95. TA-1238/1995) (NILU OR, 36/95).

<https://www.nilu.no/apub/12344/>

Hagen, L O., Sivertsen, B., Johnsrud, M. (1995) Overvåking av luft- og nedbørkvalitet i grenseområdene i Norge og Russland. Oktober 1993 - mars 1994. Kjeller, NILU (Statlig program for forurensingsovervåking. Rapport 600/95 TA-1193/1995) (NILU OR, 1/95).

<https://www.nilu.no/apub/12372/>

Bekkestad, T., Knudsen, S., Johnsrud, M., Larsen, M. (1994) Modellberegninger av SO₂ og metallavsetning i grenseområdene Norge - Russland. Kjeller, NILU (Statlig program for forurensningsovervåking. Rapport 605/95. TA-1203/1995) (NILU OR, 66/94).

<https://www.nilu.no/apub/12293/>

Sivertsen, B., Baklanov, A., Hagen, L O., Makarova, T. (1994) Air pollution in the border areas of Norway and Russia. Summary report April 1991 - March 1993. Presented by the Expert Group on Studies of Local Air Pollution Problems under the Joint Norwegian-Russian Comm. Kjeller, NILU (NILU OR, 56/94).

<https://www.nilu.no/apub/12283/>

Hagen, L O., Sivertsen, B., Aarnes, M J. (1994) Overvåking av luft- og nedbørkvalitet i grenseområdene i Norge og Russland. April-september 1993. Kjeller, NILU (Statlig program for forurensningsovervåking. Rapport 566/94. TA-1087/1994) (NILU OR, 19/94).

<https://www.nilu.no/apub/12246/>

Hagen, L O., Sivertsen, B., Aarnes, M J. (1993) Overvåking av luft- og nedbørkvalitet i grenseområdene i Norge og Russland. Oktober 1992 - mars 1993. Lillestrøm, NILU (Statlig program for forurensingsovervåking. Rapport 543/93. TA-1008/1993) (NILU OR, 55/93).

<https://www.nilu.no/apub/12728/>

Hagen, L O., Sivertsen, B., Aarnes, M J. (1993) Overvåking av luft- og nedbørkvalitet i grenseområdene i Norge og Russland. April-september 1992. Lillestrøm, NILU (Statlig program for forurensningsovervåking. Rapport 526/93. TA-965/1993) (NILU OR, 21/93).

<https://www.nilu.no/apub/12694/>

Hagen, L O., Sivertsen, B. (1992) Overvåking av luft- og nedbørkvalitet i grenseområdene i Norge og Russland. Oktober 1991-mars 1992. Lillestrøm, NILU (Statlig program for forurensningsovervåking. Rapport nr: 505/92 TA 897/1992) (NILU OR, 82/92).

<https://www.nilu.no/apub/12211/>

Henriksen, J F., Mikhailov, A A., Mikhailovski, Y. (1992) Atmospheric corrosion tests along the Norwegian-Russian border. Lillestrøm, NILU (NILU OR, 54/92).
<https://www.nilu.no/apub/12183/>

Hagen, L O., Sivertsen, B. (1992) Overvåking av luft- og nedbørkvalitet i grenseområdene i Norge og Russland. April-september 1991. Lillestrøm, NILU (Statlig program for forurensningsovervåking. Rapport 483/92. TA-827/1992) (NILU OR, 25/92).
<https://www.nilu.no/apub/12154/>

Sivertsen, B., Makarova, T., Hagen, L O., Baklanov, A A. (1992) Air pollution in the border areas of Norway and Russia. Summary report 1990-1991. Lillestrøm, NILU (NILU OR, 8/92).

<https://www.nilu.no/apub/12137/>

Sivertsen, B., Hagen, L O., Hellevik, O., Henriksen, J F. (1991) Luftforurensninger i grenseområdene Norge/Sovjetunionen januar 1990 - mars 1991. Lillestrøm, NILU (Statlig program for forurensningsovervåking. Rapport 480/92. TA-815/1992) (NILU OR, 69/91).

<https://www.nilu.no/apub/12113/>

Hagen, L O., Aarnes, M J., Henriksen, J F., Sivertsen, B. (1991) Basisundersøkelse av luftforurensninger i Sør-Varanger 1988-1991. Framdriftsrapport nr. 5 pr. 1.9.1991. Lillestrøm, NILU (Statlig program for forurensningsovervåking. Rapport 473/91. TA-797/1991) (NILU OR, 67/91).

<https://www.nilu.no/apub/12111/>

Hellevik, O., Sivertsen, B. (1991) Air quality in the border areas between Norway and USSR. Model description and preliminary modelling results. Lillestrøm, NILU (Statlig program for forurensningsovervåking. Rapport 439/91. TA 730/1991) (NILU OR, 23/91).

<https://www.nilu.no/apub/12067/>

NILU – Norsk institutt for luftforskning

NILU – Norsk institutt for luftforskning er en uavhengig stiftelse etablert i 1969. NILUs forskning har som formål å øke forståelsen for prosesser og effekter knyttet til klimaendringer, atmosfærrens sammensetning, luftkvalitet og miljøgifter. På bakgrunn av forskningen leverer NILU integrerte tjenester og produkter innenfor analyse, overvåkning og rådgivning. NILU er opptatt av å opplyse og gi råd til samfunnet om klimaendringer og forurensning og konsekvensene av dette.

NILUs verdier: *Integritet – Kompetanse – Samfunnsvytte*

NILUs visjon: *Forskning for en ren atmosfære*

NILU – Norsk institutt for luftforskning

Postboks 100, 2027 KJELLER

E-post: nilu@nilu.no

<http://www.nilu.no>

ISSN: 2464-3327



NILU *Norsk institutt for luftforskning*
Norwegian Institute for Air Research